

Facultad de Ciencias Exactas Departamento de Ciencias Biológicas

Regeneración de tejidos Una aproximación de biología de sistemas

Tesista: Lic. Emanuel Cura Costa

Director: Prof. Dr. Osvaldo Chara

Año 2022

Trabajo realizado en el Systems Biology Group (SysBio) Instituto de Física de Líquidos y Sistemas Biológicos (IFLySiB)

Calle 59 Número 789 (entre 10 y 11) B1900BTE La Plata - Buenos Aires Argentina https://sysbioiflysib.wordpress.com/ http://iflysib.unlp.edu.ar/

Resumen

El axolotl es un vertebrado que posee la inigualable capacidad de regenerar completamente la médula espinal luego de una amputación. Pese a que estas capacidades regenerativas de esta salamandra se conocen desde hace más de 250 años en el ámbito científico, poco se sabe aún sobre los mecanismos que subvacen a la regeneración de la médula espinal. El objetivo general de esta tesis consiste en entender mecanísticamente la regeneración de la médula espinal del axolotl en términos de procesos celulares y moleculares o de señalización. Anteriormente nuestro grupo encontró que la amputación de la cola del axolotl conduce a la reactivación de un programa similar al del desarrollo en las células ependimales de la médula espinal (Rodrigo Albors et al., 2015. eLife. 4:e10230), caracterizado por una zona de alta proliferación que emerge 4 días después de la amputación (Rost et al., 2016. eLife. 5:e20357). Sin embargo, se desconocía qué subyace a este patrón espacio-temporal de proliferación celular. En esta tesis, utilizamos modelado matemático computacional estrechamente vinculados a datos experimentales (en una aproximación de biología de sistemas), para estudiar la regeneración de la médula espinal del axolotl en dos escalas: una escala celular y una escala de señalización. En una primera aproximación estudiamos el proceso regenerativo con un modelo de esferas duras en una dimensión, que incluye información precisa de la posición de las células en su ciclo celular, y demostramos que la respuesta regenerativa es consistente con una señal que recluta células ependimales durante ~ 85 horas después de la amputación dentro de $\sim 830\mu m$ de la médula espinal anteriores al plano de amputación. Luego, nos valemos de la tecnología del indicador de ciclo celular basado en la ubiquitinación fluorescente (FUCCI) que adaptamos a los axolotls (AxFUCCI) para visualizar los ciclos celulares in vivo y determinamos la distribución espacio-temporal de las células de la médula espinal en las fases del ciclo celular, confirmando el tiempo de aparición predicho y el tamaño de la zona de reclutamiento inducida por la amputación revelando, además, sincronía del ciclo celular entre las células ependimales. Con la intención de comenzar a abordar aspectos mecánicos de la interacción entre las células ependimales, desarrollamos un paquete computacional de un celular vertex model (SysVert) que nos permitió la implementación de un modelo en dos dimensiones de la médula espinal del axolotl durante el proceso regenerativo. Los resultados obtenidos en el marco de este trabajo de tesis nos acercan más a la comprensión del proceso regenerativo de la médula espinal del axolotl.

Publicaciones durante la tesis

En el marco de esta tesis doctoral se publicó el siguiente artículo en una revista internacional con referato:

E Cura Costa, L Otsuki, AR Albors, EM Tanaka & O Chara. 2021. Spatiotemporal control of cell cycle acceleration during axolotl spinal cord regeneration. eLife 2021;10:e55665 doi: 10.7554/eLife.55665.

Asimismo se aloja en un repositorio de *gitlab.com* el código del *software* SysVert que prontamente será publicado y liberado.

Adicionalmente y durante el lapso del doctorado, el tesista publicó estos artículos también en revistas internacionales con referato:

N König, C Fiehn, C Wolf, M Schuster, **E Cura Costa**, V Tüngler, HA Alvarez. O Chara, K Engel, R Goldbach-Mansky, C Günther & MA Lee-Kirsch. 2017. *Familial chilblain lupus due to a gain-of-function mutation in STING*. Ann Rheum Dis. 2017. Feb;76(2):468-472. doi: 10.1136/annrheumdis-2016-209841. Epub 2016 Aug 26. PMID: 27566796.

N Berndt, C Wolf, K Fischer, **E Cura Costa**, P Knuschke, N Zimmermann, F Schmidt, M Merkel, O Chara, M Lee-Kirsch & C Günther. *Photosensitivity and cGAS-dependent type I IFN activation in lupus patients with TREX1 deficiency*. J Invest Dermatol. 2021. Aug 14:S0022-202X(21)01686-9. doi: 10.1016/j.jid.2021.04.037. Epub ahead of print. PMID: 34400195.

Agradecimientos

En primer lugar y por sobre todo quiero agradecer al director de esta tesis doctoral, Prof. Dr. Osvaldo Chara, por haber confiado en mi, por compartirme su sabiduría, por contagiarme su pasión por la ciencia y por su infinita paciencia.

Agradezco también a mis compañeros de SysBio. Especialmente al Lic. Alberto Ceccarelli y Dr. Ariel Alvarez por los momentos de trabajo conjunto y las risas compartidas.

De igual manera agradezco a toda la gente en el IFLySiB. Gracias a todos y cada uno por hacerme sentir en casa, por los asados y por las charlas durante el almuerzo.

Esta tesis es fruto no sólo de mi trabajo sino también de proyectos y esfuerzos de otras personas. Por esta razón quiero agradecer a Dra. Aida Rodrigo Albors, Dr. Fabian Rost, Dr. Leo Otsuki y Prof. Dra. Elly Tanaka. Gracias Fabian por tu simpatía y las discusiones siempre tan valiosas, y gracias Leo por tu amabilidad y entusiasmo por este proyecto.

También quiero agradecer a CONICET y a la Universidad Nacional de La Plata por otorgarme el financiamiento y las herramientas que hicieron posible este trabajo.

Asimismo quiero a gradecer a la Technische Universität Dresden por permitirme viajar a Dresden a través del *great! ipid4all group2group exchange for academic talents* y, además, al Prof. Dr. Andreas Deutsch, Prof. Dra. Min Ae Lee-Kirsch y Dra. Victoria Tüngler por hacer posible mi viaje y agradable mi estancia.

La elaboración de esta tesis me demandó mucho tiempo, esfuerzo y trabajo. Muchas veces tuve que decir que no a alguna juntada con amigos, me olvidé de levantar el teléfono para hablar con mi familia o postergué alguna visita a Junín. Quiero agradecer profundamente a ellos, a mi familia y a mis amigos, por su apoyo, por su acompañamiento, por su energía, por su paciencia y su comprensión. Sin su apoyo este trabajo nunca se habría terminado y por eso considero que esta tesis es también de ustedes.

A todos, muchas gracias.

Índice general

1. Introducción 1.1 Modelando la complejidad biológica: biología de sistemas 1.2 Regeneración de tejidos animales 1.3 Modelo de estudio: axolotl (ambystoma mexicanum) 1.4 Potencial regenerativo de las células ependimales en la médula espinal del axolotl 1.5 Aceleración del ciclo celular durante la regeneración de la médula espinal del axolotl 1.6 Objetivos de este trabajo de tesis 2 Modelado de la regeneración de la médula espinal del axolotl en 1D 2.1 Modelo de médula espinal en desarrollo 2.2 Modelo de regeneración de la médula espinal 2.3 Detalles del modelado de desarrollo y regeneración de la médula espinal axolotl 2.4 El crecimiento regenerativo de la médula espinal se puede explicar por una señal que actúa durante las 85 horas después de la amputación y recluta células dentro de los 828µm anteriores al plano de amputación	Res	sume	n	
Índice de figuras Índice de cuadros Índice 1 Introducción 1.1 Modelando la complejidad biológica: biología de sistemas 1.2 Regeneración de tejidos animales 1.3 Modelo de estudio: axolotl (ambystoma mexicanum) 1.4 Potencial regenerativo de las células ependimales en la médula espinal del axolotl 1.5 Aceleración del ciclo celular durante la regeneración de la médula espinal del axolotl 1.6 Objetivos de este trabajo de tesis 2 Modelado de la regeneración de la médula espinal del axolotl 2.1 Modelo de médula espinal en desarrollo 2.2 Modelo de regeneración de la médula espinal 2.3 Detalles del modelado de desarrollo y regeneración de la médula espinal axolotl 2.4 El crecimiento regenerativo de la médula espinal se puede explicar por una señal que actúa durante las 85 horas después de la amputación y recluta células dentro de los 828µm anteriores al plano de amputación	Pul	blicad	ciones durante la tesis	ii
 Índice de cuadros Índice 1 Introducción 1.1 Modelando la complejidad biológica: biología de sistemas 1.2 Regeneración de tejidos animales 1.3 Modelo de estudio: axolotl (ambystoma mexicanum) 1.4 Potencial regenerativo de las células ependimales en la médula espinal del axolotl 1.5 Aceleración del ciclo celular durante la regeneración de la médula espinal del axolotl 1.6 Objetivos de este trabajo de tesis 2 Modelado de la regeneración de la médula espinal del axolotl en 1D 2.1 Modelo de médula espinal en desarrollo 2.2 Modelo de regeneración de la médula espinal 2.3 Detalles del modelado de desarrollo y regeneración de la médula espinal axolotl 2.4 El crecimiento regenerativo de la médula espinal se puede explicar por una señal que actúa durante las 85 horas después de la amputación y recluta células dentro de los 828µm anteriores al plano de amputación 	Ag	radeo	cimientos	١
 Índice de cuadros Índice 1 Introducción 1.1 Modelando la complejidad biológica: biología de sistemas 1.2 Regeneración de tejidos animales 1.3 Modelo de estudio: axolotl (ambystoma mexicanum) 1.4 Potencial regenerativo de las células ependimales en la médula espinal del axolotl 1.5 Aceleración del ciclo celular durante la regeneración de la médula espinal del axolotl 1.6 Objetivos de este trabajo de tesis 2 Modelado de la regeneración de la médula espinal del axolotl en 1D 2.1 Modelo de médula espinal en desarrollo 2.2 Modelo de regeneración de la médula espinal 2.3 Detalles del modelado de desarrollo y regeneración de la médula espinal axolotl 2.4 El crecimiento regenerativo de la médula espinal se puede explicar por una señal que actúa durante las 85 horas después de la amputación y recluta células dentro de los 828µm anteriores al plano de amputación	Índ	lice		vi
 Introducción Modelando la complejidad biológica: biología de sistemas Regeneración de tejidos animales Modelo de estudio: axolotl (ambystoma mexicanum) Potencial regenerativo de las células ependimales en la médula espinal del axolotl Aceleración del ciclo celular durante la regeneración de la médula espinal del axolotl Objetivos de este trabajo de tesis Modelado de la regeneración de la médula espinal del axolotl en 1D Modelo de médula espinal en desarrollo Modelo de regeneración de la médula espinal Detalles del modelado de desarrollo y regeneración de la médula espinal axolotl El crecimiento regenerativo de la médula espinal se puede explicar por una señal que actúa durante las 85 horas después de la amputación y recluta células dentro de los 828µm anteriores al plano de amputación 	Índ	lice d	e figuras	i
1. Introducción 1.1 Modelando la complejidad biológica: biología de sistemas	Índ	lice d	e cuadros	хi
 1.1 Modelando la complejidad biológica: biología de sistemas 1.2 Regeneración de tejidos animales 1.3 Modelo de estudio: axolotl (ambystoma mexicanum) 1.4 Potencial regenerativo de las células ependimales en la médula espinal del axolotl 1.5 Aceleración del ciclo celular durante la regeneración de la médula espinal del axolotl 1.6 Objetivos de este trabajo de tesis 2 Modelado de la regeneración de la médula espinal del axolotl en 1D 2.1 Modelo de médula espinal en desarrollo 2.2 Modelo de regeneración de la médula espinal 2.3 Detalles del modelado de desarrollo y regeneración de la médula espinal axolotl 2.4 El crecimiento regenerativo de la médula espinal se puede explicar por una señal que actúa durante las 85 horas después de la amputación y recluta células dentro de los 828µm anteriores al plano de amputación 	Índ	lice		xii
 2.1 Modelo de médula espinal en desarrollo	1	1.1 1.2 1.3 1.4	Modelando la complejidad biológica: biología de sistemas	1 2 3 4
celular	2	2.1 2.2 2.3 2.4 2.5	Modelo de médula espinal en desarrollo	15 16 16

viii Índice general

3	Dete	rminación del tránsito a través del ciclo celular mediante FUCCI en axolotl in vivo	25								
	3.1	Visualización de la progresión del ciclo celular en axolotl in vivo usando									
		FUCCI	25								
	3.2	AxFUCCI discrimina fielmente las fases del ciclo celular in vivo	26								
	3.3	Medición de la zona de reclutamiento in vivo usando AxFUCCI	28								
	3.4	Las células en regeneración tienen una alta sincronía del ciclo celular in vivo									
	3.5	Una convergencia en la respuesta regenerativa de distintas líneas de base	36								
4	Sinci	onización inducida por el reclutamiento y sincronización pre-existente a la ampu-									
	tació	ón: predicciones del modelo 1D	41								
	4.1	Sincronización en la fase $G1$ al momento del reclutamiento $\dots \dots$	41								
	4.2	Sincronización en la condición inicial	43								
5	Implementación computacional del modelo de vértices: SysVert										
	5.1	Modelo de vértices	50								
	5.2	Estructura de SysVert	79								
	5.3	¿Cómo se corre y que datos se pueden obtener de una simulación en SysVert?	104								
6	Mod	elado de la regeneración de la médula espinal del axolotl en 2D	105								
	6.1	Configuración de la simulación del tejido en 2D en SysVert	105								
	6.2	Resultados de simulación	109								
7	Disc	usión	119								
Α		eriales y métodos	133								
	A.1	Métodos computacionales	133								
	A.2	Materiales y métodos experimentales	135								
Bib	oliogra	ntía	133								
В	Otro	s resultados experimentales de FUCCI	141								

Índice de figuras

1.1	Axolotl (ambystoma mexicanum)	4
2.1	Modelo de crecimiento de la médula espinal ilesa y en regeneración basado en el acortamiento de las fases $G1$ y S de las células	8
2.2	Distribución espacio-temporal de la proliferación celular durante la regeneración médula espinal axolotl	11
2.3	Explicación adicional de la transformación de coordenadas del ciclo celular invocada por el modelo.	12
2.4	Aproximación de cálculo bayesiano (ABC) ajuste del modelo de límite de	
2.5	reclutamiento a los datos experimentales del <i>switchpoint</i>	17
2.6	rior está una célula, cuanto más rápido se mueve	18
2.7	eje AP no afecta la predicción del crecimiento de la médula espinal del axolotl Una señal hipotética recluta células ependimales hasta $828\mu m$ antes del plano	20
	de amputación durante las 85 horas posteriores a la amputación, recapitulando el crecimiento regenerativo de la médula espinal <i>in vivo</i>	21
2.8	El tiempo máximo de reclutamiento (τ) y la longitud máxima de reclutamiento	
	(λ) determinan el crecimiento de la médula espinal del axolotl	22
3.1 3.2	AxFUCCI: un reportero del ciclo celular transgénico para axolotl El tamaño de la zona de reclutamiento previsto se observa en las colas Ax-	27
	FUCCI después de la amputación	30
3.3	Estimación de los porcentajes anterior y posterior de células que expresan $G0/G1$ -AxFUCCI y $S/G2$ -AxFUCCI ajustado un modelo de dos zonas	32
3.4	Ajuste individual del modelo de dos zonas a los perfiles AP experimentales	02
	de los porcentajes de $G0/G1$ -AxFUCCI y $S/G2$ -AxFUCCI que expresan las células	33
3.5	Las células ependimales exhiben sincronía del ciclo celular durante la regene-	
3.6	ración de la médula espinal	34
5.0	y los datos de AxFUCCI	38
3.7	Modelado de distribuciones espaciotemporales de las divisiones de células epen-	
3.8	dimales durante la regeneración de la médula espinal del axolotl Distribuciones espacio-temporales de las células AxFUCCI de transición du-	39
J .0	rante la regeneración de la médula espinal del axolotl	40

Índice de figuras

4.1	Modelo de crecimiento de la médula espinal ilesa y en regeneración basado en el acortamiento de las fases $G1$ y S de las células para las dos variantes del modelo: sincronización parcial de la fase $G1$ y mapeo de la fase $G1$	43
4.2	Tiempo ahorrado por las células en fase G1 para el modelo de mapeo en	40
4.3	comparación con el modelo de sincronización parcial de la fase $G1\ldots\ldots$ Mapas de calor de proporción de células en $G1/G0$ y $S/G2$ en función de la	44
1 1	posición espacial para el modelo de mapeo y sincronización parcial de G1 en comparación a los datos experimentales	45
4.4	la posición del ciclo celular al inicio de la simulación (distintos valores del	16
4.5	parámetro p)	46 48
5.1	Esquema aproximado de cómo se modela a las células en de un tejido en 2D	F1
5.2	en un modelo de vértices	51 59
5.3	Esquema del intercambio T1	60
5.4	Esquema del intercambio T2	67
5.5	Esquema del intercambio T3	69
5.6	Esquema de la implementación de la división celular	76
6.1 6.2	Mapeo de las simulación 2D a un cilindro que representa la médula espinal . Simulación de la médula espinal del axolotl en 2D mediante SysVert sin pre-	106
6.3	sencia de la señal	110
6.4	impide la aceleración de la proliferación celular	111
0.4	sencia de la señal	112
6.5	El modelo 2D reproduce los datos experimentales de la médula espinal del axolotl en regeneración	112
6.6	Las células en el escenario con reclutamiento sufren una mayor compresión que las células en el escenario sin reclutamiento	114
6.7	Área de las células como función del tiempo y el espacio para los dos escenario	
6.8	Cuando las células se hacen más deformables el tejido se comprime por debajo	3110
0.0	de lo reportado experimentalmente	116
6.9	Cuando las células se comprimen por debajo del área reportada experimentalmente el modelo no es capaz de reproducir el crecimiento experimental de la	110
	médula espinal	117
B.1 B.2	Determinación de fragmentos de Cdt1 y Gmnn para el reportero AxFUCCI . Determinaciones de intensidad de fluorescencia de AxFUCCI a través del ciclo	141
	celular	142

Índice de figuras xi

В.3	Cuantificación de ADN por citometría de flujo para validar la funcionalidad	
	AxFUCCI	143
B.4	Validación de la funcionalidad AxFUCCI mediante análisis de tejidos in vivo	144
B.5	El protocolo de limpieza de tejidos no altera la longitud de la médula espinal	146
B.6	Las células ependimales exhiben sincronía del ciclo celular durante la regene-	
	ración de la médula espinal	147

Índice de cuadros

2.1	Parámetros del modelo															9	1
4.I	i aramenos dei modelo		•														J'±

Índice de código

5.1	Definiciones del cálculo de fuerzas de tensión de línea (vertex_line_force),	
	área (vertex_area_force) y perímetro (vertex_perimeter_force) del tejido	
	en el archivo forces.py	52
5.2	Archivo solver.py donde se realiza cada iteración temporal de las simula-	
	ciones, llamando a las funciones responsables del cálculo de las fuerzas,	
	las transiciones y las divisiones	54
5.3	Definiciones de los intercambios T1 del tejido en el archivo $swaps.py$	60
5.4	Definiciones de los intercambios T2 del tejido en el archivo $swaps.py$	67
5.5	Definiciones de los intercambios T3 del tejido en el archivo $swaps.py$	70
5.6	Implementación de la división celular en cell_division_random_angle.py	75
5.7	Definición de la clase Lattice en el archivo lattice.py	79
5.8	Definición de la clase Cell en el archivo cells.py	85
5.9	Definición de la clase Edge en el archivo edges.py	96
5.10	Definición de la clase Vertex en el archivo <i>vertex.py</i>	100
6.1	Párametros de la geometría del tejido en el archivo jwrite.py	106
6.2	Párametros de los tipos celulares del tejido en el archivo $jwrite.py$	
6.3	Tensiones de línea del tejido en el archivo jwrite.py	
6.4	Párametros de la señal en el archivo jwrite.py	108
6.5	Párametros generales de la simulación en el archivo <i>iwrite.nu</i>	109

CAPÍTULO 1

Introducción

Nuestros antepasados observaron la complejidad y la belleza de la vida, y comprendieron que tenía que existir un gran creador.

—Carl Sagan

1.1 Modelando la complejidad biológica: biología de sistemas

Tradicionalmente la ciencia fue dividida en diferentes disciplinas. Esto se debe a que ante la complejidad de los diferentes procesos que tienen lugar en la naturaleza fue necesario dividirlos de algún modo. Al dividirla de esta manera, se comenzaron a estudiar fenómenos simples. El organismo vivo era descompuesto en células, sus actividades en procesos fisiológicos y por último fisicoquímicos. Existen aspectos de la naturaleza que no pueden ser explicados solamente utilizando una disciplina. En cambio, la concepción organísmica (o sistémica) es básica para la biología moderna. Es necesario estudiar no sólo las partes y procesos aislados, sino también resolver los problemas decisivos hallados en la organización y el orden que los unifican, resultantes de la interacción dinámica de partes y que hacen al diferente comportamiento de éstas cuando se estudian aisladas o dentro del todo. En muchos fenómenos biológicos, pero también de las ciencias sociales y del comportamiento, resultan aplicables expresiones y modelos matemáticos que son implementados en lenguajes de programación computacional para poder ser resueltos. La similitud estructural entre estos modelos y su isomorfismo en diferentes campos se tornaron ostensibles, y en el centro quedaron precisamente problemas de orden, organización, totalidad, teleología, etc., excluidos programáticamente de la ciencia mecanicista. Tal fue, la idea de la "teoría general de los sistemas" (Von Bertalanffy, 1976). En este marco la biología, la física y la computación se fueron combinando de forma de poder explicar ciertos fenómenos que previamente no fueron explicados, dando así lugar a la biología de sistemas.

Durante el siglo veinte, podemos encontrar ejemplos notables de esfuerzos intelectuales que combinaron biología y física. Un ejemplo destacable son los trabajos de D'Arcy Thompson quien sostenía en su libro "On growth and form" que para estudiar la forma final de los organismos no es suficiente con estudiar los aspectos genéticos del proceso sino que además es necesario considerar los efectos de las leyes físicas (Thompson et al., 2 1 Introducción

1917) Nicolas Rashevsky es otro antecedente, quien aplicó métodos matemáticos para el estudio de la dinámica del transporte en tejidos (Rashevsky et al., 1938). En el campo de la ecología podemos encontrar a Alfred Lotka o Vito Volterra (Murray et al., 2003) que propusieron sus famosas ecuaciones para modelar la dinámica predador-presa de poblaciones de animales. En el campo de la neurociencia podemos mencionar a Alan Lloyd Hodgkin y Andrew Fielding Huxley (Hodgkin, et al., 1952) y su modelo de potenciales de acción en células excitables. Finalmente, resaltaremos los trabajos de Alan Turing (Turing, 1952), Hans Meinhardt y Alfred Gierer (Gierer & Meinhardt, 1972) en el estudio de patrones durante el desarrollo o regeneración de tejidos. Turing fue el primero en proponer un modelo para la formación de patrones a partir de un mecanismo de reacción-difusión. Luego Meinhardt y Gierer desarrollaron un modelo similar aunque en forma independiente. Los trabajos mencionados fueron utilizados para estudiar diferentes aspectos inherentes a la formación y el establecimiento de tejidos en los seres vivos. Sin embargo, las características dinámicas y estructurales de los tejidos durante el desarrollo y la regeneración fueron estudiadas mayoritariamente mediante aproximaciones de biología cualitativa hacia fines del siglo pasado.

En años más recientes, se han empezado a estudiar utilizando abordajes cuantitativos diferentes procesos, tanto de señalización como mecánicos en tejidos durante el desarrollo o durante procesos regenerativos. Los avances en métodos experimentales, tales como la microscopia confocal, microscopia de superresolución, edición génica, etc., permitieron obtener información con alta resolución espacial y temporal en los tejidos. Esto dio lugar a la aparición de diferentes modelos computacionales capaces de explicar los resultados experimentales.

En esta tesis presentaré dos modelos matemáticos: uno de ellos, espacialmente unidimensional, inspirado en el modelo de esferas duras y el otro, espacialmente bidimensional, de un modelo computacional llamado celular vertex model, que en esta tesis llamaré "modelo de vértices" (Fletcher et al., 2013). Estos modelos me permitieron modelar la regeneración de tejidos animales, en particular la regeneración de la médula espinal del axolotl.

1.2 Regeneración de tejidos animales

Todos los organismos han evolucionado desarrollando estrategias que les posibilitan mantener su forma y funciones a lo largo de su vida adulta. El término regeneración es usado para referirse a muchos fenómenos que van desde la reconstitución de las células sanguíneas hasta el restablecimiento completo del cuerpo de organismos como la planaria. En esta tesis, con regeneración me referiré al proceso que permite a un organismo recuperar la función de un órgano o estructura que ha sido dañado/a. Una pregunta fascinante, aún sin respuesta satisfactoria es por qué la amputación de un tejido o de un órgano induce una respuesta regenerativa en algunos organismos.

La comprensión de los mecanismos moleculares que regular los procesos regenerativos mediante el estudio de los modelos animales poseedores de estas sorprendentes capacida-

des, podrían permitir dar un salto en el campo de la medicina regenerativa en humanos. Si bien los mecanismos y los tipos celulares involucrados en el proceso de regeneración de estos organismos son de una naturaleza variada, es evidente que hay señales comunes. Un conjunto de señales provistas por el sistema inmune parecen actuar como una primera respuesta a la injuria. Posteriormente, se requiere la activación de redes de señalización conocidas por su importancia en la regulación del desarrollo embrionario (Chernoff, 1996; Clarke and Ferretti, 1998), y aunque algunas cascadas de señalización han sido involucradas en estos procesos regenerativos (como BMP o Wnt, por ejemplo), aún no se han identificado mecanismos claros que conecten la amputación con la respuesta celular y molecular en estos tejidos. Es razonable pensar que los mecanismos de señalización responsables de la formación de patrones, proliferación y diferenciación subyacentes a los procesos de regeneración recapitulen los eventos que tienen lugar en el desarrollo embrionario. De esta forma, la capacidad de mantener o re-acceder a patrones de las siguientes señales químicas y factores de crecimiento que son cruciales durante el desarrollo embrionario podrían ser fundamentales para generar una respuesta regenerativa exitosa a una injuria tisular.

Concretamente, el resultado más común de las lesiones de la médula espinal y el cerebro en mamíferos adultos, incluidos los humanos, es la pérdida significativa de tejido. Esta pérdida conduce a condiciones paralizantes ya que, una vez que se pierde el tejido neural, no se puede reemplazar debido a la capacidad aparentemente limitada del sistema nervioso central (SNC) de los mamíferos para repararse a sí mismo (Banfi et al., 2000; Huibregtse et al.,2000). Los requisitos clave para una regeneración exitosa de la médula espinal son la presencia de un número adecuado de neuronas y glía, ya sea como resultado de la producción de novo a partir de células madre neurales o de una supervivencia celular significativa después de una lesión, y la capacidad de estas neuronas para desarrollar axones que pueden re-enervar con éxito sus objetivos.

Modelo de estudio: axolotl (ambystoma mexicanum)

El axolotl (Figura 1.1) tiene la notable capacidad de regenerar la médula espinal lesionada (Freitas, Yandulskaya & Monaghan, 2019; Tazaki et al., 2017; Chernoff et al., 2003), y por lo tanto representa un sistema único para estudiar los mecanismos de regeneración exitosa de la médula espinal. La médula espinal de las salamandras es esencialmente similar a la de otros vertebrados. Consiste de materia gris, conteniendo los somas de las células ependimales, neuronas y astrocitos; y la materia blanca, rodeando la materia gris, conteniendo fibras ascendentes y descendentes, así como oligodendrocitos. Quizá una de las características más salientes de la médula espinal de las salamandras y actores clave en el proceso de regeneración son las células ependimales, que recubren el canal central y conservan el potencial de las células madre neurales durante toda la vida (Becker, Becker y Hugnot, 2018).

4 1 Introducción



Figura 1.1: axolotl (ambystoma mexicanum).

1.4 Potencial regenerativo de las células ependimales en la médula espinal del axolot!

El epitelio ependimario permanece proliferativo y sufre neurogénesis continuamente bajo condiciones homeostáticas en el adulto. Desde el punto de vista morfológico, las células ependimales mantienen su polaridad apico-basal y conforman un neuroepitelio pseudo-estratificado similar al que hay en el tubo neural embrionario de los mamíferos. A nivel molecular, estas células expresan marcadores de células madre tales como SOX2, Musashi-116 y GFAP, así como marcadores de pluripotencia como OCT4 (Fahmy and Moftah, 2010; Hunter et al., 1991; Moftah et al., 2008; O'Hara and Chernoff, 1994; O'Hara et al., 1992; Zaky and Moftah, 2014). Más allá de sus similitudes morfológicas se presume que estás células tendrían funciones similares a la de la glía radial. Podría especularse que en el mantenimiento de este fenotipo de alguna forma inmaduro subyacería su plasticidad celular y su potencial regenerativo.

1.5 Aceleración del ciclo celular durante la regeneración de la médula espinal del axolot!

En estudios anteriores de nuestro grupo, se encontró que la lesión de la médula espinal en el axolotl gatilla la reactivación de un programa similar al del desarrollo en las células ependimales, provocando una transición de divisiones celulares lentas y neurogénicas a rápidas y proliferativas (Rodrigo Albors et al., 2015). Se demostró que en la médula espinal ilesa y en la región no regenerativa de la médula espinal lesionada, las células ependimales se dividen lentamente, completando un ciclo celular en $14,2\pm1,3$ días. Por el contrario, las células ependimales en la zona de regeneración aceleran su ciclo celular y se dividen cada 4.9 ± 0.4 días (Rodrigo Albors et al., 2015; Rost et al., 2016). Mediante el uso de un enfoque de modelado matemático, se mostró que la aceleración del ciclo celular es el principal impulsor del crecimiento regenerativo de la médula espinal, y que otros procesos como el influjo de células, los re-ordenamientos celulares y la activación de células madre neurales desempeñan papeles más pequeños (Rost et al., 2016). Un análisis cuantitativo de la proliferación celular en el espacio y el tiempo permitió identificar una zona de alta proliferación que emerge 4 días después de la amputación dentro de los 800µm adyacentes al sitio de la lesión y se desplaza hacia el extremo posterior con el tiempo a medida que crece la médula espinal en regeneración (Rost et al., 2016) (Fig. 2.1). Sin embargo, qué subyace a este patrón espacio-temporal preciso de proliferación celular continúa siendo un enigma. Los fenómenos de formación de patrones que ocurren durante el desarrollo pueden reproducirse cuantitativamente mediante la invocación de señales morfogenéticas que se propagan desde fuentes localizadas (Morelli et al., 2012). Por tanto, es concebible que la amputación de la cola desencadene una señal que se propague o difunda a lo largo de la médula espinal lesionada para acelerar el ciclo celular de las células residentes.

1.6 Objetivos de este trabajo de tesis

El objetivo general de este proyecto se constituye en entender mecanísticamente la regeneración de la médula espinal del axolotl en términos de procesos celulares y moleculares o de señalización. Para ello, en esta tesis se implementa una aproximación de biología de sistemas que implica llevar a cabo modelado matemático alimentado por el análisis de datos experimentales previos y actuales de nuestros colaboradores experimentales. En particular, el propósito de la tesis es modelar las fases tempranas de la regeneración de la médula espinal del axolotl en dos niveles: un nivel celular y un nivel de señalización.

1. En una primera aproximación me propongo estudiar el proceso regenerativo con un modelo de esferas duras en una dimensión que incluya información precisa de la 6 1 Introducción

posición de las células en su ciclo celular, a los fines de capturar las generalidades del proceso regenerativo.

- 2. A continuación me propongo validar este modelo con datos experimentales de la respuesta regenerativa de la médula espinal del axolotl, haciendo énfasis en la distribución espacio-temporal de la proliferación en dicha respuesta.
- 3. Luego me propongo indagar en la existencia o no de procesos de sincronización durante la respuesta regenerativa.
- 4. Con la intención de comenzar a abordar aspectos mecánicos de la interacción entre las células, me propongo desarrollar un modelo de vértices celular en dos dimensiones de la médula espinal del axolotl durante la regeneración.
- 5. Con este objetivo me propongo, además, desarrollar un paquete computacional que permita la implementación del modelo en dos dimensiones mencionado.

La estructura de esta tesis es la siguiente: en el capítulo 2, se presenta la metodología y los métodos empleados. En el capítulo 3, "Modelado de la regeneración de la médula espinal del axolotl en 1D", desarrollo y exploro un modelo espacialmente unidimensional capaz de capturar cuantitativamente los resultados experimentales de las cinéticas de crecimiento de la médula espinal del axolotl en regeneración. En el capítulo 4, "Determinación del tránsito a través del ciclo celular mediante FUCCI en axolotl in vivo", presento los resultados de las determinaciones experimentales de las distribuciones espacio-temporales de las células de la médula espinal en las fases del ciclo celular obtenidas mediante AxFUCCI (una adaptación de novo de la técnica de FUCCI para el axolotl) y los comparo con las predicciones del modelo 1D. En el capítulo 5, "Sincronización inducida por el reclutamiento y sincronización pre-existente a la amputación: predicciones del modelo 1D", analizo la probable necesidad así como las consecuencias de las sincronizaciones asumidas por el modelo 1D. En el capítulo 6, "Implementación computacional del modelo de vértices: SysVert", describo mi implementación de un modelo de vértices celular, SysVert, que posibilita el modelado de tejidos en dos dimensiones. En el capítulo 7, "Modelado de la regeneración de la médula espinal del axolotl en 2D", utilizando la parametrización del modelo 1D, modelo la regeneración de la médula espinal del axolotl en dos dimensiones (mediante SysVert) y recupero los resultados experimentales. Adicionalmente, llevo a cabo un análisis de la compresión del tejido a nivel celular e hipotetizo su eventual papel en la interrupción del proceso de reclutamiento celular durante la respuesta regenerativa. Finalmente, discuto los resultados obtenidos que en conjunto aportan nuevos indicios acerca de donde y cuando buscar las señales responsables de dirigir la regeneración de la médula espinal.

CAPÍTULO 2

Modelado de la regeneración de la médula espinal del axolotl en 1D

La simplicidad es la máxima sofisticación.

—Leonardo da Vinci

2.1 Modelo de médula espinal en desarrollo

Teniendo en cuenta la simetría del tubo ependimal y que las células ependimales se organizan como un epitelio pseudoestratificado (Joven & Simon, 2018), modelé el eje antero-posterior (AP) de la médula espinal como una fila de células ependimales (consulte la sección de Métodos computacionales para obtener más detalles). Modelé las células ependimales como esferas rígidas de diámetro uniforme y asumí que pueden encontrarse ciclando o quiescentes y definí la fracción de células que se encuentran ciclando como la fracción de crecimiento, GF. Modelé la dinámica de proliferación de las células que se encuentran ciclando de la siguiente manera: asumí que en la condición inicial, cada ciclo la célula está en una coordenada aleatoria a lo largo de su ciclo celular, donde la coordenada inicial del ciclo celular y la longitud del ciclo celular siguen una distribución exponencial y lognormal, respectivamente. En la médula espinal, tras la división celular, i) las células hijas heredan la longitud del ciclo celular de la distribución lognormal de la madre y ii) las células hijas se trasladan posteriormente, desplazando las células posteriores a ellas. Esta última característica del modelo es la implementación de lo que definimos anteriormente como "mecanismo de empuje celular" (Rost et al., 2016). Este modelo predice que después de un tiempo de aproximadamente la duración de un ciclo celular, ocurrirán eventos mitóticos a lo largo del eje AP y contribuirán al crecimiento de la médula espinal (Figura 2.1A).

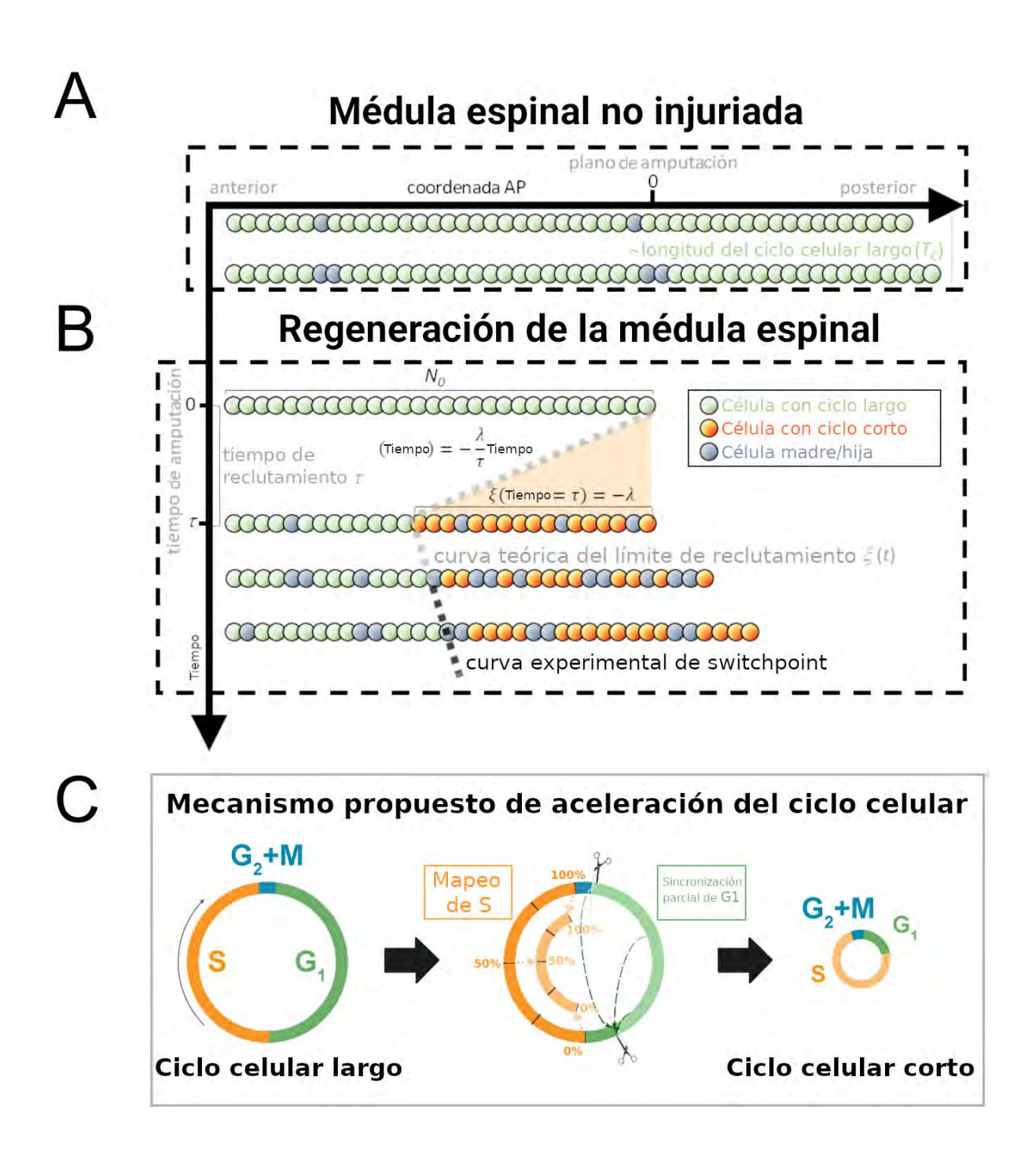


Figura 2.1: Modelo de crecimiento de la médula espinal ilesa y en regeneración basado en el acortamiento de las fases G1 y S de las células.

Figura 2.1: A) Médula espinal ilesa. Modelo 1D de células ependimales alineadas a lo largo del eje AP. En el tejido sano, las células ependimales ciclan con una duración larga del ciclo celular (ver Figura 2.2) y cuando se dividen las células "empujan" posteriormente y el tejido de la médula espinal crece. Como ejemplo, dos células madre (en azul) en la fila superior dan lugar a cuatro células hijas en la segunda fila (también en azul) después de una división. Esto da como resultado un crecimiento de dos diámetros celulares dentro de un período de tiempo de aproximadamente un ciclo celular largo. B) Regenerador de la médula espinal. Después de la amputación (coordenada AP y tiempo igual a cero) se libera una señal anteriormente desde el plano de amputación durante un tiempo τ y se propaga mientras se reclutan células ependimales residentes hasta el límite de reclutamiento teórico ξ ubicado en $-\lambda \mu m$ desde el plano de la amputación. Después de cierto tiempo, el límite de reclutamiento ξ se superpone al switchpoint experimental (ver Figura 2.2). C) Los mecanismos propuestos de acortamiento del ciclo celular consisten en la omisión parcial de la fase G1 y el mapeo proporcional entre fases S largas y cortas. En el panel central, se representan dos ejemplos (flechas verdes discontinuas) de células que estaban en la fase G1 larga (inmediatamente antes del reclutamiento) que se sincronizan (inmediatamente después del reclutamiento). Además, hay tres ejemplos (flechas naranjas punteadas) de células que estaban en la fase S larga (inmediatamente antes del reclutamiento) que se mapean proporcionalmente (inmediatamente después del reclutamiento). Todos estos ejemplos se muestran en detalle en la Figura 2.3. El diámetro de los círculos es aproximadamente proporcional a la longitud del ciclo celular de la célula..

2.2 Modelo de regeneración de la médula espinal

A continuación, eliminé las células más posteriores del tejido para modelar la amputación de la cola y la respuesta regenerativa en las restantes (N_0) células in silico (consulte la Figura 2.1B y la sección de métodos computacionales para más detalles). Asumí que la amputación desencadena la liberación de una señal que se propaga en sentido anterior desde el sitio de la lesión con velocidad constante a lo largo del eje AP, reclutando células al inducir un cambio en su ciclo celular. Establecí que el reclutamiento celular se detiene al tiempo τ , reclutando $\lambda \mu m$ de células anteriores al plano de amputación. Anoto la posición AP de la célula más anterior reclutada por la señal como $\xi(t)$, y llamo a esto el límite de reclutamiento, tal que $\xi(t=\tau)=-\lambda$. En el modelo, todas las células anteriores al las células ubicadas en $\xi(t)$ no se reclutan y continúan ciclando lentamente durante las simulaciones (Figura 2.2). Por el contrario, las células posteriores a $\xi(t)$ se reclutan en un tiempo t dentro del intervalo $0 \le t \le \tau$ y modifican irreversiblemente su

ciclo de acuerdo con su fase del ciclo celular en el momento del reclutamiento.

Debido a que previamente demostramos que la duración de las fases G2 y M no cambia con la amputación (Rodrigo Albors et al., 2015), asumí que las células en G2 o M dentro de la zona de reclutamiento continuará ciclando como antes (Figura 2.1C, sección Métodos computacionales). En contraste, dado que demostramos que las células en regeneración pasan por fases G1 y S más cortas que las células no regenerativas (G1 se acorta de 152 ± 54 horas a 22 ± 19 horas; S acorta de 179 ± 21 horas a $88 \pm 9horas$, Rodrigo Albors et al., 2015), razoné que la señal instruye a las células reclutadas para acortar G1 y S, acortando de manera efectiva su ciclo celular.

Para explicar cómo las células ependimales pueden acortar las fases G1 y S en respuesta a la señal de lesión, concibo un mecanismo de acortamiento de G1 en el que se salta cierta parte de esta fase del ciclo celular. Implementé este mecanismo de la siguiente manera (Figura 2.1C, Figura 2.3, Computacional métodos sección 1.1.1): si en el momento del reclutamiento la célula está en G1, hay dos posibles transformaciones de sus coordenadas. Si la coordenada del ciclo celular está ubicada antes de la diferencia entre la longitud G1 larga (no regenerativa) y la longitud G1 acortada (regenerativa), el reloj celular se reinicia; es decir, su coordenada transformada del ciclo celular será el comienzo de la fase G1 acortada en el siguiente paso de simulación (inmediatamente después de las fases G2 + M). Por el contrario, si la coordenada original del ciclo celular de la célula se encuentra situada después de la diferencia entre la longitud G1 larga y la longitud G1 acortada, no hay cambio en el tiempo para entrar en fase S. La diferencia entre las longitudes G1 largas y cortas constituye una especie de umbral. Si la célula en G1 se encuentra antes de este valor, salta y si está después, continúa ciclando como antes. Este mecanismo de salto en G1 predice una sincronización parcial del ciclo celular a medida que las células transitan a través de G1 (Figura 2.1 - Figura 2.7) - una implicación importante que probamos experimentalmente más tarde.

Debido a que todo el ADN debe duplicarse antes de la división celular, consideré un mecanismo diferente para el modelado del acortamiento de la fase S: si la coordenada del ciclo celular pertenece a S en el momento del reclutamiento, la nueva coordenada del ciclo celular de esta célula se mapeará proporcionalmente a la coordenada correspondiente de una fase S reducida en el siguiente paso de simulación (Figura 2.1C, Figura 2.3, sección Métodos computacionales). Por ejemplo, si la célula reclutada está en un 40% en su fase S (larga) cuando la señal llega, estará en el 40% de su fase S corta en el siguiente paso de simulación. Las células hijas de las células reclutadas heredan fases G1 y S cortas de sus progenitores y en consecuencia, tienen longitudes de ciclo celular cortas (Figura 2.1C). Finalmente, asumí que el reclutamiento de un célula inactiva induciría su progreso de G0 a G1 después de un retraso arbitrario (métodos computacionales). Para parametrizar las duraciones de la fase celular de las células cíclicas reclutadas y no reclutadas, la fracción de crecimiento y geometría celular, utilizamos nuestros datos experimentales anteriores de regiones de regeneración y no regeneración de la médula espinal del axolotl (Rodrigo Albors et al., 2015) (sección de métodos computacionales).

El modelo predice que si esperamos un tiempo similar a la duración del ciclo celular corto, observaremos mayor proliferación posterior a ξ que anterior a él. En particular, si este modelo es correcto, la predicción para ξ (Figura 2.1B) debe coincidir con la

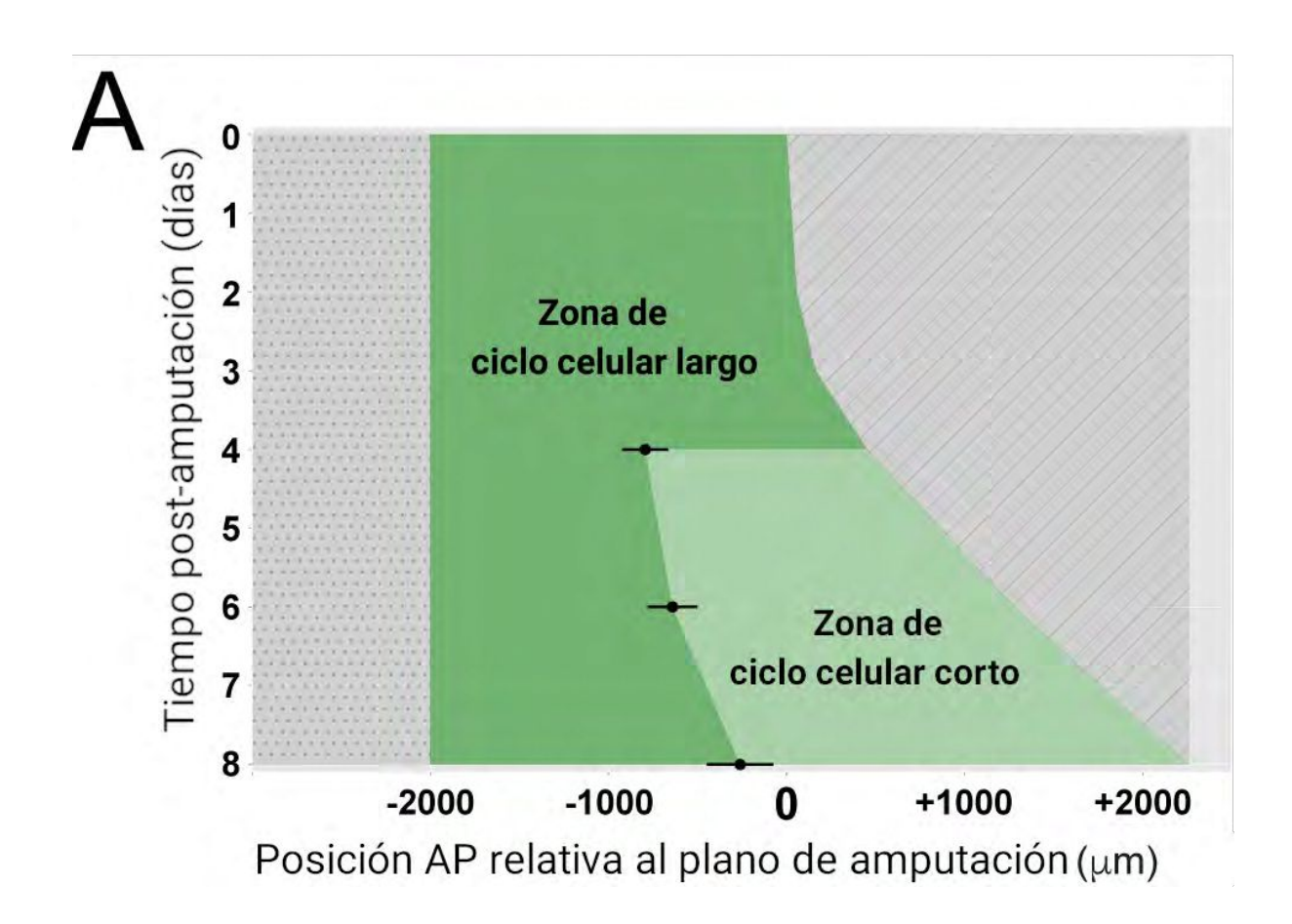


Figura 2.2: Distribución espacio-temporal de la proliferación celular durante la regeneración médula espinal axolotl. switchpoint experimental (puntos negros) que separa áreas de baja proliferación celular (zona de ciclo celular largo, verde oscuro) debido a una alta proliferación celular (zona de ciclo celular corto, verde claro) a lo largo del eje anterior-posterior (AP) (representado horizontalmente) de la médula espinal axolotl. La región rallada marca el espacio fuera del embrión mientras la región punteada marca la parte no afectada del embrión (adaptado de la Fig.2 F" de Rost et al., 2016). Cada valor del switchpoint se determinó como el borde que separa dos zonas espacialmente homogéneas asumidas por un modelo matemático, que se ajustó a la distribución espacial experimental de la fracción de crecimiento y el índice mitótico a lo largo de la médula espinal del axolotl (Rost et al., 2016).

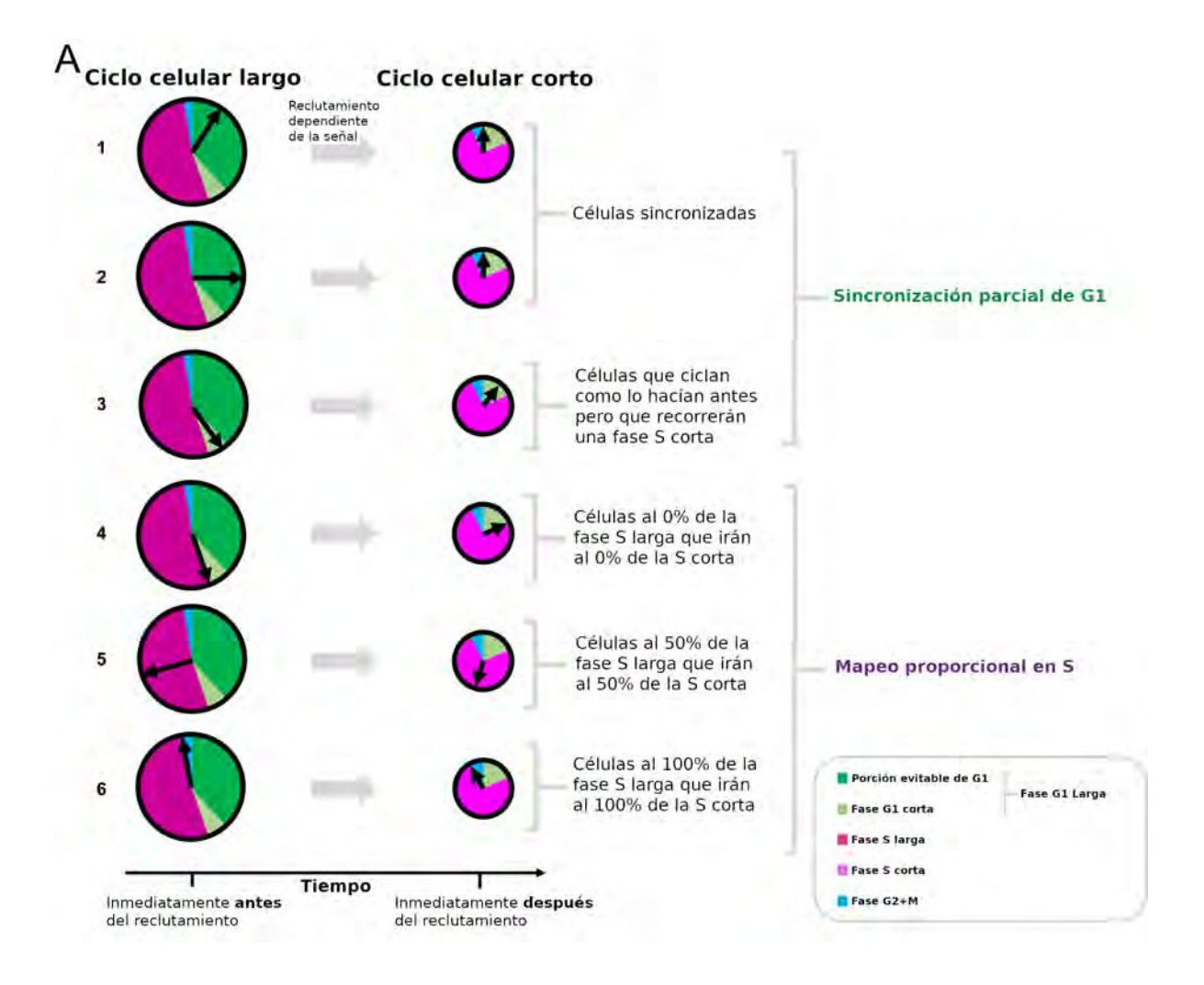


Figura 2.3: Explicación adicional de la transformación de coordenadas del ciclo celular invocada por el modelo. Las células en la fase G1 al momento del reclutamiento pueden omitir el resto de la fase, dependiendo de dónde están ubicados en la fase G1 larga. Si la coordenada de su ciclo celular está antes de la diferencia entre las fases G1 larga y corta, se saltan esta parte inicial de la fase larga G1 y se sincronizan al comienzo de la fase G1 corta (1, 2). Si la coordenada de su ciclo celular es igual o posterior a la diferencia entre las fases G1 larga y corto, continúan ciclando como antes, pero luego pasarán por una fase S corta (3). Esto genera un mecanismo de sincronización parcial (Ver sección Métodos computacionales). Si las células están en fase S al momento del reclutamiento, las células siguen un mapeo proporcional (4 - 4). Esencialmente, las coordenadas del ciclo celular dentro de S se escalan a la fase S corta (consulte la sección de Métodos computacionales).

curva experimental del *switchpoint* que separa la región de alta proliferación de la de baja proliferación a lo largo del eje AP de la médula espinal del axolotl durante la regeneración (Figura 2.2).

2.3 Detalles del modelado de desarrollo y regeneración de la médula espinal axolotl

Modelé la médula espinal como una fila densamente empaquetada de células ependimales. Dado que asumo todas las células como esferas rígidas idénticas, el modelo implica efectivamente sólo una dimensión espacial: eje antero-posterior (AP) de la médula espinal. Asumí que las células se encuentran ciclando o inactivas, donde la fracción de células que se encuentran transitando el ciclo es la fracción de crecimiento GF. Consideré que cada célula ubicada en la posición x_i en el tiempo t prolifera con una cierta longitud de ciclo celular aleatoria distribuido lognormalmente $T_i(x_i,t)$ y tiene una cierta edad dentro de su ciclo celular, $C_i(x_i,t)$, definida como una coordenada a lo largo del ciclo celular o reloj $(0 \le C_i(x_i,t) < T_i(x_i,t))$. En la condición inicial, cada célula cíclando tiene una edad aleatoria $C_i(x_i,t) = 0$ = C_i^0 a lo largo de la longitud del ciclo celular en particular

 $T_i(x_i,t)$, donde la distribución de C_i^0 viene dada por $(\frac{\ln 2}{T_i(x_i,t)})2^{1-\frac{2C_i^0}{T_i(x_i,t)}}$. A medida que avanza el tiempo, cada célula que cicla aumenta su reloj $C_i(x_i,t)$ de forma determinista hasta que alcanza su correspondiente valor $T_i(x_i,t)$. En este preciso momento, la célula se divide y una hija hereda la coordenada AP de su madre mientras que el otro está intercalado entre la primera hija y la célula vecina posterior. Esta última característica del modelo es la implementación de lo que definimos anteriormente como "mecanismo de empuje célular" (Rost et al., 2016). Después de la división celular, las células hijas reinician sus relojes y $C_i(x_i,t)=0$. Este modelo predice que después de un tiempo de aproximadamente una duración de ciclo celular, los eventos mitóticos ocurrirá a lo largo del eje AP, contribuyendo al crecimiento de la médula espinal durante el desarrollo (Figura 2.1A).

Para estudiar la evolución del tejido en un escenario regenerativo, me centré en la respuesta del tejido a una amputación modelada simplemente eliminando las células más posteriores. Modelé la respuesta regenerativa en las N_0 células restantes asumiendo que la amputación desencadena la liberación de una señal, que se propaga con velocidad constante en dirección anterior sobre el eje AP mientras recluta células ependimales. Supuse que el reclutamiento de células se detiene a tiempo τ , dejando $\lambda \mu m$ de células anteriores al plano de amputación reclutadas y una velocidad de reclutamiento $-\lambda/\tau$ durante el intervalo $0 \le t \le \tau$. Llamé a la posición AP de la célula más anterior reclutada por la señal como $\xi(t)$, el límite de reclutamiento, tal que, $\xi(t = \tau) = -\lambda$.

Dado que las células ependimales regenerativas acortan las fases G1 y S sin alterar

las fases G2 y M que conducen a una aceleración del ciclo celular (Rodrigo Albors et~al., 2015), asumí que el reclutamiento inducido por señales instruye a las células ependimales en regeneración con precisión para reducir las fases G1 y S, acortando eficazmente su ciclo celular (Figura 2.1 C). Represento aquí como $G1^{long}$ y S^{long} ($G1^{short}$ y S^{short}) la duración de las fases correspondientes para las células ependimales de animales ilesos (animales en regeneración). Anoto con T^{long} y T^{short} a la longitud del ciclo celular de las células ependimales ilesas y regenerativas de axolotl, respectivamente.

Note que una célula i que se encuentra ciclando cuya posición x_i es anterior al límite de reclutamiento $(x_i < \xi(t))$ no es reclutada y tiene una longitud de ciclo celular $T_i(x_i, t)$ igual a T^{long} , es decir, continua ciclando lentamente durante las simulaciones (Figura 2.2B). En contraste, una célula ciclando i cuya posición x_i es posterior al límite de reclutamiento $(x_i \ge \xi(t))$ dentro del intervalo de tiempo $0 < t \le \tau$ es reclutada y en consecuencia, tiene una longitud de ciclo celular $T_i(x_i, t)$ igual a T^{short} . La progenie de las células reclutadas (células no reclutadas) tienen una longitud de ciclo celular extraída de la misma distribución lognormal de T^{short} (T^{long}) (Figura 2.1C).

Supuse que el reclutamiento de una célula i ubicada en la posición x_i en el tiempo t induce un efecto de transformación en la coordinada de su ciclo celular $C_i(x_i,t) \longrightarrow C'_i(x_i,t)$, donde $C_i(x_i,t)$ y $C'_i(x_i,t)$ son las coordenadas del ciclo celular original y transformado, respectivamente. Esto significa que el ciclo celular de estas células experimentan una transformación de coordenadas, modificando su ciclo de acuerdo con la fase del ciclo celular en la que se encuentran en el momento del reclutamiento, como describimos a continuación en las siguientes subsecciones (Figura 2.2B):

2.3.1 Cuando las células están en la fase G1 en el momento del reclutamiento

Supusimos que si en el momento de la amputación t, una celda i se encuentra en una coordenada del ciclo celular $C_i(x_i,t)$ dentro de $0 \le C_i(x_i,t)G1^{long} - G1^{short}$, la nueva coordenada del ciclo celular es la siguiente (Figura 2.1C y Figura 2.3):

$$C_i'(x_i, t) = 0 (2.1)$$

lo que induciría a una sincronización. Por el contrario, si en el momento de la amputación t, una célula i se encuentra en una coordenada del ciclo celular $C_i(x_i,t)$ dentro de $G1^{long}-G1^{short} \leq C_i(x_i,t) \leq G1^{long}$, la nueva coordenada del ciclo celular es:

$$C_i'(x_i, t) = C_i(x_i, t)(G1^{long}G1^{short})$$
(2.2)

Es decir, estas células continúan ciclando como antes. En conjunto, las células en G1 resultan parcialmente sincronizados (Figura 2.1C y Figura 2.3).

2.3.2 Cuando las células están en la fase S en el momento del reclutamiento

Teniendo en cuenta que en la fase S todo el ADN debe estar duplicado para que ocurra la división celular, consideré un mecanismo diferente para modelar el acortamiento de la fase S basado en un mapeo proporcional. La nueva coordenada del ciclo celular de esta célula se asigna proporcionalmente a la coordenada correspondiente de una fase S abreviada en el siguiente paso de simulación. Por lo tanto, asumí que si en el momento de la amputación t, una célula i estaría en la fase S, es decir, en una coordenada del ciclo celular $C_i(x_i,t)$ dentro de $G1^{long} \leq C_i(x_i,t) \leq G1^{long} + S^{long}$, la coordenada transformada del ciclo celular es relativa a la longitud de la fase S es invariante (Figura 2.1C y Figura 2.3):

$$\frac{C_i'(x_i,t)G1^{short}}{S^{short}} = \frac{C_i(x_i,t)G1^{long}}{S^{long}}$$
 (2.3)

Como consecuencia, la coordenada del ciclo celular transformada es la siguiente:

$$C_i'(x_i, t) = (C_i(x_i, t)G1^{long})\frac{S^{short}}{S^{long}} + G1^{short}$$
(2.4)

2.3.3 Cuando las células están en la fase G0 en el momento del reclutamiento

Supuse que si una célula i reclutada está inactiva en el momento t de reclutamiento, es decir, en G0, pasa de esta fase a la fase G1-corta después de un cierto retardo t_{G0-G1} .

$$C_i'(x_i, t + t_{G0G1}) = 0 (2.5)$$

2.4 El crecimiento regenerativo de la médula espinal se puede explicar por una señal que actúa durante las 85 horas después de la amputación y recluta células dentro de los $828\mu m$ anteriores al plano de amputación

Para evaluar si el modelo podría explicar el crecimiento regenerativo del tubo ependimal y estimar los parámetros libres, ajusté $\xi(t)$ al switchpoint experimental (Rost et al., 2016). Específicamente, seguí un método de cálculo bayesiano aproximado de inferencia, simplificado por el uso del paquete pyABC (Klinger, Rickert & Hasenauer, 2018). El modelo reprodujo con éxito el switchpoint experimental con los mejores parámetros de ajuste $N0=196\pm 2$ células, $=828\pm 30\mu m$ y $\tau=85\pm 12$ horas (Figura 2.7A; las distribuciones posteriores de los parámetros obtenidas después de la convergencia se muestran en la Figura 2.4 y consulte la sección de métodos computacionales para obtener más detalles) Curiosamente, un análisis clonal del modelo muestra que mientras que las células más anteriores están ligeramente desplazadas de su posición original, las células ubicadas cerca al plano de amputación terminan en el extremo posterior de la médula espinal regenerada (Figura 2.5A), de acuerdo con las trayectorias celulares experimentales observadas durante la regeneración de la médula espinal del axolotl (Rost et al., 2016). Además, la velocidad de un clon aumenta monotónicamente con su coordenada AP (Figura 2.5B), también en línea con los datos experimentales (Rost et al., 2016). Estos resultados sugieren que las células conservan su posición relativa a lo largo del eje AP. Por lo tanto, al graficar la posición relativa de cada clon al crecimiento del tejido correspondiente menos el límite de reclutamiento $\xi(t)$, observó que esta cantidad normalizada se conserva en el tiempo, una huella del comportamiento de escalado característica de la regeneración (Figura 2.5C). Es importante destacar que con la parametrización que conduce al mejor ajuste del *switchpoint* experimental, predijimos cuantitativamente la evolución temporal del crecimiento regenerativo que se observó in vivo (Rost et al., 2016) (Figura 2.7B).

Mi modelo asume que las células son esferas rígidas de diámetro uniforme fijado a partir de la longitud media de células ependimales medidas a lo largo del eje AP (Rost et al., 2016). Para probar si esta simplificación podría afectar nuestra predicción del crecimiento de la médula espinal regenerativa, repetimos las simulaciones pero reemplazando la longitud media de las células por longitudes de células más grandes y más pequeñas posibles dentro de un intervalo de 99% de confianza basado en datos anteriores (Rost et al., 2016). El crecimiento de la médula espinal predicho bajo estos dos escenarios extremos difícilmente podrían distinguirse de la predicción anterior (Figura 2.6 A, B). Obtuve

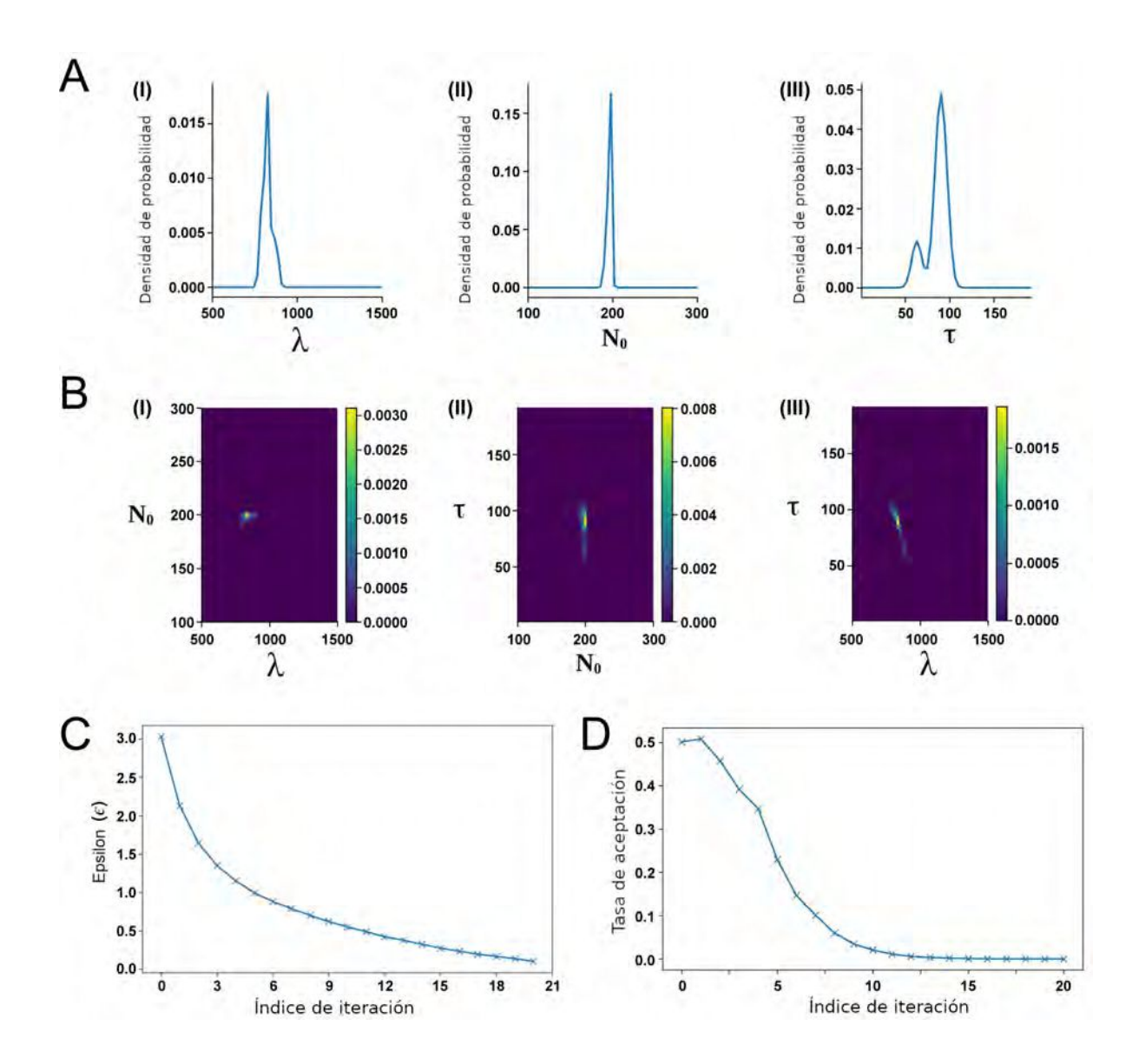


Figura 2.4: Aproximación de cálculo bayesiano (ABC) ajuste del modelo de límite de reclutamiento a los datos experimentales del switch**point.** (A) Distribuciones posteriores de los parámetros λ (I), N_0 (II) y τ (III). (B) Distribuciones posteriores combinadas de N_0 y λ (I), τ y N_0 (II) así como τ y λ (III). (C y D) Convergencia del ajuste representada por la tolerancia de ajuste ϵ (B) y la tasa de aceptación (D) versus el índice de iteración. (Ver Métodos computacionales para más detalles).

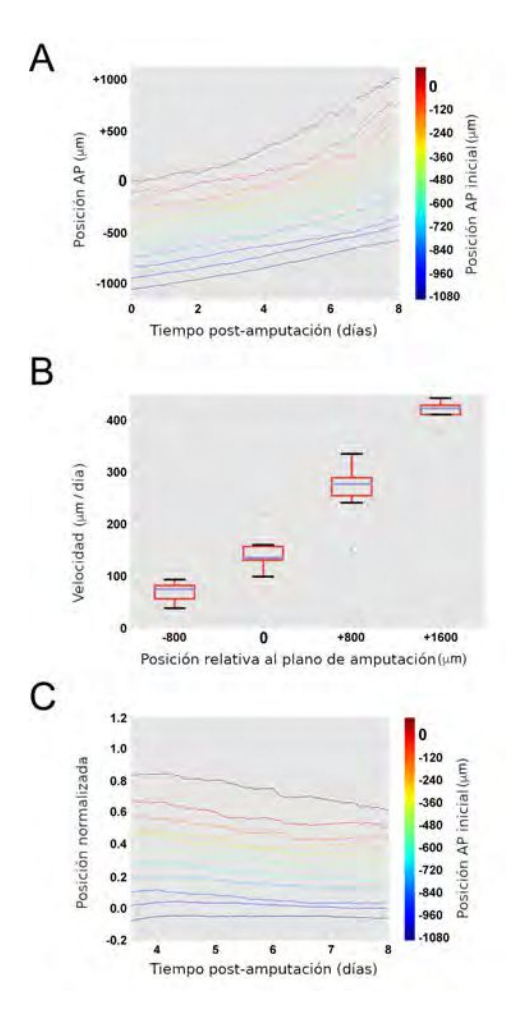


Figura 2.5: El modelo contempla el mecanismo de empuje de la célula: cuanto más posterior está una célula, cuanto más rápido se mueve. A) Las células ubicadas cerca del plano de amputación terminan en el extremo posterior del tejido regenerado modelado. B) La velocidad de los clones aumenta monótonicamente con la coordenada AP. Representación de diagrama de caja que muestra la mediana de las velocidades de los clones agrupadas cada $800\mu m$ C) Comportamiento escalado: las células clonadas conservan su orden espacial original. La posición relativa de cada clon al tejido altamente proliferante delimitado por su el crecimiento y el límite de reclutamiento se mantienen constantes en el tiempo. La figura muestra 11 simulaciones.

resultados similares cuando asumí que las células ependimales no tienen una longitud constante a lo largo del eje AP sino que son extraídas de una distribución normal parametrizada de la datos experimentales sobre las longitudes de las células ependimales a lo largo del eje AP (Figura 2.6 C).

Cuando simulo un proceso de reclutamiento rápido reduciendo el tiempo máximo de reclutamiento τ a un día mientras se mantiene la longitud máxima de reclutamiento λ constante, encuentro que el crecimiento predicho por el modelo sobrestima el crecimiento experimental (Figura 2.7 - Figura 3.2 A). Por el contrario, cuando disminuyo la velocidad de reclutamiento aumentando τ a 8 días manteniendo λ constante, observo un crecimiento menor que el observado experimentalmente (Figura 2.7 - Figura 3.2 A). La reducción de la distancia de reclutamiento máxima λ a cero imita un caso hipotético en el que la señal es incapaz de reclutar a las células anteriores al plano de amputación (Figura 2.8 B). Aumentar λ en aproximadamente un 100% sin cambiar τ (es decir, aumentar la velocidad de reclutamiento) da como resultado más células ependimales reclutadas y un crecimiento de la médula espinal más rápido que el observado in vivo (Figura 2.8 B). Estos resultados apuntan a un mecanismo de reclutamiento celular espacio-temporal preciso subyacente a la respuesta de crecimiento tisular durante la regeneración de la médula espinal del axolotl

2.5 Crecimiento de la médula espinal cuando se impide la aceleración del ciclo celular

Luego pregunté cuánto crecería la médula espinal si la aceleración del ciclo celular instruida por la señal está bloqueada. Hice uso de mi modelo y predije el crecimiento del tejido cuando las longitudes de G1 y S permanecieron inalterados después de la amputación. En esta condición, todas las células se dividirían con las duraciones de las fases del ciclo celular informadas en condiciones de no regeneración (Rodrigo Albors et al., 2015). Los resultados muestran que el bloqueo del reclutamiento y, por tanto, la aceleración del ciclo celular, ralentiza el crecimiento de tejido, lo que lleva a un reclutamiento de $694 \pm 77 \mu m$ en lugar de los $1.127 \pm 103 \mu m$ observados a día 6 (Figura 2C). Este resultado es consistente con reducir a cero la longitud máxima de reclutamiento λ (Figura 2.8). Curiosamente, esta consecuencia predicha por el modelo está en acuerdo con la que se informó sobre el crecimiento experimental en axolotl knock-out de Sox2, en el que la aceleración del ciclo celular no tiene lugar después de la amputación (Figura 2.7 C, Fei et al., 2014).

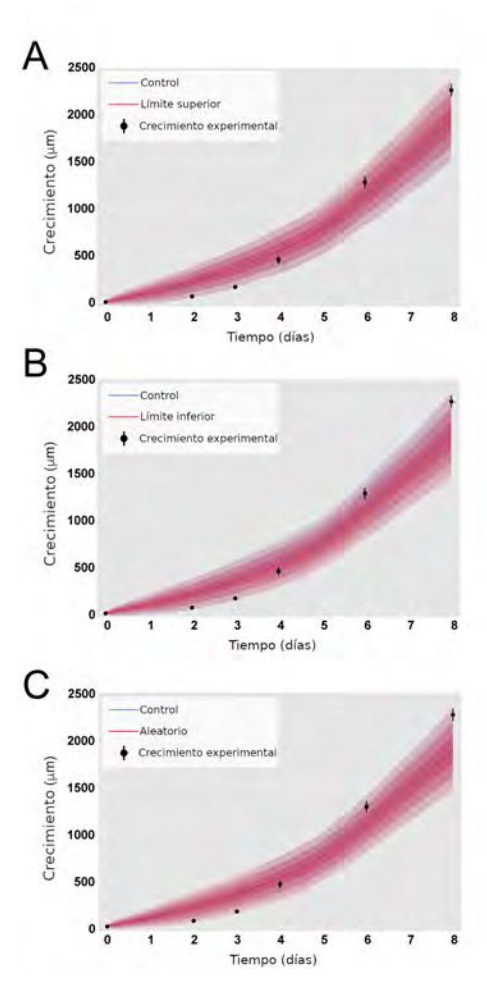


Figura 2.6: La incorporación de la variabilidad de la longitud de la célula a lo largo del eje AP no afecta la predicción del crecimiento de la médula espinal del axolotl. (A)Crecimiento predicho a partir del modelo que supone longitudes de las células ependimales iguales al valor medio experimental más tres sigma de la longitud medida a lo largo del eje AP (en rojo). (B) Crecimiento predicho a partir del modelo suponiendo longitudes de células ependimales iguales a la media experimental menos tres sigma de su longitud medida a lo largo del eje AP (en rojo). (C) Crecimiento predicho a partir del modelo asumiendo longitudes de células ependimales extraídas de una distribución normal parametrizada a partir de la longitud de las células medidas a lo largo del eje AP (en rojo). En los tres paneles se representa el crecimiento predicho del modelo asumiendo longitudes de células ependimales iguales al valor medio experimental de la longitud delas células medida a lo largo el eje AP (Control, en azul, mismas simulaciones que se muestran en la Figura 2.7B). La longitud experimental de las células ependimales a lo largo del eje AP se caracteriza por $\mu =$ $13,2\mu m, \sigma = 0,1\mu m.$

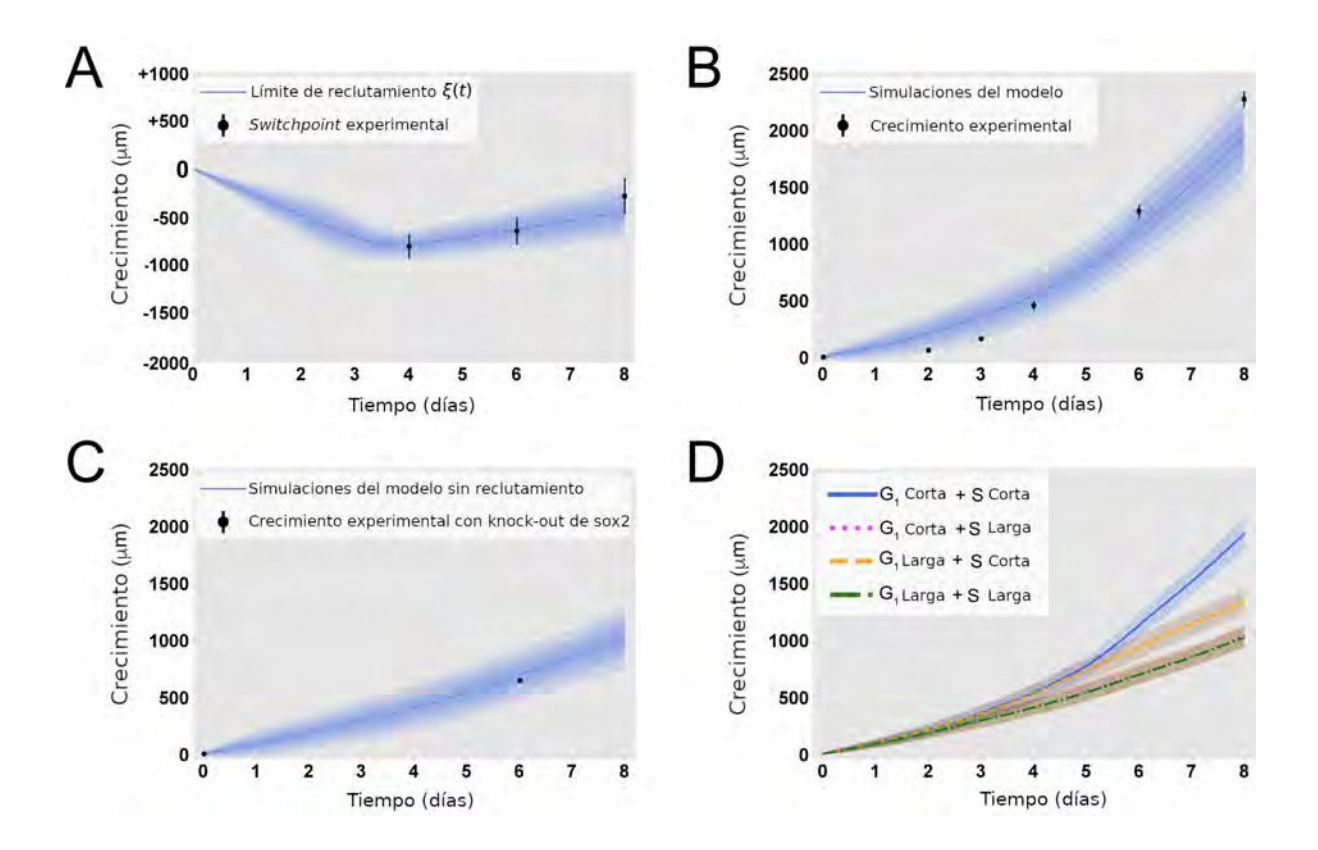
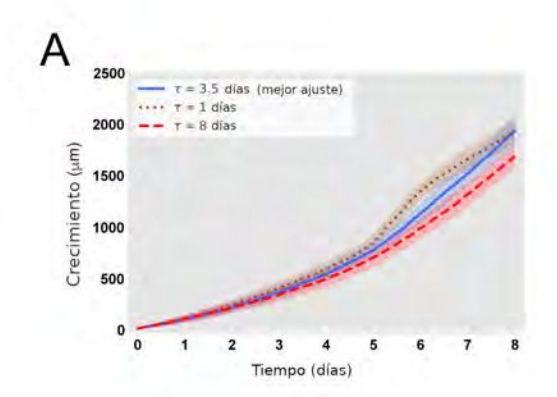


Figura 2.7: A) El límite de reclutamiento modelado se ajusta con éxito a la curva del *switchpoint* experimental. Simulaciones de mejor ajuste del modelo de límite de reclutamiento previsto $\xi(t)$ se superpone a la curva del *switchpoint* experimental. Los mejores parámetros de ajuste son $N_0 = 196 \pm 2 \text{ células}, \lambda = 828 \pm 30 \mu \text{m y } \tau = 85 \pm 12 \text{ horas. B}$) El modelo coincide cuantitativamente con la cinética de crecimiento experimental de la médula espinal del axolotl (Rost et al., 2016). C) El modelo reproduce la reducción del crecimiento experimental cuando se impide la aceleración de la proliferación celular. Predicción del modelo asumiendo que ni las longitudes de la fase S ni la de la fase G1 se acortaron, superpuestas con las cinéticas de crecimiento experimental en las que la aceleración del ciclo celular fue evitada al noquear a Sox2 (Fei et al., 2014). Las líneas en A, B y C muestran las medias, mientras que las áreas sombreadas en azul corresponden a intervalos de confianza de 68, 95 y 99,7%, de más oscuro a más claro, calculados a partir del mejor ajuste de 1.000 simulaciones. D) El acortamiento de la fase S domina la aceleración del ciclo celular durante la regeneración de la médula espinal del axolotl. Cinética de crecimiento de la médula espinal predicha por el modelo suponiendo un acortamiento de las fases S y G1(línea azul), solo acortamiento de la fase S (línea discontinua naranja), solo acortamiento de la fase G1 (línea discontinua magenta) y ni acortamiento de S ni Acortamiento G1 (línea verde). La línea magenta y la línea verde se superponen entre sí. Las medias son representado como líneas y cada área sombreada corresponde a un sigma de 1.000 simulaciones.



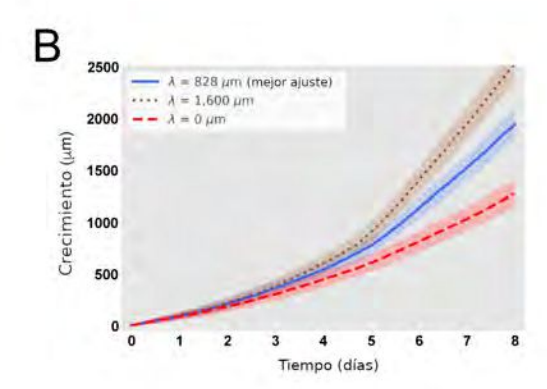


Figura 2.8: El tiempo máximo de reclutamiento (τ) y la longitud máxima de reclutamiento (λ) determinan el crecimiento de la médula espinal del axolotl. A) El aumento (disminución) de τ reduce (aumenta) el crecimiento de la médula espinal predicho por el modelo. Evolución temporal del crecimiento de la médula espinal predicha por el modelo al variar τ de 1 día (marrón) a 8 días (rojo). En azul, la predicción del modelo asumiendo $\tau = 85 \pm 12$ horas. $N_0 = 196 \pm 2$ células y $\lambda = 830 \pm 30 \mu m$. B) El aumento (disminución) de λ aumenta (reduce) el crecimiento de la médula espinal predicho por el modelo. Evolución temporal del crecimiento de la médula espinal predicho por el modelo al variar λ de cero (rojo) a 1.600µm (marrón). En azul, la predicción del modelo asumiendo $\lambda = 828 \pm 30 \mu m$. $N_0 = 196 \pm 2$ células y $\tau = 85 \pm 12$ horas. Las simulaciones representadas en las curvas azules en A y B son las mismas simulaciones que se muestran en la Fig. 2.7B. Las medias son representados como líneas, mientras que las áreas sombreadas corresponden a intervalos de confianza del 68%, respectivamente, calculados a partir de 1.000 simulaciones.

2.6 El acortamiento de la fase S es suficiente para explicar el crecimiento inicial de la médula espinal en regeneración

Las contribuciones relativas del acortamiento de la fase G1 vs S al crecimiento de la médula espinal son un factor importante desconocido que es técnicamente difícil de interrogar in vivo. Hice uso de mi modelo para responder a esta pregunta in silico. Para ello, mantuve la misma parametrización obtenida con la que se recapituló el crecimiento de la médula espinal (Figura 2.7 A y B) pero modifiqué el modelo de tal manera que las células reclutadas acortan la fase S pero no la fase G1 (es decir, dejando la fase

G1 inalterada) o viceversa. Curiosamente, mis resultados indican que el acortamiento únicamente de la fase S, puede explicar el crecimiento explosivo de la médula espinal observado in vivo, independientemente del acortamiento de G1, hasta el día 4 (Figura 2.7 D, línea azul y línea naranja). En contraposición, el acortamiento de la fase G1 solamente, tiene un impacto leve en el crecimiento inicial, ya que da como resultado crecimiento casi idéntico al caso en el que no se redujeron ni la fase G1 ni la S (Figura 2.7 D, línea magenta versus línea verde). Sin embargo, desde el día 4, el acortamiento de solo la fase S no es capaz de recapitular el crecimiento (Figura 2.7 D, línea azul y línea naranja) y, de hecho, es el acortamiento de las fases S y G1 que devuelve el mismo crecimiento que el observado in vivo. Estas predicciones de modelado son una consecuencia de i) la proximidad de la fase S a la siguiente división celular en comparación con la fase G1 y ii) el hecho de que la fase S representa 7,5 días del total 14 días del ciclo celular largo, que se reduce a 3,7 días en el ciclo celular corto de 5 días y iii) la ventana de tiempo del crecimiento investigado fue de 8 días. En conclusión, estos resultados indican que, hasta el día 4, el acortamiento de la fase S puede explicar la el crecimiento regenativo de la médula espinal en el axolotl, mientras que el efecto del acortamiento de G1 se manifiesta a partir del día 5.

Párametro del modelo	Valor/explicación	${ m Fijo/libre}$
Fase G1 no regenerativa (promedio)	152 horas	Parámetros fijos, extraídos de
Fase G1 no regenerativa (sigma)	54 horas	Rodrigo Albors et al., 2015.
Fase S no regenerativa (promedio)	179 horas	
Fase S no regenerativa (sigma)	21 horas	
Fases G2 + M no regenerativa (promedio)	9 horas	
Fases G2 + M no regenerativa (sigma)	6 horas	
Fase G1 regenerativa (promedio)	22 horas	
Fase G1 regenerativa (sigma)	19 horas	
$G1_cr$	130 horas	
Fase S regenerativa (promedio)	88 horas	
Fase S regenerativa (sigma)	9 horas	
Fases G2 + M regenerativa (promedio)	9 horas	
Fases G2 + M regenerativa (sigma)	2 horas	
Longitud de la célula a lo largo del eje AP	13,2µт	
N_0	Número inicial de células a lo largo del eje AP, anterior al the plano de amputación.	Parámetros libres (determinados en esta tesis).
λ	Región desde el plano de amputación reclutada por la señal (μm) .	
τ	Retraso entre el momento de la amputación y el reclutamiento (días u horas).	

Cuadro 2.1: Parámetros del modelo.

CAPÍTULO 3

Determinación del tránsito a través del ciclo celular mediante FUCCI en axolotl in vivo

Tiempo es la medida del movimiento entre dos instantes.

—Aristóteles

3.1 Visualización de la progresión del ciclo celular en axolotl *in vivo* usando FUCCI

Mi modelo hace suposiciones bien definidas sobre cómo las fases del ciclo celular se acortan para dar como resultado una aceleración del ciclo celular durante 85 horas dentro de los 828um del lugar de la lesión. Buscamos validar el modelo determinando la cinética de esta respuesta rigurosamente, utilizando una herramienta que distingue las fases del ciclo celular in vivo preservando el contexto espacio-temporal. Para ello, adaptamos la tecnología basada en el indicador de ciclo celular basado en la ubiquitinzación fluorescente (FUCCI) para axolotl (Figura 3.1 A) (Zielke & Edgar, 2015). FUCCI es un reportero codificado genéticamente que distingue las fases del ciclo celular capitalizando la actividad oscilatoria exclusiva de dos ubiquitin ligasas (Sakaue-Sawano et al., 2008). SCFSkp2 está activo en S y G2 del ciclo celular, cuando se dirige al factor de licencia de ADN Cdt1 para la degradación proteolítica. Por el contrario, APC/CCdh1 está activo desde mediados de M hasta G1; durante estas fases, apunta a Geminin (Gmnn; a Cdt1 inhibidor) para la degradación. Fusionando los motivos que apuntan a la degradación (degrons) en Cdt1 y Gmnn proteínas a dos fluoróforos distintos pone la abundancia de fluoróforos bajo el control de SCFSkp2 y actividad de APC / CCdh1 y permite utilizar la fluorescencia como lectura para la fase del ciclo celular. Es importante destacar que el

análisis de FUCCI no requiere disociación celular (preservando así el contexto espacial dentro del tejido), inmunotinción o medición del contenido de ADN.

FUCCI se ha adaptado con éxito a varios organismos modelo, incluidos ratones, peces cebra, Drosophila y células humanas (revisado por Zielke y Edgar, 2015). Diseñamos axolotl FUCCI de novo al extraer las secuencias que albergan degron de las proteínas axolotl Cdt1 y axolotl Gmnn. Esto era importante ya que encontramos que el N-terminal de la proteína Cdt1, que alberga el degron PIP, es divergente a través de modelos animales (Figura B.1 A). Definimos los fragmentos relevantes de la proteína Cdt1 de axolotl (que alberga el motivo PIP degron y Cy) y la proteína Gmnn de axolotl (que alberga la caja D degron) usando alineamiento por homología y comparación con el pez cebra FUCCI (suplementos de figura 3.1 1A, B, C, D) (Sugiyama et al., 2009, Bouldin et al., 2014). El fragmento de axolotl Cdt1 [aa1-128] se fusionó a la proteína fluorescente mVenus y el fragmento de axolotl Gmnn [aa1-93] a la proteína fluorescente mCherry. Se utilizó el promotor ubicuo de CAGG y la secuencia viral T2A para coexpresar el Cdt1 [aa1-128] -mVenus y fusiones Gmnn [aa1-93]-mCherry en una transcripción. El reportero del ciclo celular específico de axolotl resultante se refiere como AxFUCCI (Figura 3.1A).

3.2 AxFUCCI discrimina fielmente las fases del ciclo celular in vivo

Realizamos imágenes de células vivas, análisis de contenido de ADN y caracterizaciones basadas en inmunofluorescencia para validar la capacidad de AxFUCCI para informar las fases del ciclo celular. Primero, electroporamos una línea de cultivo de células de axolotl inmortalizada (células AL1) con plásmido AxFUCCI y se realizaron imágenes in vivo. Como era esperado, la fluorescencia AxFUCCI osciló durante el ciclo celular en el orden mVenus, Doble positivo, mCherry, Doble positivo, mVenus (Figura 3.1 B, Figura B.2). Confirmamos que las células positivas para mVenus eran células G0/G1 y que las células positivas para mCherry eran S/G2 usando un citómetro de flujo para analizar el contenido de ADN (Figura B.3 A). Las células son transitoriamente AxFUCCI doble positivo entre G0/G1 y S/G2 (Figura 3.1 B y Figura B.2 A, B); inferimos que estas células están en el límite G1/S, como se observa en FUCCI de ratón (Abe et al. 2013). Curiosamente, y en contraste con FUCCI en otros organismos modelo, observamos una segunda ventana doble positiva AxFUCCI entre S/G2 y G0/G1, correspondiente al límite G2/M y células M (Figura 3.1 B y Figura B.2A, B). Por lo tanto, AxFUCCI discrimina las siguientes fases del ciclo celular en axolotl: G0/G1 (solo mVenus); S/G2(solo mCherry); Transición G1/S y transición G2/M (doble positivo) (Figura 3.1 B). Es importante destacar que la capacidad de AxFUCCI para etiquetar puntos de referencia definidos en el ciclo celular (es decir, la transición G1/S y G2/M) nos permitió probar más tarde la sincronización del ciclo celular, una característica de nuestro modelo.

Generamos axolotls AxFUCCI transgénicos estables usando transgénesis mediada por I-SceI, los criamos a la madurez sexual y utilizó la progenie F1 (transmitida por la

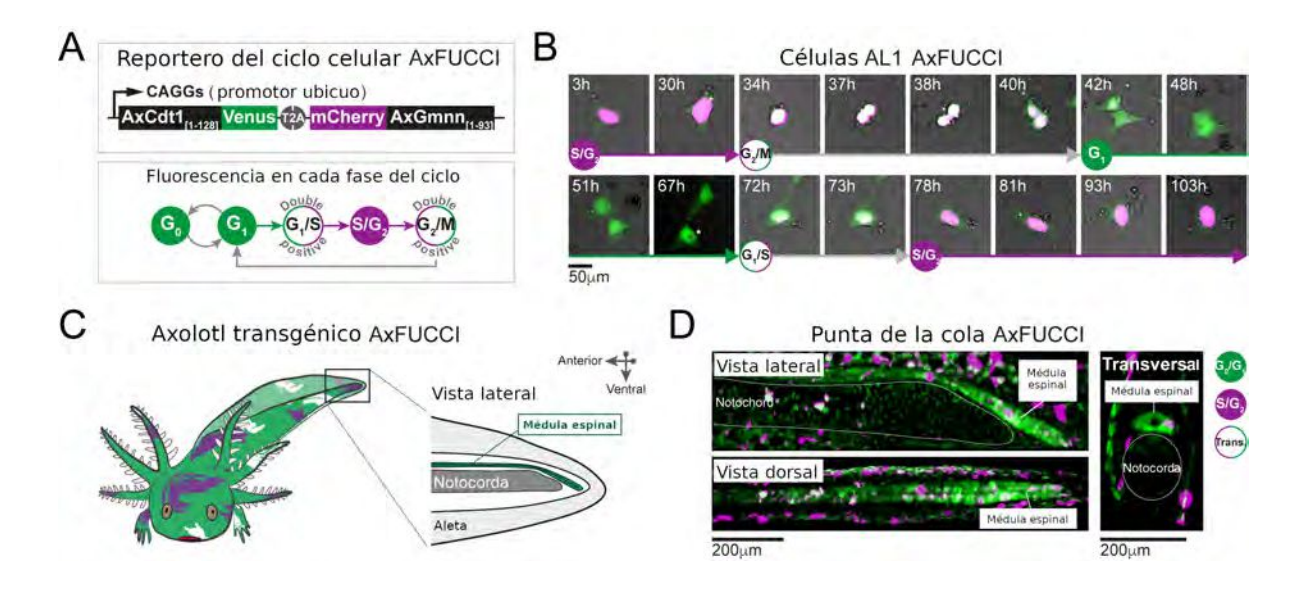


Figura 3.1: A) Panel superior: diseño AxFUCCI. Un promotor ubicuo (CAGG) impulsa la expresión de dos sondas AxFUCCI (AxCdt1 [1-128] -Venus y mCherry-AxGmnn [1-93]) en una transcripción. Las dos sondas AxFUC-CI se separan cotraduccionalmente en virtud de la secuencia de péptidos T2A viral "autoescindible. Panel inferior: combinaciones de fluorescencia de AxFUCCI en cada fase del ciclo celular. B) Obtención de imágenes de una sola célula axolotl electroporada con AxFUCCI in vitro. Cada panel es un solo marco adquirido a la hora indicada (h) después del inicio de la sesión de imágenes. Se representa un ciclo celular (desde S/G2hasta el siguiente S/G2). A las 67 h, las dos células hijas mitóticas se separaron; la celda hija con un asterisco se representa los paneles restantes. C) Establecimiento de axolotla transgénicos AxFUCCI. La ubicación de la médula espinal se indica en el contexto de la cola. D) Una cola AxFUCCI fija, aclarada y fotografiada en su totalidad utilizando microscopía de láminas de luz. Los datos 3D permiten el corte digital post-hoc de la misma médula espinal en vistas lateral, dorsal o transversal. Las imágenes muestran proyecciones de máxima intensidad a través de 50µm (vistas lateral y transversal) o 150µm (dorsal vista) de tejido. Trans.: Transición-AxFUCCI (transición G1/S o G2/M).

línea germinal) para validaciones posteriores (Figura 3.1 C). Los animales AxFUCCI se desarrollaron a un ritmo similar al de sus hermanos no transgénicos, no difirieron en su proliferación celular (Figura B.4 A) y tejido de la cola amputado regeneró con similar cinética a los animales d/d utilizados en nuestro estudio anterior (Figura B.4 B). Células disociadas de las colas de axolotl AxFUCCI y analizadas usando un citómetro de flujo exhibieron relaciones de fluorescencia/contenido de ADN esperadas (Figura B.4 C). Como segundo ensayo, se prepararon secciones de tejido de la médula espinal de axolotls AxFUCCI y se comparó el contenido de ADN (según lo evaluado por Fluorescencia DA-PI) en mVenus frente a células positivas para mCherry. Como era de esperar, las células positivas para mCherry albergaron significativamente más ADN que las células positivas para mVenus (Figura B.4 D, E). En tercer lugar, los axolotl AxFUCCI fueron invectados intraperitonealmente con EdU, un análogo de timidina que se incorpora en ADN durante la fase S. Después de un pulso de EdU de 8 horas, las células positivas para mCherry, pero no positivas para mVenus, deberían ser positivas para EdU y este fue realmente el caso (Figura B.4 F). Finalmente, co-secciones de tejido de médula espinal fueron teñidas con AxFUCCI con marcadores específicos del tipo célular. Neuronas que expresan NeuN, localizadas en la periferia de la médula espinal, son células diferenciadas posmitóticas (G0) y deben ser mVenus-positivo (y nunca mCherry-positivo). De hecho, encontramos que el 100% de las neuronas que expresan AxFUCCI fueron mVenus-positivo (Figura B.4 G). Por el contrario, Sox2-expresando en las células ependimales, que son células proliferativas, expresaron mVenus, mCherry o ambos fluoróforos (Figura B.4 H).

Basándonos en estas validaciones, y para simplificar, nos referimos a la fluorescencia de m Venus como "G0/G1-AxFUCCI" (verde en las Figuras 3.1 - 3.6), fluorescencia de m Cherry como "S/G2-AxFUCCI" (magenta en las Figuras 3.1 - 3.6) y doble positividad como "Transition-AxFUCCI" (blanco en las Figuras 3.1 - 3.6).

3.3 Medición de la zona de reclutamiento in vivo usando AxFUCCI

Usamos animales AxFUCCI para medir el tamaño de la zona de reclutamiento de células ependimales $in\ vivo$. Colas de AxFUCCI fueron amputadas a 5mm de las puntas de las colas y colas regeneradas fueron recolectadas diariamente hasta 5 días después de la amputación. Implementamos un conducto para limpiar ópticamente y fijar la imagen del tejido de la cola AxFUCCI en montura completa, lo que permitió volver a seccionar digitalmente a posteriori los datos de imágenes en cualquier orientación para una medición precisa (Figura 3.1 D) (Pende & Vadiwala $et\ al.$, 2020). Es importante destacar que este conducto no alteró la longitud del tejido de la cola (Figura B.5). Se encontró que, en la amputación, la mayoría de las células ependimales expresaban GO/G1-AxFUCCI y solo una minoría expresó S/G2-AxFUCCI (Figura 3.2 A). En los cinco días siguientes a la amputación de la punta de la cola, la proporción de células que expresan S/G2-AxFUCCI aumentaron localmente y de forma pronunciada en el sitio de la amputación,

luego se propagaron anteriormente a lo largo de la médula espinal, consistente con la aparición de una zona de reclutamiento (Figura 3.2 A y Figura 2.1B).

Como primer paso, cuantificamos el porcentaje de células ependimales que expresan G0/G1-AxFUCCI solamente o S/G2-AxFUCCI unicamente dentro de los 1000 – 1600um de médula espinal anterior al sitio de la amputación a cada día después de la amputación. Una longitud de 1600µm debe abarcar no solo la zona de reclutamiento sino también células ependimales ubicadas más anteriormente que no son reclutadas por la señal de lesión y que continúan en el ciclo lento (Figura 2.1 B). Realizamos nuestras cuantificaciones en bins adyacentes de $100\mu m$ para preservar la información espacial, utilizando la punta de la notocorda cortada para denotar el plano de amputación. Probamos estadísticamente si las células que expresan G0/G1-AxFUCCI y S/G2-AxFUCCI se encuentran heterogéneamente distribuidos a lo largo del eje AP en la médula espinal en regeneración (es decir, si se puede detectar una zona de reclutamiento), seguimos un enfoque similar al que usamos anteriormente para determinar el switchpoint (Rost et al., 2016). Ajusté los perfiles AP espaciales medidos del porcentaje de GO/G1-AxFUCCI y S/G2- AxFUCCI en cada animal con un modelo matemático asumiendo dos zonas espaciales homogéneas adyacentes, separadas por un borde antero-posterior (borde AP), que asumimos fue el mismo para los datos G0/G1 y S/G2-AxFUCCI. Para cada animal y a cada tiempo, probé si el porcentaje medio de células que expresan G0/G1-AxFUCCI o S/G2-AxFUCCI en la región anterior frente a la zona posterior fueron significativamente diferentes al ejecutar una prueba de Kolmogorov-Smirnov. Hasta 3 días después de la amputación, no se detectó significación estadística entre anterior y posterior en el G0/G1-AxFUCCI y S/G2-AxFUCCI (Figura 3.2 B, Figura 4 - Figura 3.3 A-D y Fi gura 3.4 A-D). Por el contrario, a los 4 y 5 días después de la amputación, los datos de GO/G1-AxFUCCI y S/G2-AxFUCCI revelaron una diferencia significativa entre las zonas anterior y posterior, consistente con la aparición de una zona de reclutamiento (Figura 3.2 B, Figura 3.3 E, F y Figura 3.4 E, F).

Crucialmente, medí el borde AP de los datos AxFUCCI obteniendo $-717 \pm 272 \mu m$ en relación con el plano de amputación a día 4 y $-446 \pm 112 \mu m$ a día 5, superponiéndose dentro de dos sigma con $-782 \pm 50 \mu m$ y $-710 \pm 62 \mu m$, que fueron los límites de reclutamiento predichos por nuestro modelo (Figura 3.2 B). Además, la apariención de la zona de reclutamiento entre los días 3 y 4 después de la amputación se condice con el reclutamiento de 85 horas en nuestro modelo. Por tanto, los animales AxFUCCI confirmaron el tiempo de aparición y el tamaño de la zona de reclutamiento previsto.

3.4 Las células en regeneración tienen una alta sincronía del ciclo celular in vivo

Mi modelo de acortamiento G1 (Figura 2.1 C y Figura 2.3 2) predice que las células ependimales en la zona de reclutamiento deben exhibir una alta sincronía entre sí en el ciclo celular durante la regeneración temprana, una propiedad que no ha sido investigada.

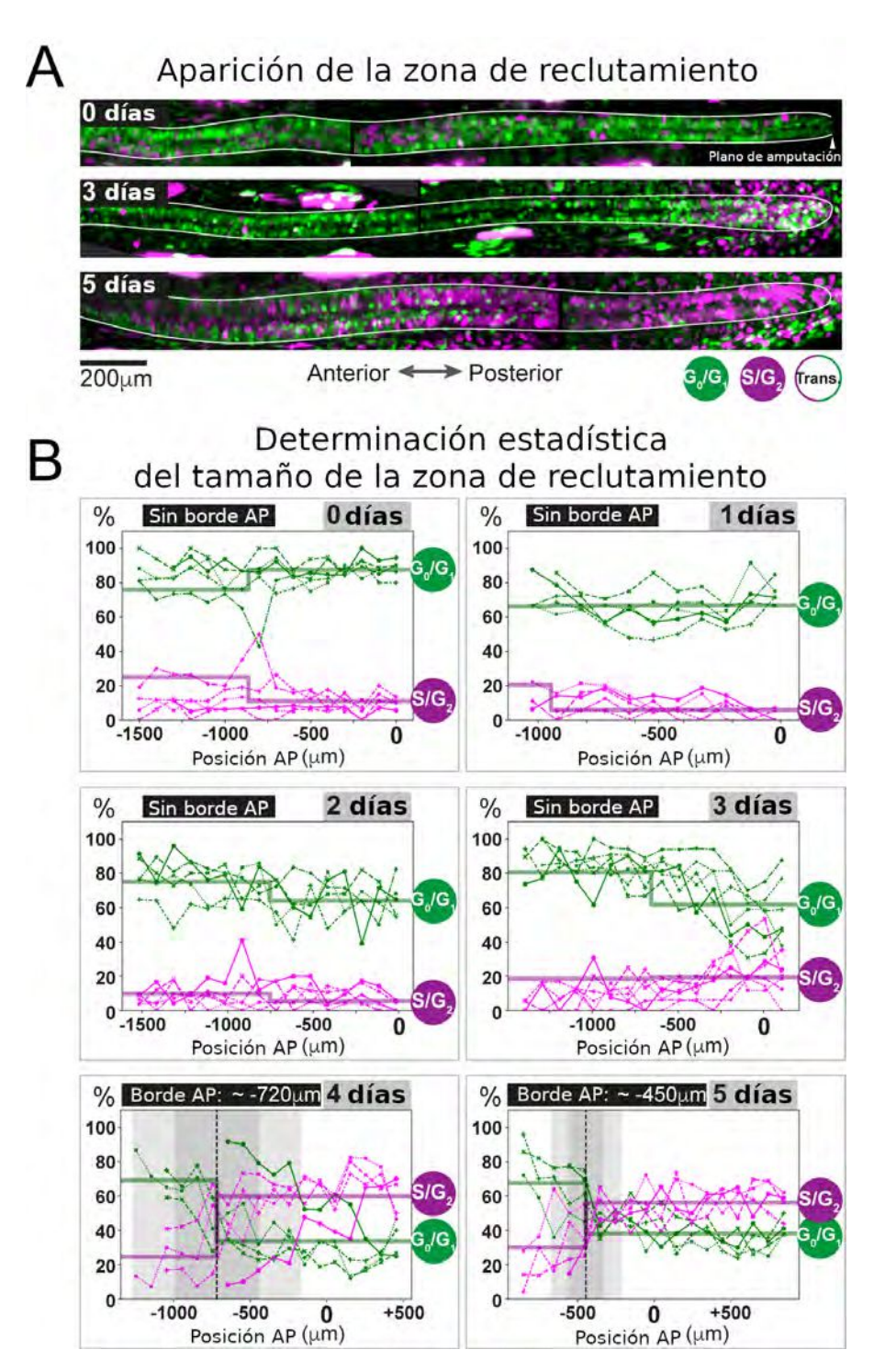


Figura 3.2: El tamaño de la zona de reclutamiento previsto se observa en las colas AxFUCCI después de la amputación.

Figura 3.2: A) Visualización de la zona de reclutamiento en colas AxFUC-CI. En la amputación, la mayoría de las células ependimales son positivas para G0/G1-AxFUCCI (verde). Después de la amputación, se observa una disminución en GO/GI-AxFUCCI y un aumento en la expresión de S/G2-AxFUCCI (magenta) anterior al plano de amputación y esta zona aumenta de tamaño anteriormente hasta el día 5 después de la amputación. La médula espinal está delineada. Las imágenes representan proyecciones de máxima intensidad a través de $30\mu m$ de tejido y son compuestos de dos campos de visión adyacentes. B) Cuantificación del borde AP que delimita la zona de reclutamiento en los datos de GO/G1 y S/G2-**AxFUCCI.** Porcentaje de células que expresan G0/G1 (en verde) y S/G2(en magenta) -AxFUCCI cuantificado en contenedores de 100µm a lo largo del eje anteroposterior de la médula espinal. Un modelo matemático que asume dos zonas adyacentes espacialmente homogéneas separadas por un borde anteroposterior (borde AP) se ajustó a los datos de GO/G1 y S/G2-AxFUCCI para cada animal. Se observaron diferencias significativas entre las zonas anterior y posterior detectadas solo en el día 4 y 5 (prueba de Kolmogorov-Smirnov p = 0.0286). La media del borde AP y dos sigmas son representado como una línea discontinua negra y áreas sombreadas en gris, respectivamente. La posición AP se define con respecto al plano de amputación $(0\mu m)$. n = 4-6 colas por punto de tiempo, aproximadamente 300 células cada una. Los diferentes símbolos representan diferentes animales; cada línea representa un animal. Los valores de mejor ajuste del modelo con respecto al porcentaje anterior y posterior de los datos de AxFUCCI se encuentran en la Figura 3.3. Los ajustes individuales se encuentran en la

Los axolotls AxFUCCI nos permitieron evaluar la posible sincronía del ciclo celular ependimal en la regeneración de la médula espinal.

Figura 3.4. Para más detalles, consulte la sección de Materiales y métodos.

Realicé una cuantificación más rigurosa de la distribución del ciclo celular de nuestra cantidad total datos en los que nos centramos en los $600\mu m$ de médula espinal inmediatamente anterior al plano de amputación, dentro de la zona de reclutamiento, y incluyendo también Transitiones-AxFUCCI (células de transición G1/S y G2/M) y células de fase M. En el momento de la amputación, $85\pm5\%$ de las células ependimales expresaron G0/G1-AxFUCCI y $11\pm6\%$ expresó S/G2-AxFUCCI (Figura 3.5 A). Observamos que esta línea de base difiere de la que informamos anteriormente en animales de control d/d más pequeños, pero encontramos esta tasa de proliferación basal más baja para ser consistente entre los animales en este estudio independientemente del genotipo (Figura B.4 A) (Rodrigo Albors et~al., 2015). Restricciones en la alimentación y/o cambios en el manejo de animales durante la pandemia de COVID-19 podría explicar esta diferencia. Como esperábamos, nuestro modelo podría ser robusto al perfil del ciclo celular de línea de base, recopilamos mediciones en estos animales para más análisis posteriores a este trabajo.

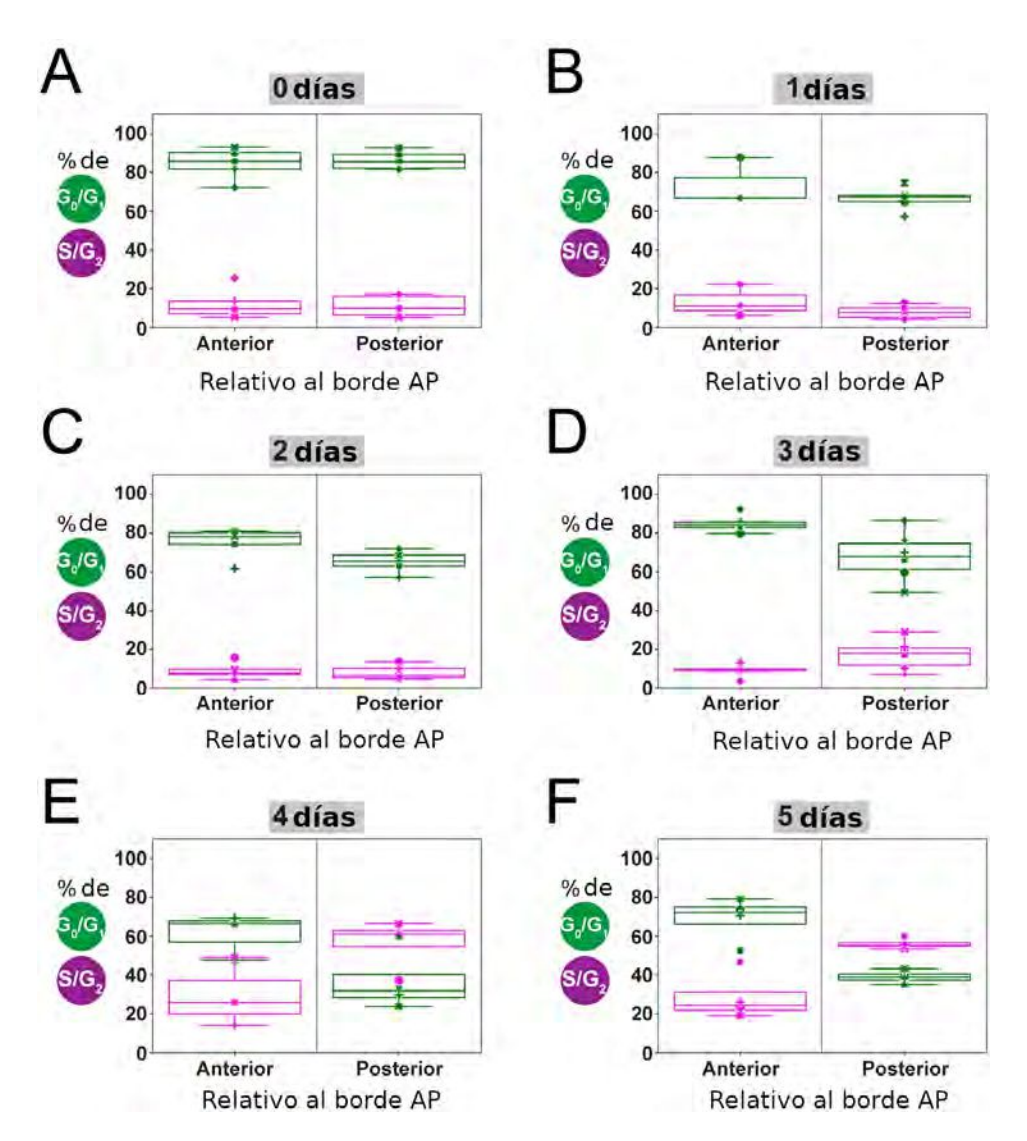


Figura 3.3: Estimación de los porcentajes anterior y posterior de células que expresan G0/G1-AxFUCCI y S/G2-AxFUCCI ajustado un modelo de dos zonas. Los puntos corresponden al valor de mejor ajuste de los parámetros $g0g1_a$, $g0g1_p$, $sg2_a$ y $sg2_p$ a los perfiles AP espaciales experimentales de de los porcentajes G0/G1-AxFUCCI (en verde) y S/G2-AxFUCCI (en magenta) que expresan las células para cada animal, en cada punto temporal (A-E). Cada símbolo identifica a un animal diferente (mismo criterio que en la Figura 3.2). Los diagramas de caja muestran que en el día 0 a 3 días después de la amputación, los valores anterior y posterior no son significativamente diferentes entre sí (A - D). Por el contrario, de día 4 y 5, los valores anterior y posterior son significativamente diferentes (E, F) (prueba de Kolmogorov-Smirnov p = 0,0286) (Materiales y método para más detalles).



Figura 3.4: Ajuste individual del modelo de dos zonas a los perfiles AP experimentales de los porcentajes de G0/G1-AxFUCCI y S/G2-AxFUCCI que expresan las células. Porcentaje de G0/G1 (en verde) y S/G2 (en magenta) de las células expresando AxFUCCI cuantificadas en contenedores de 100μm a lo largo del eje anteroposterior de la médula espinal. Modelo matemático asumiendo dos zonas adyacentes espacialmente homogéneas separadas por un borde antero-posterior (borde AP) que se ajustó a los datos de G0/G1 y S/G2-AxFUCCI para cada animal a tiempo 0 (A), 1 (B), 2 (C), 3 (D), 4 (E) y 5 (F) días después de la amputación. La posición anteroposterior se define con respecto al plano de amputación (0μm). Los mejores valores de ajuste del modelo con respecto al porcentaje anterior y posterior de los datos AxFUCCI se encuentran en la Figura 3.3 (Para obtener más detalles, consulte la sección de Materiales y métodos).

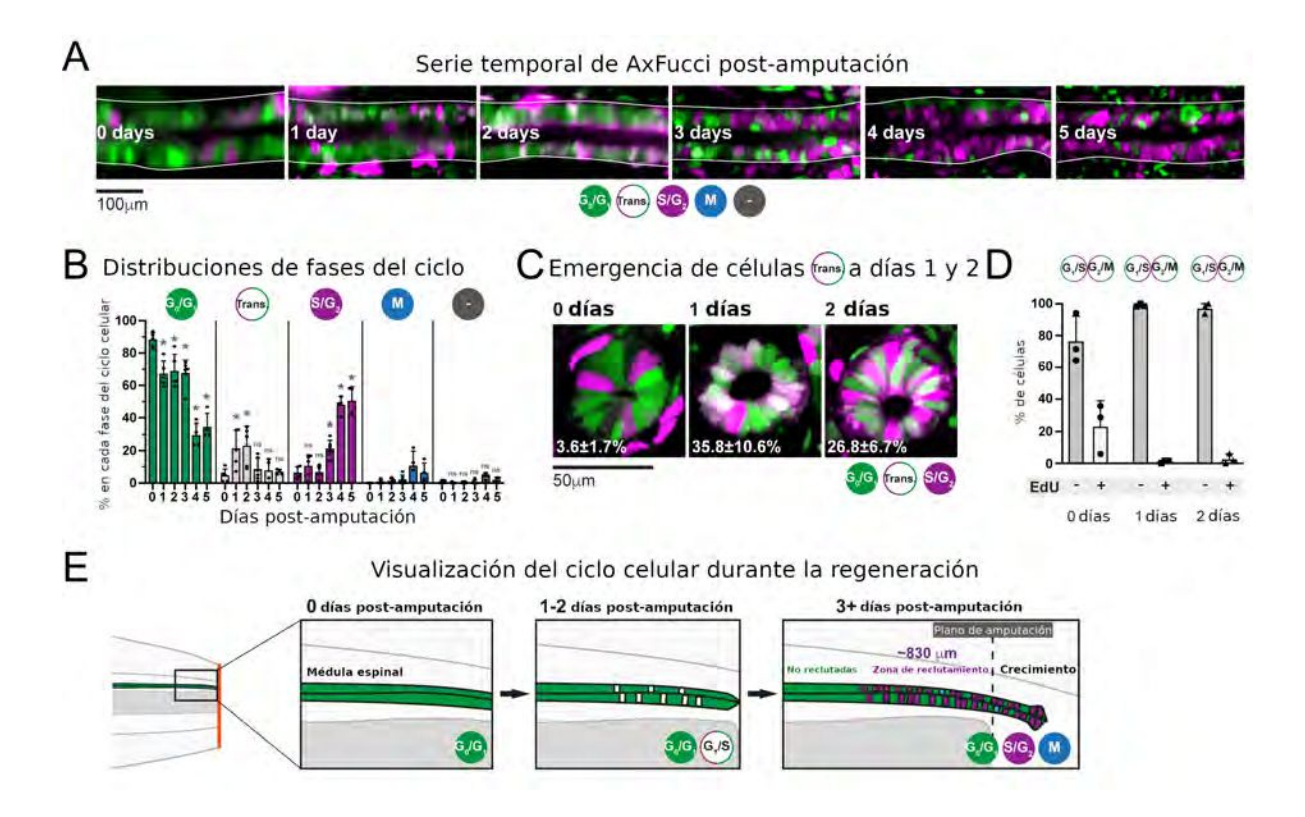


Figura 3.5: Las células ependimales exhiben sincronía del ciclo celular durante la regeneración de la médula espinal.

Después de la amputación, detectamos una caída significativa en las células ependimales que expresan G0/G1-AxFUCCI ya en el día 1. Recíprocamente, el número de células que expresan S/G2-AxFUCCI aumentó significativamente a partir de los 3 días y alcanzó el 50% en los días 4 y 5 después de la amputación, en comparación con una línea de base porcentaje por debajo del 10% (Figuras 3.5 A y B). Las células de la fase M comenzaron a aparecer notablemente desde el día 4, aunque no fue posible realizar análisis estadístico debido a la ausencia de células de fase M en muestras a tiempo 0 (Figura 3.5 B). Curiosamente, observamos una "ráfaga" breve y transitoria de células AxFUCCI de transición en los días 1 y 2 después de la amputación. El porcentaje de células Transition-AxFUCCI aumentó a $21 \pm 12\%$ y $23 \pm 12\%$ respectivamente durante esta ráfaga, antes de volver a disminuir al nivel de línea de base de $5 \pm 4\%$ a los 3 días (Figura 3.5 B). Confirmamos la precisión de estas cuantificaciones mediante la preparación y cuantificación de secciones de tejido de réplicas de médula espinal AxFUCCI (Figura 3.5 C y Figura B.6 A).

Transition-AxFUCCI podría corresponder a la transición G1/S o la transición G2/M (Figura 3.1 A). Se planteó la hipótesis de que las células en Transition-AxFUCCI a 1 y 2 días después de la amputación residían en la transición G1/S, ya que aparecieron entre la disminución de las células G0/G1-AxFUCCI en el día 1 y el aumento de células S/G2-

Figura 3.5: A) Distribuciones del ciclo celular de las células ependimales durante los primeros cinco días de regeneración en los 600µm mas posteriores. Proyecciones de máxima intensidad a través de 25µm de médula espinal orientada de anterior a izquierda y posterior a derecha. Médula espinal delineada. El lumen está en el centro. Las células en mitosis (M) se contaron independientemente de AxFUCCI y se identificaron en función de su condensación de cromatina revelada por tinción con DAPI (no mostrado). "-" indica células AxFUCCI-negativas, que fueron insignificante en todos los momentos. n = 4-6 colas por punto de tiempo, aproximadamente 100 células cada una. Las barras de error indican desviaciones estándar. B) Datos AxFUCCI separados por fase del ciclo celular. Los datos cuantitativos del panel A. Datos a día 0 (inmediatamente después de la amputación) se tomaron como referencia y se realizaron análisis estadísticos contra estas líneas de base. Las pruebas de Kruskal-Wallis seguidas de las pruebas de suma de rangos de Wilcoxon revelaron una disminución significativa en GO/G1-AxFUCCI desde 1 día después de la amputación (p = 0.02) y un aumento significativo en S/G2-AxFUCCI a partir de 3 días después de la amputación amputación (p = 0.02). ANOVA unidireccional seguido de la prueba HSD de Tukey reveló un aumento significativo en las células Transición-AxFUCCI 1 y 2 días después de la amputación (p = 0.04 y 0.02 respectivamente), pero no en los días posteriores a la amputación (p > 0.99). Células mitóticas ausentes en las muestras de 0 días. El porcentaje de células AxFUCCI-negativas fue insignificante y no cambió en ningún momento (p = 0.40, suma de rangos Wilcoxon). Cada punto representa datos de una cola. Las barras de error indican desviaciones estándar. ns: estadísticamente no significativo. C) Se confirmó la aparición de células Transition-AxFUCCI 1 y 2 días después de la amputación en secciones de tejido. Imágenes confocales de un solo plano de secciones transversales de tejido de $10\mu m$ de espesor fijadas en el tiempo indicado después de la amputación. Los porcentajes indican el porcentaje de células Transición-AxFUCCI en cada punto de tiempo (media \pm desviación estándar). n = 3 colas por punto de tiempo, aproximadamente 400 células contadas en cada una, lo que corresponde a aproximadamente 750µm de médula espinal. D) Las células que expresan AxFUCCI de transición 1 y 2 días después de la amputación residen en la transición G1/S. Después de 8 horas (0 días) o pulso EdU de 24 horas (1 y 2 días), solo las células G2/M deben etiquetarse con EdU. > 97% de las células Transición-AxFUCCI fueron negativas para EdU en 1 y 2 días después de la amputación, lo que indica que residen en la transición G1/S. n = 3 colas por punto de tiempo. Un total de 36, se ensayaron 442 y 315 células Transición-AxFUCCI 0, 1 y 2 días después de la amputación, respectivamente. E) Dinámica del ciclo celular durante la regeneración de la médula espinal axolotl.

AxFUCCI en el día 3. Para confirmar esto, sometimos a los animales AxFUCCI a un pulso de EdU durante 24 horas inmediatamente antes de la recolección de las cola a los 0, 1 o 2 días después de la amputación. En este ensayo, las células Transition-AxFUCCI que incorporan EdU deben estar en G2/M, mientras que las que no incorporan EdU deben estar en G1/S (Figura B.6 B). De acuerdo con nuestras expectativas, las células Transition-AxFUCCI a 1 y 2 días después de la amputación fueron casi en su totalidad negativos para EdU y, por lo tanto, residían en G1/S (Figura 3.5 D y B.6 C, D).

En resumen, AxFUCCI reveló la siguiente dinámica del ciclo celular durante la regeneración (resumida en Figura 3.5 E). La mayoría de las células ependimales de la médula espinal ilesa residen en la fase G0/G1 del ciclo celular. Después de la amputación de la cola, las células ependimales comienzan a salir de G0/G1 dentro del primer día de la amputación, transitan por G1/S en los días 1 y 2, ingresan en S/G2 desde el día 3 en adelante y sufren mitosis desde el día 4. El hecho de que estos comportamientos se observen fácilmente a nivel de población indican un alto nivel de sincronía entre células ependimales en la zona de reclutamiento. La transición G1/S actúa como un discreto hito en el ciclo celular en el que esta sincronía se puede inferir de forma fiable. Las células de Transition-AxFUCCI son muy raras (5%) en el momento de la amputación. Tomamos el aumento de 4,5 veces en las células que expresan Transition-AxFUCCI en días 1 y 2 después de la amputación como una fuerte indicación de sincronía del ciclo celular durante la regeneración de la médula espinal temprana, una predicción clave de nuestro modelo.

3.5 Una convergencia en la respuesta regenerativa de distintas líneas de base

Las cuantificaciones de AxFUCCI validaron predicciones clave de mi modelo en términos del tamaño de la zona de reclutamiento de células ependimales y la demostración de alta sincronía del ciclo celular durante la respuesta regenerativa. Nos intrigó que estos acuerdos ocurrieran a pesar de una diferencia significativa en las condiciones iniciales del ciclo celular (día 0) entre los animales AxFUCCI de nuestros experimentos y mi modelo, que se basó en datos descrito en (Rodrigo Albors et~al.~2015). Los animales AxFUCCI tenían un tamaño de 5,5cm desde el hocico hasta la cola y, el día de la amputación, $11\pm6\%$ de las células ependimales expresaron S/G2-AxFUCCI. En contraste, mi modelo fue parametrizado utilizando medidas adquiridas de 3cm, axolotl no transgénico, en el que el porcentaje inicial de células en fase S fue cuatro veces mayor, como se infiere del marcador acumulado BrdU (Rodrigo-Albors et~al.,~2015). A pesar de estas diferencias, encontramos que la velocidad de regeneración del tejido de la médula espinal es similar en los dos conjuntos de datos (Figura B.4 B). Esto podría reflejar un convergencia en la respuesta regenerativa a nivel del ciclo celular.

Ahondé aún mas la investigación sobre la cinética de esta convergencia utilizando nuestro modelo para generar simulaciones diarias de la distribución espacial de las células

en la fase G1 o S y comparar estas simulaciones con las cuantificaciones de la fase del ciclo celular realizadas a partir de los animales AxFUCCI (Figura 3.6 A-D). Validé las simulaciones probando dónde y cuándo las células ependimales dejarían la fase G1 para ingresar a fase S y se descubrió que, como era esperado, las transiciones simuladas de G1 a S eran más frecuentes después del límite de reclutamiento derivado experimentalmente (Figura 3.6 E), que en el día S y se superponen con los límites S0 determinados. En consecuencia, las divisiones celulares simuladas (fase S1) exhiben un patrón similar (Figura 3.7).

Comparé las simulaciones del modelo con los datos de AxFUCCI. Como se señaló, las condiciones del ciclo celular en día 0 difieren entre los experimentos AxFUCCI y mi modelo, pero coinciden cuantitativamente en el día 4 después de la amputación (Figura 3.6 A-D). Descubrimos que la apariención de la zona de reclutamiento ocurre más tarde en los animales AxFUCCI (días 4-5) que en las simulaciones (día 2). Sin embargo, una vez que la zona de reclutamiento evidente en los datos de AxFUCCI, su tamaño en el día 4 y 5 es comparable al predicho por las simulaciones. Por lo tanto, la zona de reclutamiento en la médula espinal AxFUCCI se manifiesta más sincrónica y rápida que en las simulaciones, en las que aumenta gradualmente de tamaño en una dirección anteriora-posterior de los días 2 a 4. Esto es probablemente es una consecuencia de la mayor cantidad de células G0/G1 en los animales AxFUCCI en los días 0-2 en comparación con el modelo, que incurre en un colectivo (pero relativamente sincrónico) retraso en la entrada de la fase S (manifestación de la zona de reclutamiento). Nuestros datos revelan dos trayectorias constrastando hacia el logro de una salida regenerativa común.

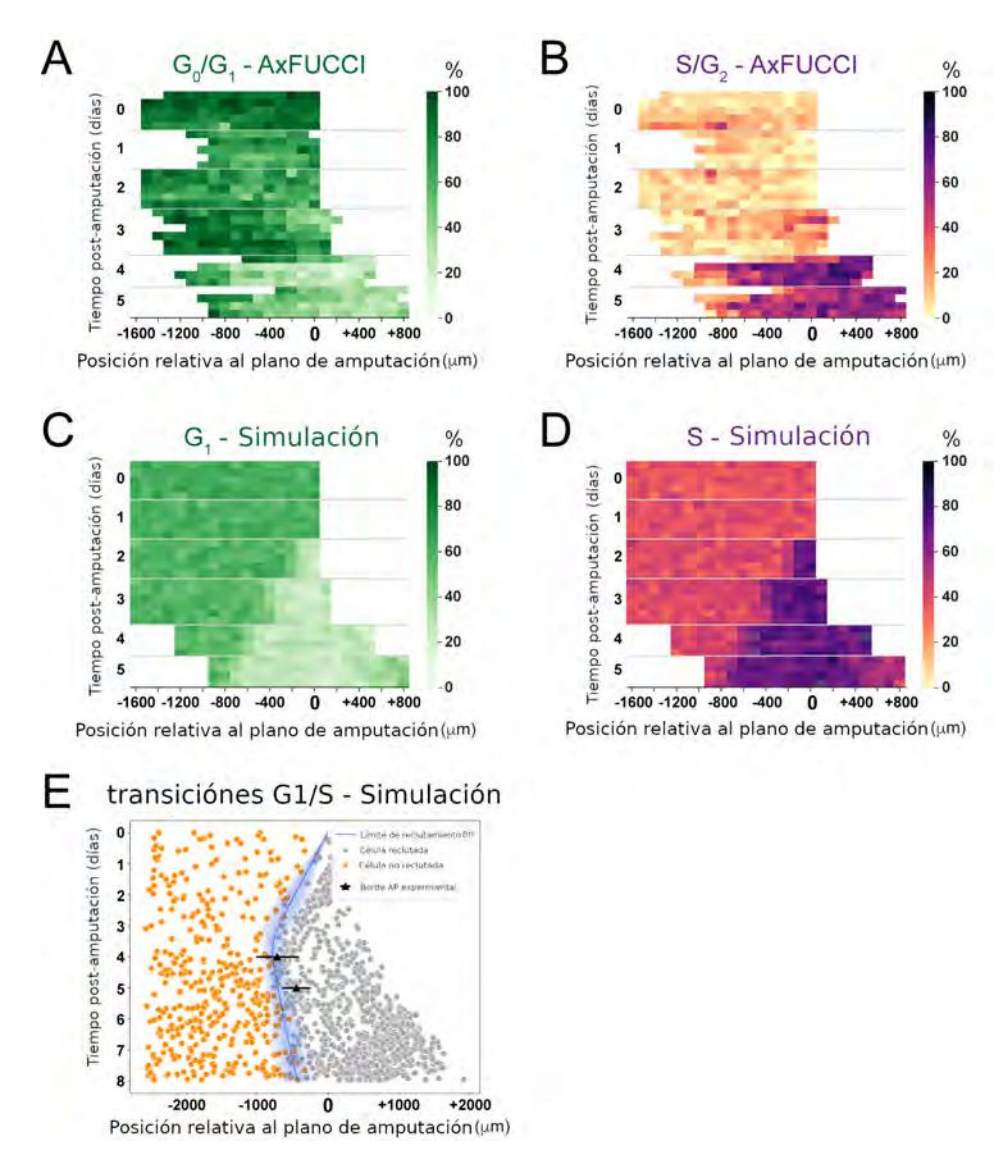
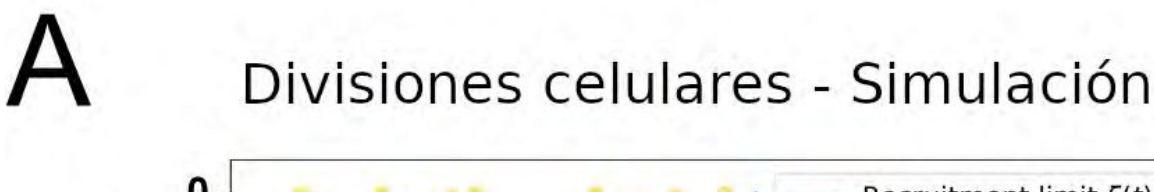
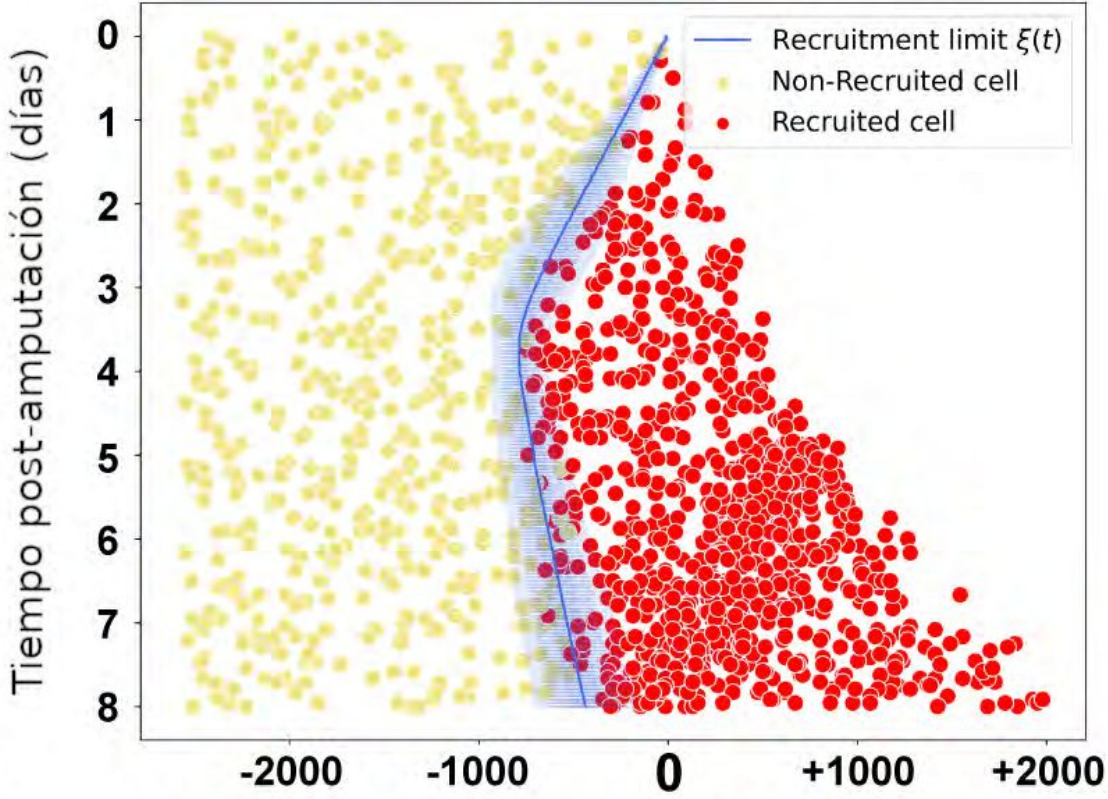


Figura 3.6: Mapas de calor que representa la distribución espacio-temporal de las células G0/G1-AxFUCCI (A), células S/G2-AxFUCCI (B), células predichas por el modelo en la fase G1 (C) y fase S (D). Los ejes x representan la posición AP con respecto al plano de amputación (posición AP = 0μm). Los ejes y representan el tiempo (días) luego de la amputación y las réplicas tanto experimentales como simuladas dentro de cada punto de tiempo. Los códigos de color corresponden al porcentaje de células en la fase correspondiente. Los datos de las células Transición-AxFUCCI están en Figura 3.8. (E) La ocurrencia de transiciones G1-S predicha por el modelo es más frecuente dentro de la células reclutadas (círculos grises) en comparación con las células no reclutadas (cruces naranjas). En los días 4 y 5, el límite de reclutamiento se superponen con los bordes AP. Se muestran simulaciones de 10 semillas independientes y el modelo está parametrizado como en la Figura 2.7.





Posición relativa al plano de amputación (µm)

Figura 3.7: Modelado de distribuciones espaciotemporales de las divisiones de células ependimales durante la regeneración de la médula espinal del axolotl. La ocurrencia de divisiones celulares predicha por el modelo es más a menudo dentro de los reclutados (rojo cruces) en comparación con las células no reclutadas (círculos amarillos), donde las células reclutadas y no reclutadas son separadas por el límite de reclutamiento $\xi(t)$. El modelo está parametrizado como en la Figura 2.7 y la Figura 3.6C-E.

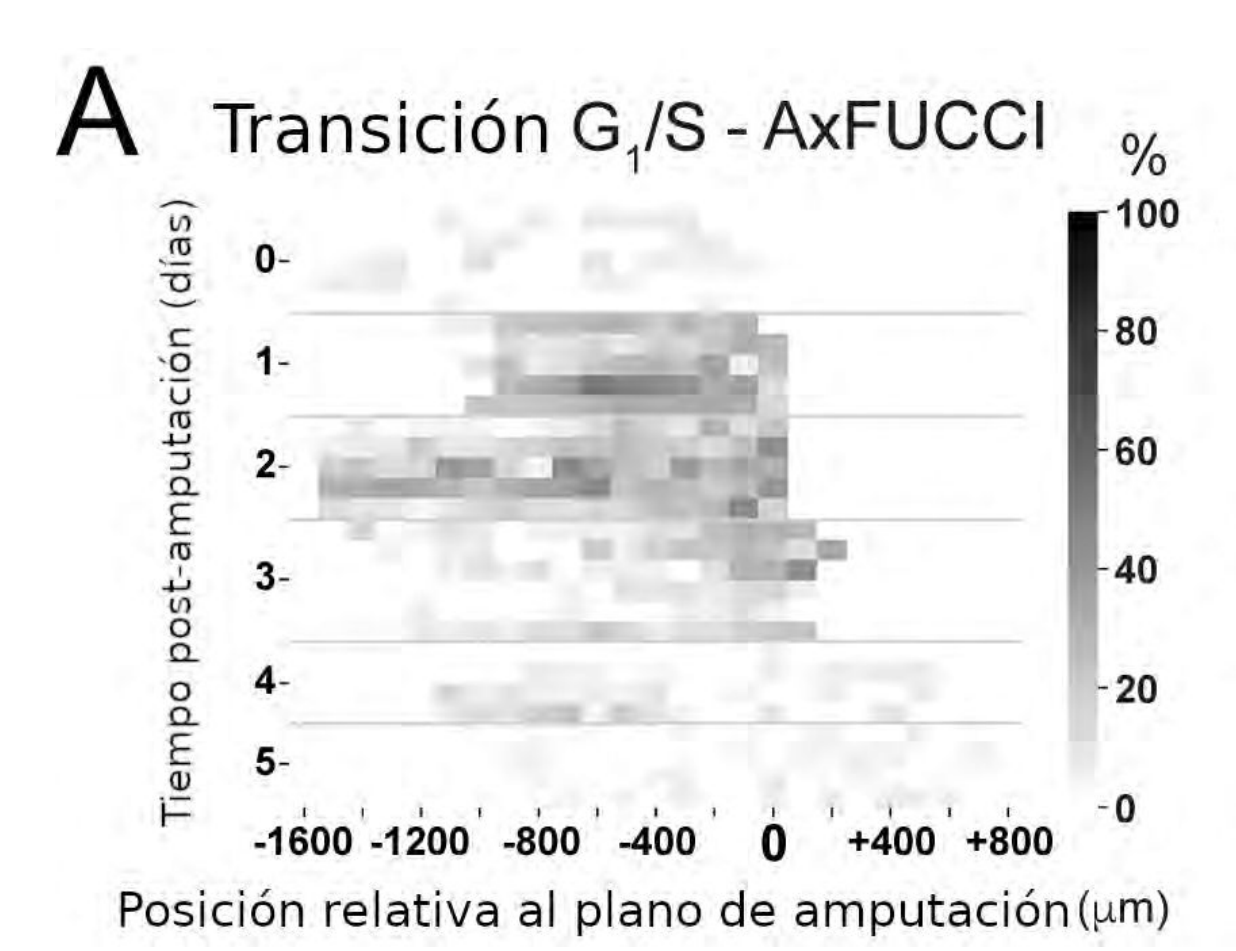


Figura 3.8: Distribuciones espacio-temporales de las células AxFUCCI de transición durante la regeneración de la médula espinal del axolotl. Mapas de calor que representan la distribución espacio-temporal experimental de las células Transition AxFUCCI. La posición anteroposterior (AP) se representa horizontalmente con respecto al plano de amputación (posición $AP = 0\mu m$). En el eje vertical, se muestra el tiempo luego la amputación (tiempo = 0 días) y las réplicas experimentales dentro de cada tiempo. El código de color corresponde al porcentaje de células Transición-AxFUCCI. El aumento de las células AxFUCCI de transición en el día 1 y 2 después de la amputación se observa fácilmente.

CAPÍTULO 4

Sincronización inducida por el reclutamiento y sincronización pre-existente a la amputación: predicciones del modelo 1D

Un minuto que pasa es irrecuperable. Conociendo esto, ¿cómo podemos malgastar tantas horas?

—Mahatma Gandhi

4.1 Sincronización en la fase G1 al momento del reclutamiento

En el capítulo anterior se validaron las predicciones del modelo unidimensional de la médula espinal del axolotl a través de la técnica FUCCI. Como emergente del modelo propuesto se tiene una sincronización de las células que se encuentran en la fase G1 temprana y media del ciclo largo al momento del reclutamiento. Al momento en que la señal haga efecto sobre las células, estas se sincronizarán al principio de la fase G1 en el ciclo corto. Con el objetivo de estudiar el papel de esta sincronización, realicé una nueva variante del modelo 1D, en la cual, en lugar de experimentar una sincronización a nivel de la fase G1, las células son mapeadas proporcionalmente, en un mecanismo similar al que implemento en la fase S. En la figura 4.1 reporto el resultado de las simulaciones del crecimiento de la médula espinal para esta nueva variante del modelo y lo comparo

con la variante del modelo de sincronización parcial en la fase G1 y mapeo proporcional de S junto, además, con el escenario sin reclutamiento celular. Los resultados indican que no existen diferencias significativas entre esta nueva variante del modelo de mapeo proporcional en la fase G1 y la anterior variante del modelo de sincronización parcial en G1 dentro de un desvío estándar, concluyendo que la sincronización parcial a nivel de la fase G1 no es necesaria para explicar, al menos, el crecimiento experimental de la médula espinal del axolotl.

Si nos ponemos en la situación de una célula al principio de la fase G1 en el ciclo largo, iremos a parar, luego del reclutamiento, al principio de la fase G1 en el ciclo corto. Esto ocurre en ambas variantes del modelo, tanto para el mapeo proporcional de G1 como para la sincronización parcial de G1. Si una célula se encuentra al final de la porción evitable de la fase G1 en la variante de sincronización parcial terminará igualmente al principio del ciclo corto de la fase G1. Por otra parte, si una célula se encuentra en esa misma posición en la variante del modelo con mapeo proporcional de la fase G1, esta será mapeada proporcionalmente al ciclo corto, obteniéndose una mayor aceleración de la fase G1 respecto a la variante de sincronización parcial. De esta manera, uno podría obtener cuanto tiempo se ahorrará una célula en las dos variantes del modelo dependiendo de la posición inicial en el ciclo celular largo (Figura 4.2 A) y, asimismo, calcular la diferencia de aceleración que se espera entre las dos variantes del modelo (Figura 4.2 B). Cuando se comparan de esta forma las dos variantes del modelo, nos encontramos con un ahorro considerable en el tiempo de tránsito por la fase G1 que, por otro lado, no se ve reflejado en el crecimiento de la médula espinal como se muestra en la Figura 4.1.

Luego estudié cómo es la distribución de células en fase G1 y en fase S (Figura 4.3A) y B, respectivamente) como función del tiempo y el espacio. Se evidencia que las células salen antes de G1 entre día 0 y día 1 para el modelo de mapeo proporcional, mientras que en el modelo de sincronización las células salen de G1 recién para el día 2. En el mismo sentido, las células entran entre día 0 y día 1 a fase S en el modelo de mapeo proporcional mientras que en el modelo de sincronización parcial entran a fase S recién a día 2. Por otra parte, las células más cercanas al extremo posterior de la médula espinal a día 5 vuelven a entrar en fase G1 en forma sincronizada en el modelo de mapeo proporcional mientras que continúan en fase S en el modelo de mapeo proporcional. Los datos experimentales, por su parte, reflejan una situación similar a la observada en el modelo de sincronización parcial: las células salen de la fase G1 para entrar en la fase Srecién entre día 2 y 3. Adicionalmente, a día 5, las células en el extremo posterior de la médula espinal continúan en fase S, no llegando a entrar nuevamente en G1 antes que finalice el día 5. La observación de los resultados parecen reflejar que es necesaria una sincronización a nivel del ciclo celular durante el reclutamiento para explicar el número de células que se encuentran la fase G1 y la fase S del ciclo celular en tiempo y espacio en los primeros 5 días de la regeneración de la médula espinal del axolotl.

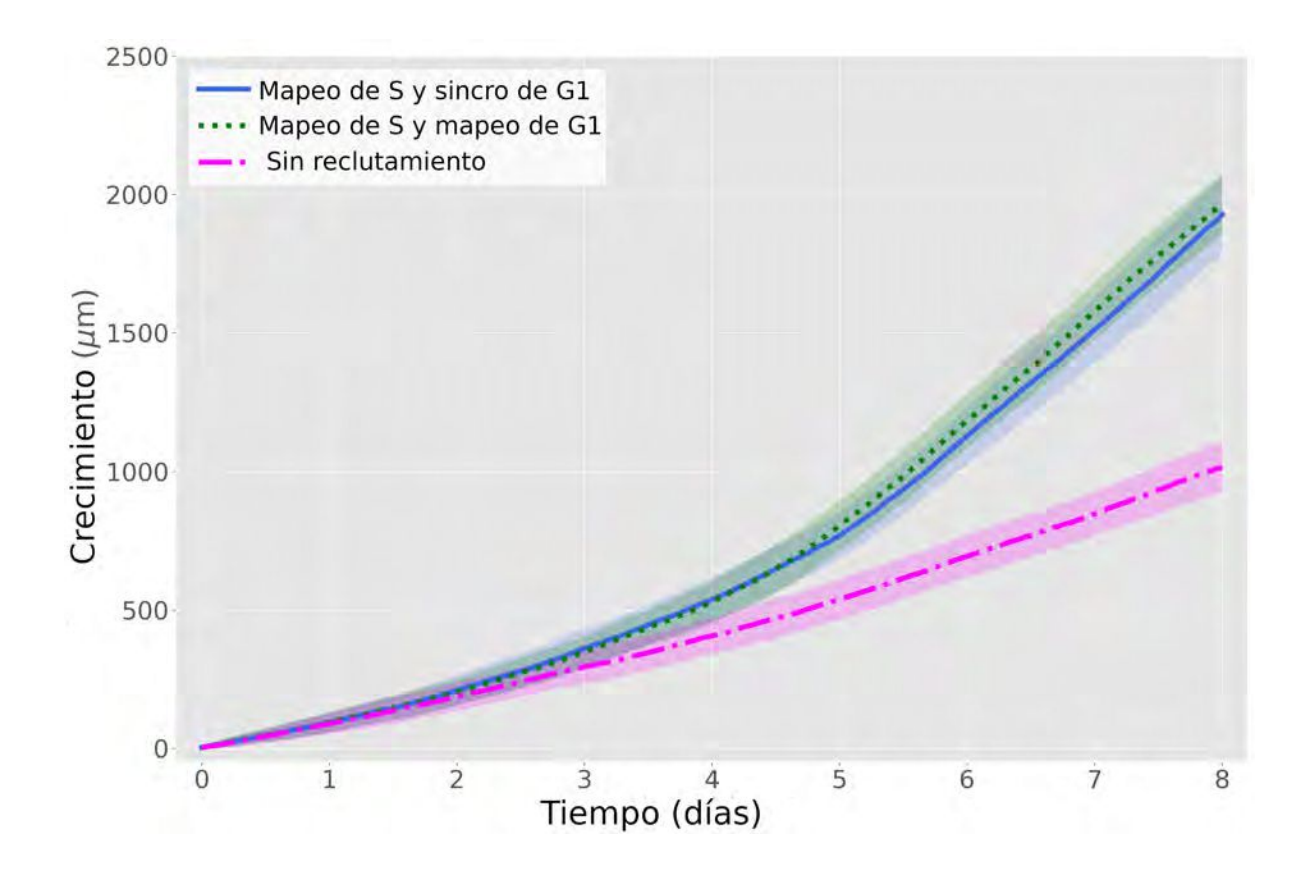


Figura 4.1: No existen diferencias significativas entre las dos variantes de acortamiento de la fase G1 para el modelo dentro de un desvío estándar. El crecimiento para la variante de mapeo de la fase G1 se encuentra por encima del crecimiento para la variante de sincronización parcial de la fase G1 a partir de día 5. De cualquier manera, no existen diferencias significativas para las dos variantes dentro de un desvío estándar.

4.2 Sincronización en la condición inicial

En la sección anterior exploré el efecto de la sincronización como consecuencia del reclutamiento de las células por la señal. Mi modelo asume otra sincronización, además, en la condición inicial dada por la posición en la que se encuentran las células a lo largo de su ciclo celular inmediatamente después de la amputación. En otras palabras, cada célula tiene una cierta edad dentro de su ciclo celular, $C_i(x_i,t)$, definida como una coordenada a lo largo del ciclo celular o reloj $(0 \le C_i(x_i,t) < T_i(x_i,t))$. En la condición inicial, cada célula que se encuentra cíclando tiene una edad aleatoria $C_i(x_i,t=0) = C_i^0$ a lo largo de la longitud del ciclo celular en particular, donde la distribución de C_i^0 viene dada por

 $(\frac{\ln 2}{T_i(x_i,t)})2^{1-\frac{pC_i^0}{T_i(x_i,t)}}$. En esta sección exploraré las consecuencias de modificar esta condición inicial variando el parámetro p, el cuál permite regular esta sincronización al inicio de

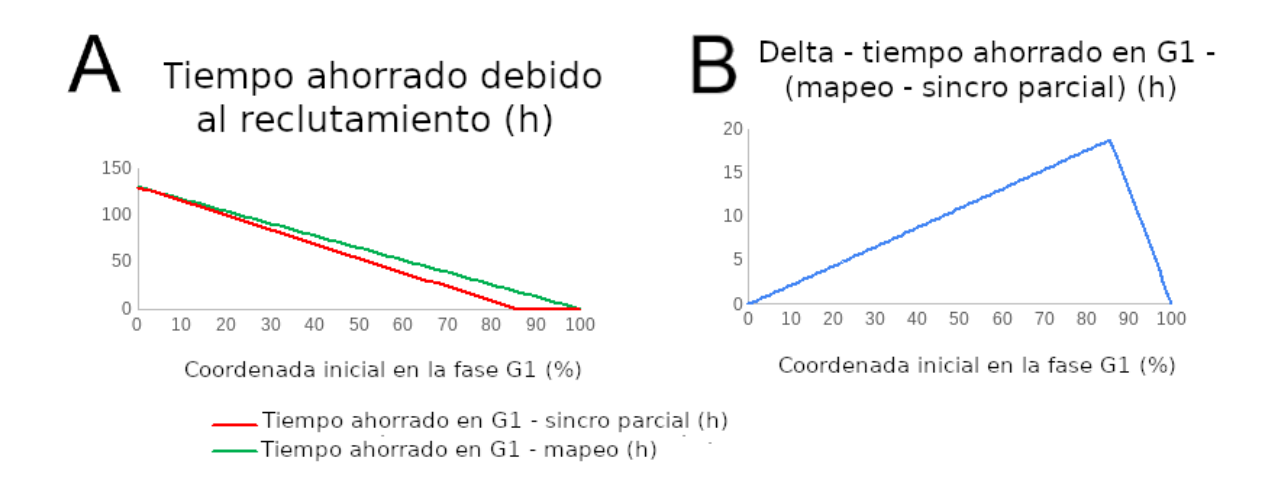


Figura 4.2: Las células en la fase G1 experimental presentan una mayor aceleración para el modelo de mapeo en comparación con el de mapeo proporcional de la fase G1. A) El tiempo ahorrado (en horas) para una célula en función de la posición inicial en la fase G1 del ciclo celular es mayor para el modelo de mapeo de la fase G1 cuando se lo compara con el modelo de sincronización parcial. Esta diferencia se incrementa hasta un máximo (85% de la coordenada incial de la fase G1 larga) correspondiente al inicio de la fase evitable de la G1 en el modelo de sincronización parcial.

B) Aceleración de una célula en la fase G1 para el modelo de mapeo respecto al modelo de sincronización parcial.

las simulaciones (Figura 4.4). En el extremo de p=0 se tiene una distribución uniforme, mientras que a medida que se aumenta el valor de p la distribución se vuelve exponencial, con una caída más pronunciada a medida que p se hace más grande. Finalmente, p=1 corresponde al caso de una distribución de estado estacionario.

Cuando p=0, se obtiene un escenario donde no existe sincronización en la condición inicial que corresponde a una distribución uniforme de las células a lo largo del ciclo celular en todo el tejido. En este escenario, el crecimiento de la médula espinal es sobrestimado por el modelo para todos los tiempos (Figura 4.4). En los casos p=1 y p=2, la predicción mejora: p=1 reproduce mejor los datos experimentales a tiempos largos pero sobrestima demasiado el crecimiento a tiempos cortos, en cambio p=2, genera una predicción del crecimiento más fiel a los datos experimentales, tanto para tiempos cortos como para tiempos largos (Figura 4.4). En estos dos casos existe sincronización de las células: un mayor número de ellas se encuentran en fase G1 dado que la distribución es más pesada más al principio del ciclo celular que al final de este. Por último, cuando se tiene p=3, la sincronización es aún mayor. En esta variante del modelo hay un gran número de células en G1 y un número muy pequeño de células en fase S en la condición inicial. Como consecuencia de esto, el número de células que dividen al principio de la simulación, es decir tiempos cortos, será más pequeño, reproduciendo

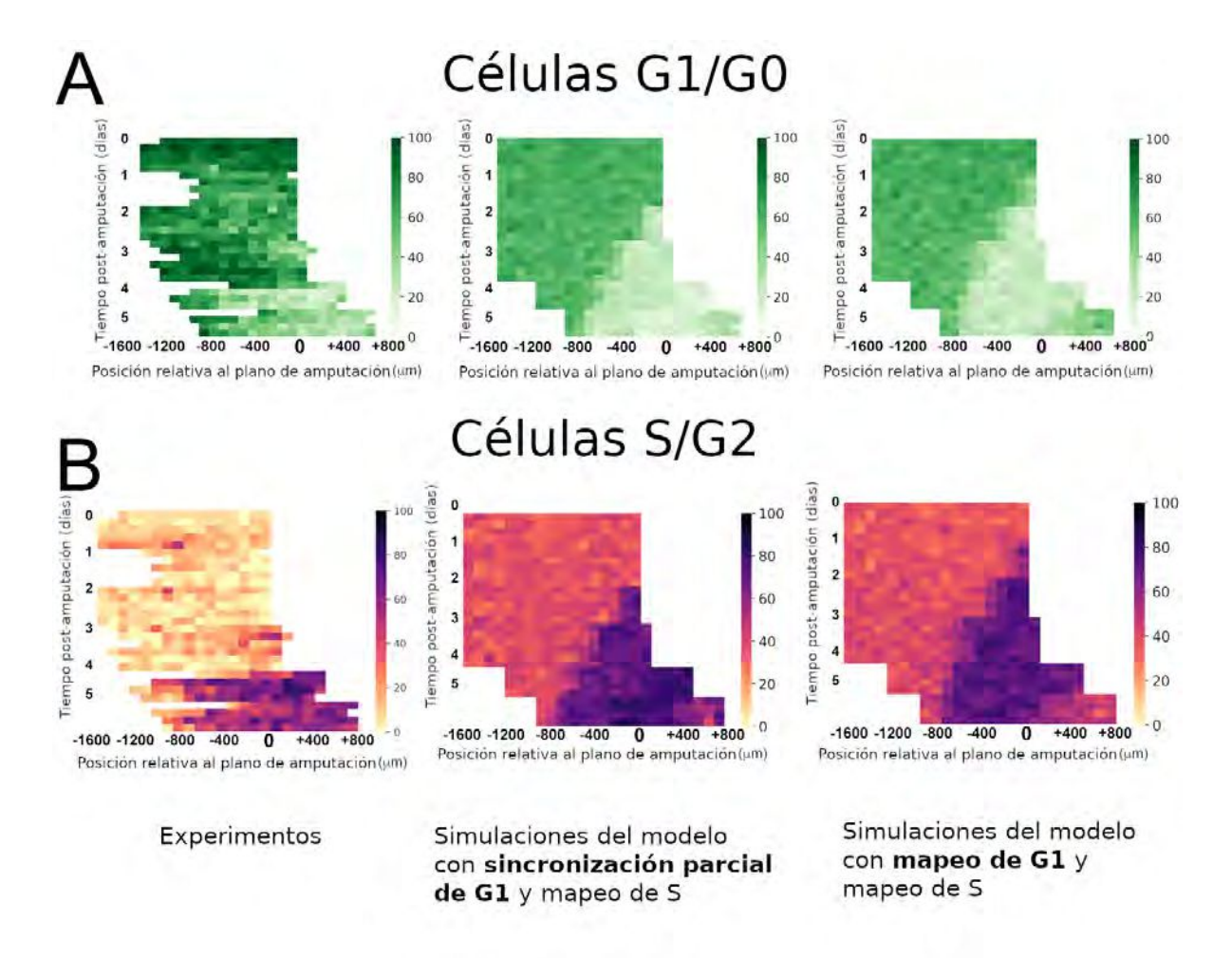


Figura 4.3: El modelo de sincronización parcial de G1 refleja mejor que que el modelo de mapeo de G1 los datos experimentales. A y B) Al comparar con los datos experimentales con el modelo de mapeo de la fase G1 se observa que las células salen de la fase G1 y entran en fase S prematuramente (día 1) y, como consecuencia de esto, salen de fase S e ingresan nuevamente a fase G1 también antes de lo previsto (día 5). La predicción del modelo de sincronización parcial de la fase G1 resulta ser más fiel a lo esperado por los datos experimentales.

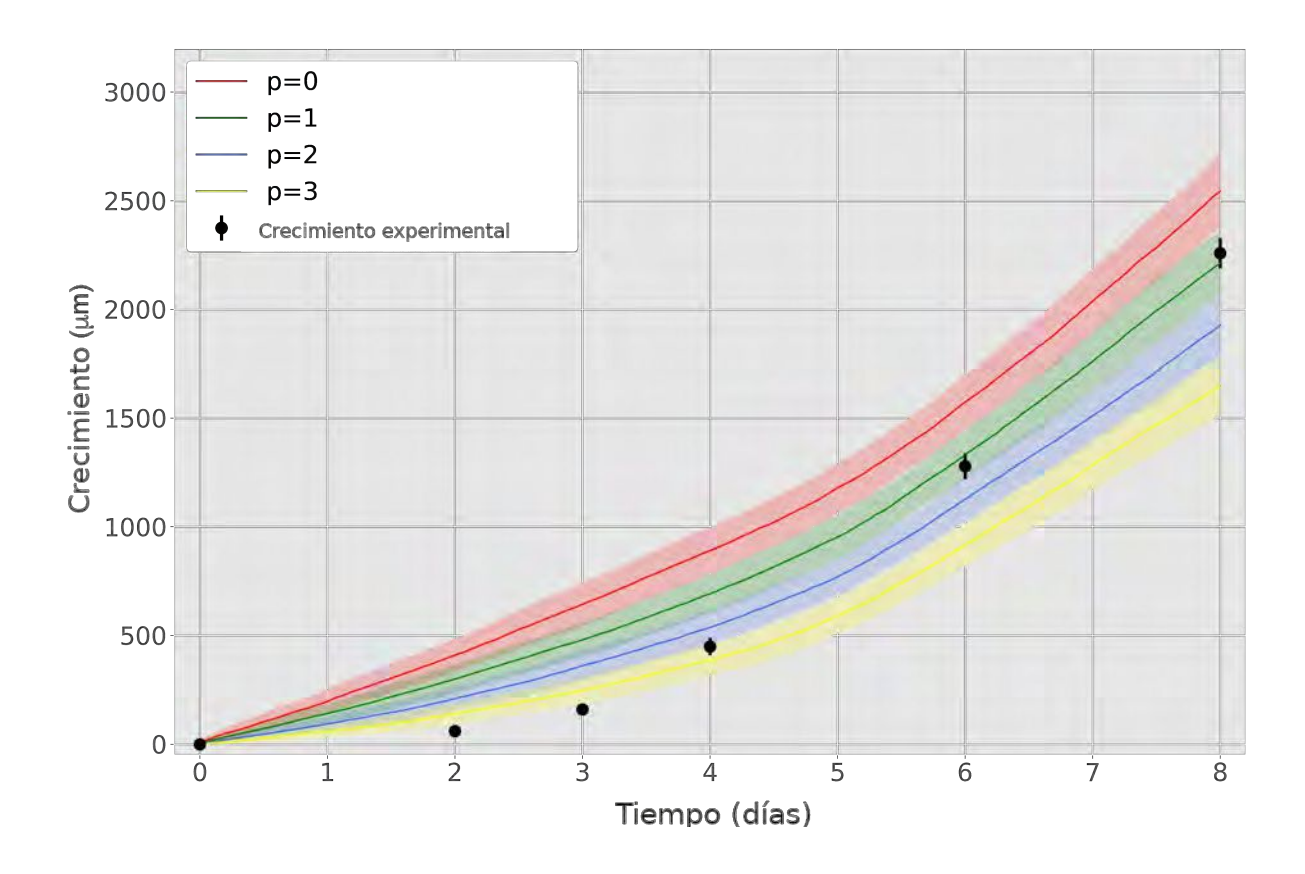


Figura 4.4: Una sincronización nula o muy baja (p = 0 y p = 1) llevan a una sobrestimación del outgrowh a días cortos, mientras que una sincronización alta (p = 3) lleva a una subestimación del ougrowth a días largos. Cuando las células se encuentran muy sincronizadas en la fase G1 el número de células que llegan a dividir hasta los 8 días es demasiado bajo, no alcanzando a recuperar el crecimiento a 8 días. En el otro extremo, si la sincronización en la fase G1 es baja nos encontramos con un mayor números de células en la fase S, las cuales dividen muy pronto dando un crecimiento superior al esperado entre los días 1 y 4. De esta situación de compromiso se obtiene que un valor de p = 2 es el que mejor predice el crecimiento en los 8 días simulados.

mejor el crecimiento a tiempos cortos que en los casos anteriores. Por otra parte, dado que es muy grande el número de células que se encuentran inicialmente en fase G1 y que no llegarán a dividir en los tiempos de simulación, se observa una subestimación grande del crecimiento a tiempos largos (Figura 4.4). En resúmen, podemos concluir que es necesaria una sincronización en la condición inicial pero que esta sincronización no debe ser excesivamente alta de forma de poder reproducir exitosamente los datos experimentales del crecimiento la médula espinal del axolotl.

A continuación me pregunté cuales son las consecuencias de la sincronización en la condición inicial sobre el número de células en fase G1 y fase S (figura 4.5) en tiempo y espacio. Los resultados más interesantes tienen que ver con el comportamiento de la región no reclutada, es decir, alejado del plano de amputación. p=0, me encontré con que el número de células en fase G1 aumenta con el tiempo en esta región. En esta situación, estamos lejos de la situación de estado estacionario: el número de células en fase G1 es menor que la del estado estacionario y el número de células en fase S es mayor a la del estado estacionario. Como consecuencia de esto, puede verse un aumento de la proporción de células en G1 y una disminución de la proporción de células en S. Para las variantes con p=1 y p=2, las células en la zona no reclutada se encuentran cerca del estado estacionario y como consecuencia la proporción relativa de células en fase G1 y fase S no varía demasiado. Por último, en el caso de p=3 nos encontramos con un escenario opuesto al de p=0, el número de células en la zona no reclutada en fase G1 es muy grande y comienza a disminuir a medida que avanza la simulación mientras que el número de células en fase S aumenta. Será interesante aprender de nuevos datos experimentales en condiciones de crecimiento y a tiempos más largos que ocurre con la proporción de células en fase G1 y fase S, con el objeto de saber si las células en la zona no reclutada se encuentran en estado estacionario, o si por el contrario, existe algún tipo de oscilación en la proporción de las fases lejos del plano de amputación.

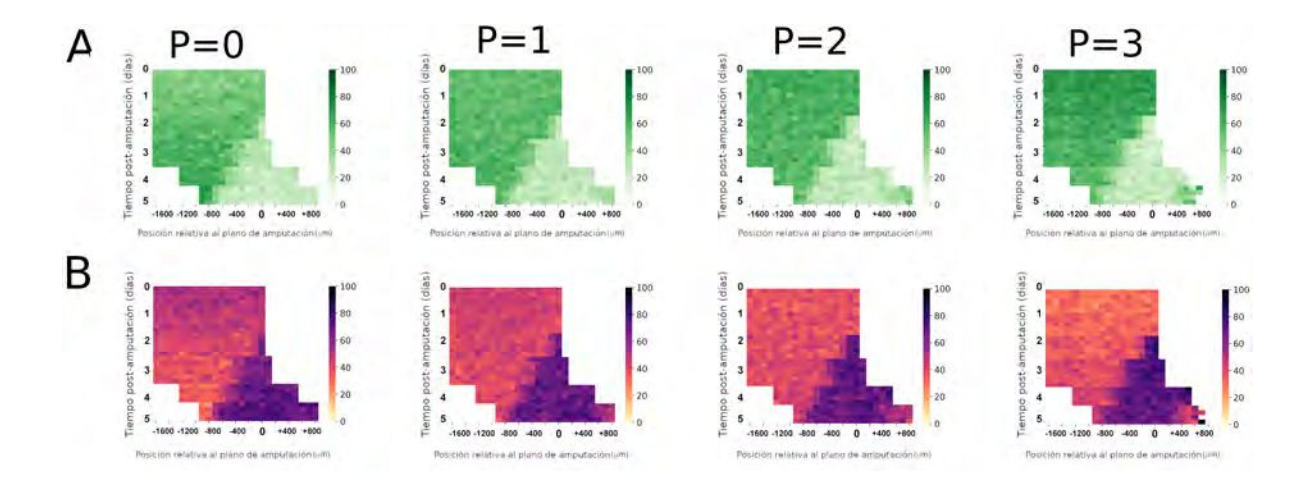


Figura 4.5: La sincronización en la condición inicial afecta las proporciones de células en la fase G1/G0 y S/G2 a lo largo de la simulación. A y B) Un grado de sincronización muy bajo en la condición inicial p=0 lleva a un cambio notable en las proporciones de células tanto en (A) como en (B) especialmente en la zona región no reclutada, las células salen de la fase S para entrar en G1 a lo largo de la simulación. Análogamente en el extremo de alta sincronización p=3, las células salen de G1 para entrar en fase S en la zona no reclutado a medida que transcurre la simulación. Por su parte, en los casos de p=1 y p=2 nos encontramos en la zona no reclutada con una situación más cercana a un estado estacionario.

CAPÍTULO 5

Implementación computacional del modelo de vértices: SysVert

"¿Qué es real? ¿Cómo defines lo real? Si estás hablando de lo que puedes sentir, lo que puedes oler, lo que puedes saborear y ver, entonces lo real son simplemente señales eléctricas interpretadas por tu cerebro."

—Morfeo (Matrix)

En esta tesis me propuse desarrollar un modelo que incluya aspectos mecánicos de la interacción entre células, y para ello realicé una implementación de un modelo de vértices celular. Este tipo de modelos se ha utilizado en distintos trabajos para estudiar cambios de topología de tejidos en Drosophila, Pez Zebra, Hydra y Xenopus (Aigouy et al., 2010; Salbreux et al., 2012; Farhadifar et al., 2007; Aegerter-Wilmsen et al., 2012). Los modelos se desarrollan para resolver un problema biológico específico y son difíciles de adaptar a otro sistema, por disntitas razones. Sin embargo, existe alguna excepción como el paquete de simulaciones Chaste (Cooper et al., 2020), que propone una biblioteca C++ de código abierto para modelar poblaciones de células o cómo surgen eventos específicos a nivel del sistema. Sin embargo, Chaste no cuenta con una interfaz gráfica ni resulta lo suficientemente intuitivo para personas con pocos o escasos conocimientos de programación y en particular de C++, por el contrario, se requiere mucho tiempo para lograr comprender su lógica y lograr simular algunos de los ejemplos que ofrece al nuevo usuario.

Durante mi tesis he desarrollado junto a otros miembros del grupo Sys Vert, una implementación de un modelo de vértices que tiene como objetivo ser lo suficientemente general para estudiar problemas biológicos diversos permitiendo, a su vez, a usuarios con escasos conocimientos en programación simular un tejido mediante un modelo de vértices. Python es el segundo lenguaje mas usado en el año 2021, sólo por detrás de JavaScript, que por otro lado está orientado a desarrollo web. Adicionalmente Python está pensado para ser un lenguaje intuitivo y con una curva de aprendizaje muy apropiada para nuevos programadores. Por estas razones decidimos incursionar en una implementación

de un modelo de vértices en Python que logre ser amigable con usuarios provenientes de disciplinas relacionadas a las ciencias biológicas y médicas que, en general, tienen escasos o nulos conocimientos en programación, a la vez que por su naturaleza de código abierto permita a usuarios con algún conocimientos en programación modificar el código o agregar módulos para adaptar el software a problemas más específicos y contribuir a su desarrollo.

5.1 Modelo de vértices

El modelo de vértices es un modelo de simulación computacional basado en agentes utilizado para modelar tejidos compactos. El mismo es un modelo del tipo "fuera de la red" (del inglés off-lattice). Esto significa que sus componentes espaciales no tienen posiciones limitadas dentro de una red sino que se pueden mover libremente por todo el espacio.

El modelo de vértices consiste en modelar a las células como polígonos. Se le asigna a cada vértice una posición en el espacio y en base a ella se realizan cálculos para determinar sus nuevas posiciones de acuerdo a sus interacciones, modeladas por medio de un Hamiltoniano efectivo, a medida que el sistema evoluciona dinámicamente en el tiempo. Hasta aquí las capacidades del programa permiten estudiar sistemas en dos dimensiones. Modelaremos a las células como prismas cuyas caras son polígonos, tal como muestra la figura 5.1. Debido a que existe una simetría con respecto a la altura del prisma, es suficiente estudiar lo que le sucede en un plano horizontal que corta a las células para saber lo que sucede en todo el tejido. Este tipo de aproximación resulta de mucha utilidad para el estudio de tejidos en los cuáles la región apical del mismo es prácticamente plana.

5.1.1 Descripción de la implementación del modelo de vértices

En primer lugar, se modela a las células como polígonos. Luego a cada vértice se le asigna una posición en el espacio. Esta información determina el estado del sistema a un tiempo dado (configuración inicial). Para que el sistema avance a otro tiempo, se definen fuerzas que actuarán sobre los vértices y cambiarán su posición, y por ende la morfología de las células. Con estas posiciones podremos definir el estado del sistema en el nuevo tiempo y repetir este proceso para obtener su comportamiento en tiempos sucesivos. Definiremos las fuerzas a partir de la energía total del sistema E. Primero debemos proponer un modelo para el comportamiento de la energía del sistema. Supondremos que la energía depende de las posiciones de los vértices. Luego simplemente calcularemos la fuerza resultante sobre un vértice como:

$$\sum_{i} \vec{F}_{i} = -\vec{\nabla}_{i} E \tag{5.1}$$

5.1 Modelo de vértices 51

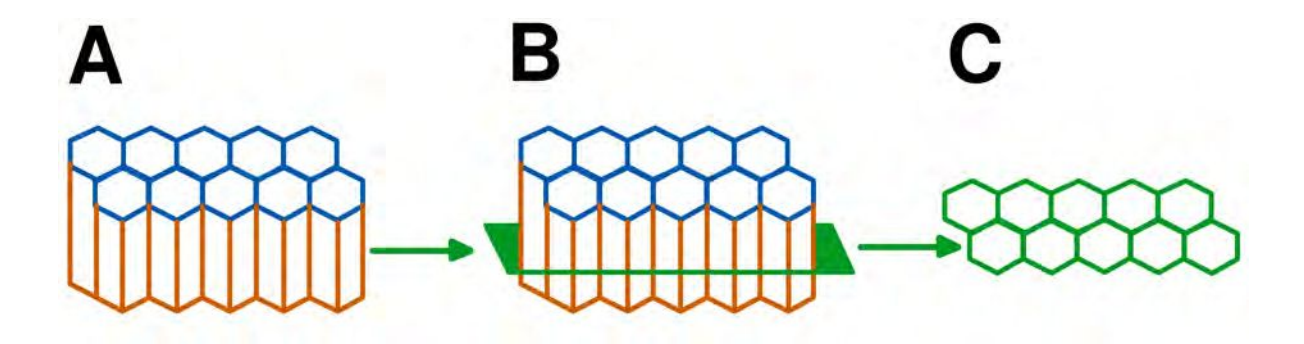


Figura 5.1: Esquema aproximado de cómo se modela a las células en de un tejido en 2D en un modelo de vértices. La figura A es el modelo tridimensional. En la figura B se realiza un corte sobre un plano paralelo a la región apical (superior en este esquema). En la figura C se muestra el resultado de la intersección entre ese plano y el tejido.

Donde el subíndice i se refiere al vértice i. La sumatoria suma sobre las fuerzas que actúan sobre el vértice i. Una vez que tenemos calculadas las fuerzas, debemos establecer cómo el sistema utiliza esta información para mover los vértices. Partiremos de la segunda ley de Newton:

$$\sum_{i} \vec{F}_{i} = m\vec{a}_{i} \tag{5.2}$$

Donde nuevamente el subíndice i se refiere al vértice i.

Supondremos que existe una fuerza viscosa y que esta es muy grande (sistema sobreamortiguado), y que afecta a los vértices y que tiene la forma $-\lambda \vec{v_i}$, donde λ es una constante (coeficiente de viscosidad) y $\vec{v_i}$ es la velocidad del vértice i. En este régimen sobre-amortiguado la aceleración es muy pequeña y por lo tanto podemos despreciarla. Con estas aproximaciones obtenemos:

$$\sum_{i} \vec{F}_{i} - \lambda \vec{v}_{i} = 0 \tag{5.3}$$

$$\sum_{i} \vec{F}_{i} = \lambda \vec{v}_{i} \tag{5.4}$$

$$\frac{d\vec{x}_i}{dt} = \frac{\sum_i \vec{F}_i}{\lambda} \tag{5.5}$$

Donde $\vec{x_i}$ es la posición del vértice i. Hemos obtenido la expresión para la velocidad a la que se mueven los vértices. A partir de la velocidad, utilizaremos el método de Euler para obtener la nueva posición de los vértices:

$$\Delta \vec{x_i} = \frac{d\vec{x_i}}{dt} \Delta t \tag{5.6}$$

$$\vec{x}_i(t + \Delta t) = \vec{x}_i(t) + \frac{d\vec{x}_i}{dt}\Delta t \tag{5.7}$$

$$\vec{x}_i(t + \Delta t) = \vec{x}_i(t) - \frac{\vec{F}}{\lambda} \Delta t \tag{5.8}$$

Entonces dadas las posiciones del sistema a un tiempo t y una definición de la energía total del sistema podemos calcular cuáles serán las nuevas posiciones a un tiempo $t + \Delta t$.

La actualización de las nuevas posiciones de los vértices en *SysVert* es llevada a cabo por la función *vertex_forces* definida e invocada en el archivo *forces.py*.

```
vertex line force(configuration, vID, lineConstant='default'):
      """ Calculate the line forces on a vertex """
2
      linex = 0
3
      liney = 0
4
      for edgeID in configuration.getVertices()[vID].getEdgesBelonging():
          edge = configuration.getEdges()[edgeID]
6
          if lineConstant == 'default':
              c = edge.getLineConstant()
8
          else:
               c = float(lineConstant)
          if vID == edge.getVerticesBelonging()[0]:
               deltaX, deltaY, modulus = edge.getDistances(configuration)
               if modulus != 0:
                   linex -= c * deltaX/modulus
14
                   liney -= c * deltaY/modulus
16
               else:
                   linex -= c * deltaX/modulus
                   liney -= c * deltaY/modulus
18
          else:
19
               deltaX, deltaY, modulus = edge.getDistances(configuration)
20
               linex += c * deltaX/modulus
21
               liney += c * deltaY/modulus
22
      return linex, liney
24
25
      vertex_area_force(configuration, vID):
  def
26
      """ Calculate the area forces on a vertex """
27
      boxX = configuration.get_box_size('x')
28
      boxY = configuration.get_box_size('y')
      areaX = 0
30
      areaY = 0
31
      # Go through all the cells of that vertex
32
      cellsBelonging = configuration.getVertices()[vID].getCellsBelonging()
33
      for cellID in cellsBelonging:
34
          cell = configuration.getCells()[cellID]
35
          area = cell.getArea(configuration)
          areaTarget = cell.getTargetArea()
37
```

5.1 Modelo de vértices 53

```
rho = cell.get_area_elasticity_constant()
38
           h0 = cell.get_cell_height()
           cellVertices = cell.modified_vertices
40
           theVertex = cell.getVertexOrder(vID)
41
           if the Vertex == len(cell Vertices) -1:
               deltaY = cellVertices[0][1] - cellVertices[theVertex - 1][1]
43
               deltaX = cellVertices[0][0] - cellVertices[theVertex - 1][0]
44
           elif the Vertex == 0:
45
               deltaY = cellVertices [theVertex+1][1] - cellVertices [len(
                   cellVertices) -1][1]
               deltaX = cellVertices[theVertex+1][0] - cellVertices[len(
47
                   cellVertices) -1[0]
48
           else:
               deltaY = cellVertices [theVertex +1][1] - cellVertices [theVertex
49
                   -1][1]
               deltaX = cellVertices [theVertex +1][0] - cellVertices [theVertex
                   -1][0]
           if abs(deltaX) > boxX/2:
51
               deltaX = deltaX - np.sign(deltaX) * boxX
52
           if abs(deltaY) > boxY/2:
53
               deltaY = deltaY - np. sign(deltaY) * boxY
           areaX -= (rho) * (h0 ** 2) * (area-areaTarget) * deltaY
55
           areaY += (rho) * (ho ** 2) * (area-areaTarget) * deltaX
56
57
      return areaX, areaY
58
59
60 def vertex_perimeter_force(configuration, vID):
      boxX = configuration.get_box_size('x')
61
      boxY = configuration.get box size('y')
62
      perimeterx = 0
63
      perimetery = 0
      cells Belonging = configuration.getVertices()[vID].getCellsBelonging()
      for cellID in cellsBelonging:
66
           cell = configuration.getCells()[cellID]
67
           perimeter = cell.getPerimeter(configuration)
68
           perimeterTarget = cell.getTargetPerimeter()
69
           beta = cell.get perimeter elasticity constant()
70
           cellVertices = cell.modified_vertices
71
           theVertex = cell.getVertexOrder(vID)
           if the Vertex == len(cell Vertices) -1:
               deltaxPrev = cellVertices [theVertex][0] - cellVertices [
74
                  the Vertex -1 [0]
               deltaxNext = cellVertices[theVertex][0] - cellVertices[0][0]
               deltayPrev = cellVertices [theVertex][1] - cellVertices [
76
                  the Vertex -1 [1]
               deltayNext = cellVertices [theVertex][1] - cellVertices [0][1]
77
           elif the Vertex == 0:
               deltaxPrev = cellVertices[theVertex][0] - cellVertices[len(
                   cellVertices) -1][0]
               deltaxNext = cellVertices [theVertex][0] - cellVertices [
80
                  the Vertex +1 [0]
               deltayPrev = cellVertices[theVertex][1] - cellVertices[len(
81
```

```
cellVertices) -1][1]
               deltayNext = cellVertices[theVertex][1] - cellVertices[
                   theVertex+1[1]
83
           else:
84
               deltaxPrev = cellVertices[theVertex][0] - cellVertices[
85
                   the Vertex -1 [0]
               deltaxNext = cellVertices [theVertex][0] - cellVertices [
86
                   theVertex+1 [0]
               deltayPrev = cellVertices[theVertex][1] - cellVertices[
87
                   the Vertex -1 [1]
               deltayNext = cellVertices[theVertex][1] - cellVertices[
88
                   theVertex+1 [1]
           if abs(deltaxPrev) > boxX/2:
89
               deltaxPrev = deltaxPrev - np.sign(deltaxPrev) * boxX
90
           if abs(deltaxNext) > boxX/2:
               deltaxNext = deltaxNext - np.sign(deltaxNext) * boxX
           if abs(deltayPrev) > boxY/2:
93
               deltayPrev = deltayPrev - np.sign(deltayPrev) * boxY
94
           if abs(deltayNext) > boxY/2:
95
               deltayNext = deltayNext - np.sign(deltayNext) * boxY
96
97
           modPrev = np.sqrt(deltaxPrev**2+deltayPrev**2)
           modNext = np.sqrt(deltaxNext**2+deltayNext**2)
           perimeterx += -2*beta*(perimeter-perimeterTarget)*(deltaxPrev/
100
              modPrev+deltaxNext/modNext)
           perimetery += -2*beta*(perimeter-perimeterTarget)*(deltayPrev/
              modPrev+deltayNext/modNext)
      return perimeterx, perimetery
```

Listing 5.1: Definiciones del cálculo de fuerzas de tensión de línea (vertex_line_force), área (vertex_area_force) y perímetro (vertex_perimeter_force) del tejido en el archivo forces.py.

```
def nextTime(configuration, dt, cellTypes, ctlc, signal, step):
      madeT1 = []
2
       viscosity = 1
3
      divisionp = \{\}
4
      deterministicDiv = \{\}
      cellCycleLength = \{\}
6
      cellCycleTime = \{\}
      apoptp = \{\}
8
      apoptc = \{\}
9
      for cType, data in cellTypes.items():
           deterministicDiv[cType] = data['deterministicDiv']
           cellCycleLength [cType] = data ['cellCycleLength']
           cellCycleTime[cType] = data['cellCycleTime']
13
           divisionp [cType] = data ['divisionp']
14
           apoptp[cType] = data['apoptoticProbability']
15
           apoptc [cType] = data ['apoptoticConstant']
16
      changeMade = False
18
```

5.1 Modelo de vértices 55

```
19
      vertices = configuration.getVertices()
      cells = configuration.getCells()
20
      edges = configuration.getEdges()
21
22
      lineEnergy = 0
23
      areaEnergy = 0
24
25
      perimeterEnergy = 0
26
27
      threshold = signal.get_threshold()
28
      for cellID, cell in configuration.getCells().items():
29
           cell.\ calculate\_periodic\_positions (\ configuration)
30
31
          # Comment for non-recruited cells
          posX, posY = cell.get_cell_center(configuration)
32
          if posX > threshold and cell.get_cell_typeID() == 0:
33
               cell.set_cell_type(cellTypes["1"])
34
35
               cell.cell cycle shortening()
36
      # Calculates line, perimeter and area contributions to forces
37
      vertices_forces = {}
38
      for vertexID , vertex in vertices.items():
39
40
          vertexID = vertex.getVertexID()
41
          lx , ly = forces.vertex_line_force(configuration , vertexID)
          px, py = forces.vertex_perimeter_force(configuration, vertexID)
43
          ax, ay = forces.vertex_area_force(configuration, vertexID)
44
          ex, ey = forces.vertex_expression_force(configuration, vertexID)
45
          vertices\_forces[vertexID] = [(lx + px + ax), (ly + py + ay)]
          # Calculates delta positions
48
          deltaX = ((lx + px + ax + ex)*dt) / viscosity
49
          deltaY = ((ly + py + ay + ey)*dt) / viscosity
51
          new_x = vertex.getX() + deltaX
52
          new_y = vertex.getY() + deltaY
53
          # Calculates new positions
55
          if new_x > configuration.get_box_limits('right'):
56
               new\_x -\!\!\!= configuration.get\_box\_size('x')
57
          elif new_x < configuration.get_box_limits('left'):</pre>
               new_x += configuration.get_box_size('x')
59
          if new_y > configuration.get_box_limits('top'):
60
               new_y -= configuration.get_box_size('y')
61
          elif new_y < configuration.get_box_limits('bottom'):</pre>
62
               new_y += configuration.get_box_size('y')
63
64
          if new_x > configuration.get_box_fixed_limits('right'):
65
               vertex.fixed = True
66
               new_x = configuration.get_box_fixed_limits('right')
67
          elif new_x < configuration.get_box_fixed_limits('left'):</pre>
68
               vertex.fixed = True
               new_x = configuration.get_box_fixed_limits('left')
70
```

```
if new_y > configuration.get_box_fixed_limits('top'):
71
                vertex.fixed = True
72
               new_y = configuration.get_box_fixed_limits('top')
           elif new_y < configuration.get_box_fixed_limits('bottom'):</pre>
74
               vertex.fixed = True
75
               new y = configuration.get box fixed limits('bottom')
76
77
           if vertex. fixed:
78
               new_x = vertex.getX()
               new y = vertex.getY()
80
81
           # Virtual movement
82
83
           vertex.set_new_x(new_x)
           vertex.set_new_y(new_y)
84
85
       # Saves the forces values to lattice
86
       configuration.save forces (vertices forces)
87
88
       # Updates positions
89
       for vertexID , vertex in vertices .items():
90
           vertices [vertexID]. update()
91
92
       # Division and apoptosis random selection
93
       for dividingCell in list(cells):
           if deterministicDiv[str(cells[dividingCell].get_cell_typeID())]:
96
           # Deterministic division
97
                cells [dividingCell].cellCycleTimeUpdate()
98
               if cells [dividing Cell]. get cell cycle length() <= cells [
                   dividingCell].get_cell_cycle_time():
                    vertices, edges, cells = cell_division(configuration,
100
                       dividingCell, ctlc, cellTypes)
                    changeMade = True
           else:
           # Probabilistic division
104
               if np.random.uniform(0,1) < divisionp[str(cells[dividingCell].
105
                   get_cell_typeID())]:
                    vertices, edges, cells = cell_division(configuration,
106
                       dividing Cell, ctlc)
                    changeMade = True
108
           if np.random.uniform(0,1) < apoptp[str(cells[dividingCell].
               get_cell_typeID()):
           # Apoptosis
                cells [dividingCell].set_apoptotic()
           cells [dividingCell].apoptotic_time_foward(apoptc[str(cells[
112
               dividingCell].get_cell_typeID())])
       # T3 swaps
114
       changeMadeT3 = False
115
       edgesMedium = []
116
```

```
verticesMedium = set([])
       for edgeID, edge in edges.items():
118
           if len(edge.get_cells_belonging(vertices)) == 1:
119
               edgesMedium.append(edgeID)
120
               for vertexID in edge.getVerticesBelonging():
121
                   vertices Medium . add (vertexID)
       for vertexID in verticesMedium:
123
           intersecting Position, intersecting EdgeID = swaps.check_T3(
               configuration, vertexID, edgesMedium, step)
           if intersecting EdgeID:
125
               vertices, edges, cells = swaps.swap_T3(configuration,
                   vertexID, intersectingEdgeID, intersectingPosition)
               changeMade = True
               changeMadeT3 = True
128
      # T1 swaps
130
       for edgeID in list(edges.keys()):
           checkResT1 = swaps.check_T1(configuration, edgeID)
           if type(checkResT1) == int and checkResT1 not in madeT1 and not
              changeMadeT3:
               madeT1.append(checkResT1)
               vertices, edges, cells = swaps.swap_T1(configuration,
                   checkResT1, ctlc)
               changeMade = True
136
      # T2 swaps
138
      listT2 = swaps.check_T2(configuration)
139
      if listT2 != []:
           for cellID in listT2:
               vertices, edges, cells = swaps.swap T2(configuration, cellID)
142
               changeMade = True
143
      # Creates the new configuration
145
       if changeMade:
146
           return Lattice (configuration.data, vertices, edges, cells)
147
       else:
148
           return configuration
```

Listing 5.2: Archivo *solver.py* donde se realiza cada iteración temporal de las simulaciones, llamando a las funciones responsables del cálculo de las fuerzas, las transiciones y las divisiones.

5.1.2 Energía del sistema

Finalmente, introduciremos un modelo para la energía. El mismo consistirá en tres contribuciones: La energía de deformación E_D , la contractilidad E_C y la adhesión entre células E_A . La energía del sistema será simplemente la suma de estas tres contribuciones:

$$E = E_D + E_A + E_C \tag{5.9}$$

La energía de deformación intenta lograr que cada célula alcance en equilibrio un área objetivo. La misma será:

$$E_D = \sum_{k} \lambda_D (A_k - A_{kT})^2$$
 (5.10)

Donde λ_D es el coeficiente de deformación, A_k es el área de la célula k (ver Figura 5.2), A_{kT} es el área objetivo (target) de la célula k y la sumatoria se realiza sobre todas las células. Esta energía también puede ser vista como una energía que depende del volumen en lugar del área. Debido a que estamos considerando a las células como prismas, simplemente podemos reescribir al λ_D como:

$$\lambda_D = \lambda_{DV} h_0^2 \tag{5.11}$$

Con λ_{DV} el coeficiente de deformación volumétrico y h_0 la altura de la célula. Como el volumen será el área del prisma por su altura, obtenemos:

$$E_D = \sum_{k} \lambda_{DV} (V_k - V_{kT})^2$$
 (5.12)

donde V_k y V_{kT} son el volumen y el volumen objetivo de la célula k respectivamente. Con respecto al área objetivo, Nagai y Honda (Nagai & Honda, 2001) proponen dos modelos. Uno donde las células censan el área de las células con las que están en contacto y el área objetivo es el promedio de ellas. El otro consiste en definir al área objetivo como una constante. En este trabajo utilizaremos el último modelo, siguiendo también el trabajo de Farhadifar y colaboradores (4).

El término de adhesión está asociado a tensiones debido a las uniones entre las células. Se pueden definir distintos tipos de células, es decir, células con distintas propiedades en sus membranas y obtener por lo tanto distintos tipos de tensiones entre ellas. La misma será de la forma:

$$E_A = \sum_j \lambda_{Aj} d_j \tag{5.13}$$

Donde λ_{Aj} es la tensión de línea de la arista j, d_j es el largo de la arista j (ver Figura 5.2) y la sumatoria se realiza sobre todas las aristas del tejido.

Se ha encontrado en trabajos anteriores (Schilling et al., 2011; Landsberg et al. 2009) que una inhomogeneidad en la tensión de línea es suficiente para explicar por qué los compartimientos anterior y posterior del disco imaginal del ala de Drosophila Melanogaster (mosca de fruta, el modelo biológico más utilizado para este tipo de estudios) permanecen separados durante el desarrollo. Es importante que estos compartimientos permanezcan separados porque en estadíos posteriores del desarrollo los mismos darán lugar a tejidos diferentes.

Siguiendo con el modelo de energía utilizado en este trabajo, el término de contractilidad será parecido al de deformación pero en este caso el perímetro ocupará el lugar del área:

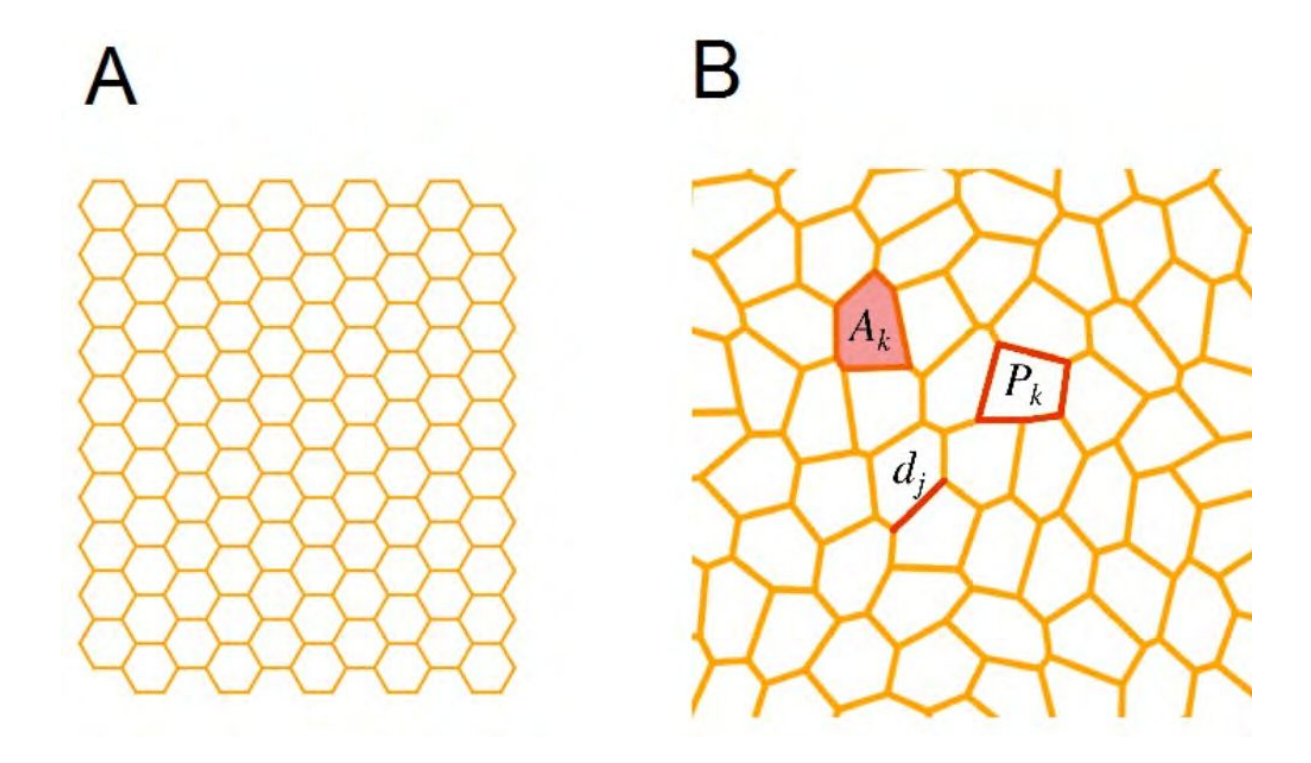


Figura 5.2: Representación gráfica de un tejido modelado mediante el modelo de vértices. El panel A muestra como el tejido en el instante inicial está formado por células con forma hexagonal (honeycomb). El panel B es un esquema que muestra a qué nos referimos cuando hablamos del área de una célula (A_k) , de perímetro de una célula (P_k) y del largo de una arista (d_i) .

$$E_{C} = \sum_{k} \lambda_{C} (P_{k} - P_{kT})^{2}$$
 (5.14)

Donde λ_C es el coeficiente de contractilidad, P_k es el perímetro de la célula k (ver Figura 5.2), P_{kT} es el perímetro objetivo de la célula k y la sumatoria se realiza sobre todas las células. Este término es importante para lograr que las células tengan una forma convexa.

5.1.3 Intercambios T (T-Swaps)

Como es usual en este modelo, introduciremos los intercambios T (del inglés "swaps"). Los mismos son cambios topológicos que se dan en el sistema por distintas razones, que en general remedan el comportamiento topológico del tejido que se modela. En esta implementación utilizaremos los tipos de intercambios conocidos como T1, T2 y T3. Estos intercambios han sido introducidos en estudios de modelos de vértices en

espumas, que son los que dan origen al modelo de vértices celular (6). Otras elecciones de intercambios son posibles.

5.1.3.1 Intercambios T1

Durante el intercambio T1 las células se deforman como muestra la Figura 5.3. El intercambio T1 sucede cuando un lado de un polígono se vuelve menor a una cantidad ΔL , previamente establecida. El lado desaparece y otro nuevo, perpendicular al anterior y con un largo L_0 predefinido, lo reemplaza. Durante este intercambio hay un re-ordenamiento de vértices entre las células. Dos células obtienen un vértice extra (A y D en la Figura 5.3) y dos células pierden uno, produciéndose adicionalmente un intercambio de vecinos (B y C en la Figura 5.3).

La implementación de los intercambios T1 se implementa en la función $swap_T1$ que puede encontrarse en el archivo swaps.py.

```
def swap_T1(configuration, edgeID, cellTypesLineConstant):
    """

From the vertices, edges and cells passed it applies T1 and T2 swaps.

It returns the new vertices, edges and cells dictionaries.

t1: array with possible edges for a T1 swap.

"""

vertices = configuration.getVertices()
edges = configuration.getEdges()
cells = configuration.getCells()
```

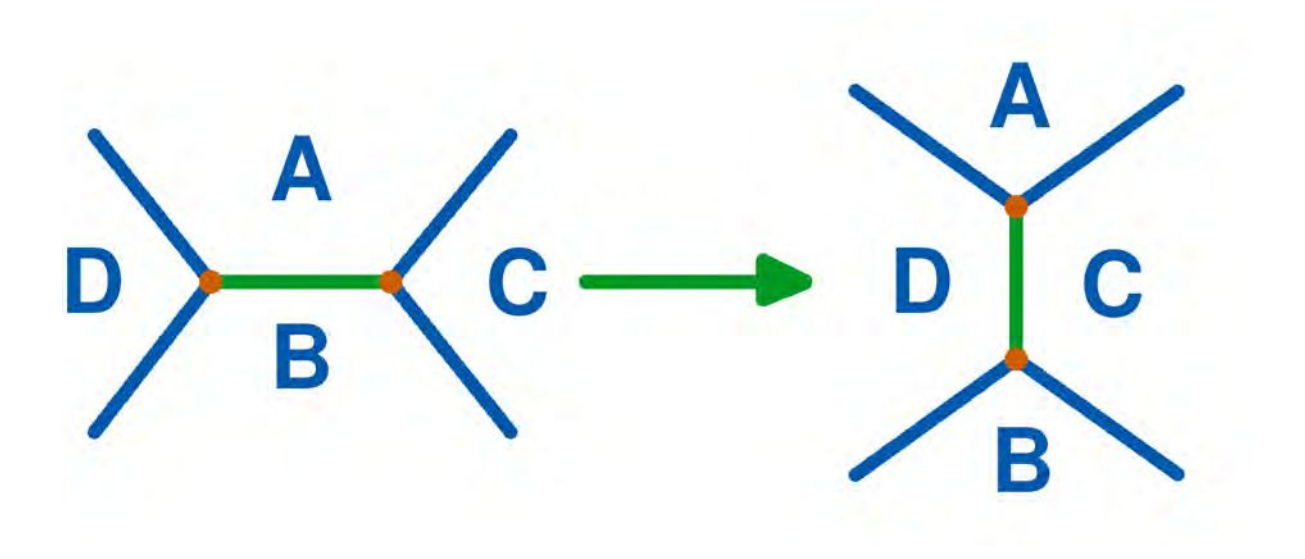


Figura 5.3: Esquema del intercambio T1. El lado en verde tiene un largo menor al valor límite y sufre un intercambio T1. Cuatro células (A, B, C y D) participan en el mismo.

```
sets = []
      for givenVertex in edges[edgeID].getVerticesBelonging():
13
           sets.append(vertices[givenVertex].getCellsBelonging())
14
      sharedCells = np.intersect1d(sets[0], sets[1])
15
      for eachCell in sharedCells:
16
17
           if cells [eachCell].getVertexNumber() <= 3:
               return vertices, edges, cells
18
      # Check if still is necessesary to do the swap
19
      deltaX, deltaY, distance = edges[edgeID].getDistances(configuration)
20
      cellB = []
21
      cellD = []
22
      if (round (distance, 4) > edges [edgeID]. minimum Distance):
23
           return vertices, edges, cells
24
      # Do the swap
25
      ksep = 1.5
26
      newDist = edges[edgeID].minimumDistance * ksep
      # Charge the vertices where we will operate
28
      vi = vertices [edges [edgeID].getVerticesBelonging()[0]]
29
      vj = vertices [edges [edgeID].getVerticesBelonging()[1]]
30
31
      # Calculate the middle point
32
      periodicX , periodicY = edges[edgeID].periodic_edge(configuration)
33
34
      boxX = configuration.get_box_size('x')
35
      boxY = configuration.get_box_size('y')
36
37
      if periodicX:
38
           posX = (vi.getX()+vj.getX() - boxX)/2
39
           if posX < configuration.get_box_limits('left'):</pre>
40
               posX = posX + boxX
41
42
      else:
           posX = (vi.getX()+vj.getX())/2
43
      if periodicY:
44
           posY = (vi.getY()+vj.getY() - boxY)/2
45
           if posY < configuration.get_box_limits('bottom'):</pre>
               posY = posY + boxY
47
      else:
48
           posY = (vi.getY()+vj.getY())/2
49
      middle = [posX, posY]
50
51
      existEdge = True
52
      # Check if there is only one cell at play
53
      if len(vi.getCellsBelonging()) == 1 and len(vj.getCellsBelonging()) == 1
           1:
          # join vertices
55
          newx = middle[0]
          newy = middle[1]
57
58
           for currentEdge in vj.getEdgesBelonging():
59
               if currentEdge != edgeID:
60
                   edges [currentEdge].set vertex from ID(vi,vj.getVertexID())
61
```

```
62
           # Destroy edge == edgeID
63
           vi.remove_edges_belonging(edgeID)
64
           del edges [edgeID]
65
           existEdge = False
66
           # remove vertex from cell
67
           cells [vj.getCellsBelonging()[0]].remove_vertex(vj.getVertexID())
68
69
           # save new positions
           vertices [vi.getVertexID()].set_new_x(newx)
           vertices [vi.getVertexID()].set_new_y(newy)
71
           vertices [vi.getVertexID()].update()
74
           del vertices[vj.getVertexID()]
75
      # Check if you have only two cells (Cell B and Cell C)
76
       elif (np.asarray(vi.getCellsBelonging() == vj.getCellsBelonging())).
          all() or np.asarray((np.flip(vi.getCellsBelonging(),axis=0) == vj.
          getCellsBelonging()).all():
           # Join vertices
           newx = middle[0]
79
           newy = middle[1]
80
           for currentEdge in np.asarray(vj.getEdgesBelonging()):
81
               if currentEdge != edgeID:
82
                    edges [currentEdge].set_vertex_from_ID(vi,vj.getVertexID())
           # Destroy edge == edgeID
85
           vi.remove_edges_belonging(edgeID)
86
           del edges [edgeID]
87
           existEdge = False
88
           # Remove vertex from cell
89
           cells [vj.getCellsBelonging()[0]].remove_vertex(vj.getVertexID())
90
           cells [vj.getCellsBelonging()[1]].remove_vertex(vj.getVertexID())
91
92
           # Save new positions
           vertices [vi.getVertexID()].set_new_x(newx)
93
           vertices [vi.getVertexID()].set_new_y(newy)
94
95
           vertices [vi.getVertexID()].update()
96
97
           del vertices[vj.getVertexID()]
98
       # Else will do the standar swap algorithm
100
           # Virtually move the points to the new origin
           if abs(vi.getX() - middle[0]) > boxX/2:
102
               if vi.getX() - middle [0] > 0:
                   newy0 = -vi.getX() + middle[0] - boxX
104
               elif vi.getX() - middle[0] < 0:
105
                   newy0 = -vi.getX() + middle[0] + boxX
           else:
               newy0 = -vi.getX() + middle[0]
108
109
           if abs(vj.getX() - middle[0]) > boxX/2:
               if vj.getX() - middle[0] > 0:
```

```
newy1 = -vj.getX() + middle[0] - boxX
                elif vj.getX() - middle [0] < 0:
113
                    newy1 = -vj.getX() + middle[0] + boxX
114
           else:
115
                newy1 = -vj.getX() + middle[0]
           if abs(vi.getY() - middle[1]) > boxX/2:
118
                if vi.getY() - middle[1] > 0:
119
                    newx0 = vi.getY() - middle[1] - boxX
                elif vi.getY() - middle[1] < 0:
                    newx0 = vi.getY() - middle[1] + boxX
           else:
                newx0 = vi.getY() - middle[1]
125
           if abs(vj.getY() - middle[1]) > boxX/2:
126
                if vj.getY() - middle[1] > 0:
128
                    newx1 = vj.getY() - middle[1] - boxX
                \textbf{elif} \ vj.getY() - middle[1] < 0:
                    newx1 = vj.getY() - middle[1] + boxX
1.30
           else:
                newx1 = vj.getY() - middle[1]
133
           # Edge shrinking such that it have norm equal to 1
           newiv = (newx0, newy0)/(np.sqrt(newx0**2+newy0**2))
           newjv = (newx1, newy1)/(np.sqrt(newx1**2+newy1**2))
           # Enlarge the edge to the desired norm
138
           newi = newiv * newDist/2 + middle
           newj = newjv * newDist/2 + middle
           #if vertex i perioc
141
           if newi[0] < configuration.get_box_limits('left'):</pre>
                newi[0] += boxX
           elif newi[0] > configuration.get_box_limits('right'):
144
                newi[0] = boxX
145
           if newi[1] < configuration.get_box_limits('bottom'):</pre>
146
                newi[1] += boxY
           elif newi[1] > configuration.get_box_limits('top'):
148
                newi[1] = boxY
149
           #if vertex j perioc
150
           if newj[0] < configuration.get_box_limits('left'):</pre>
                \text{newj} [0] += \text{boxX}
           elif newj[0] > configuration.get_box_limits('right'):
                newj[0] = boxX
154
           if newj[1] < configuration.get_box_limits('bottom'):</pre>
156
                \text{newj}[1] += \text{boxY}
           elif newj[1] > configuration.get_box_limits('top'):
                \text{newj}[1] = \text{boxY}
160
           # Finds cells B and C (at least one exists) but dont know which is
                which
           exist2 = False
```

```
cell1 = list(set(vi.getCellsBelonging()).intersection(vj.
               getCellsBelonging()))[0]
           # Checks if the other cell ("cell2") exists by counting the number
                of cells owned by verticies vi and vj
           if len(set(vi.getCellsBelonging()).intersection(vj.
166
               getCellsBelonging()) = 2:
               cell2 = list(set(vi.getCellsBelonging()).intersection(vj.
                   getCellsBelonging()))[1]
               exist2 = True
168
           existA = existB = existC = existD = False
           existV1 = existV2 = existV3 = existV4 = False
171
172
           # Determines which is cell B and which is cell C by looking at
               vertices order of vi and vj inside the cells (taking into
               account that vi would by 0)
           if (cells [cell1].getVertexOrder(vi.getVertexID()) > cells [cell1].
174
              getVertexOrder(vj.getVertexID()) and not ((cells[cell1].
              getVertexOrder(vi.getVertexID()) = cells[cell1].
               getVertexNumber()-1 and cells [cell1].getVertexOrder(vj.
              getVertexID()) == 0))) or (cells [cell1].getVertexOrder(vi.
              getVertexID()) = 0 and cells[cell1].getVertexOrder(vj.
               getVertexID()) != 1):
               cellC = cell1
               existC = True
               if exist2:
                    cellB = cell2
178
                   existB = True
           else:
180
               cellB = cell1
181
               existB = True
               if exist2:
183
                    cellC = cell2
184
                   existC = True
185
186
           # Determines if cell A exists
187
           neighborsA = []
188
           if existB:
189
               neighborsA.append(cellB)
           if existC:
191
               neighborsA.append(cellC)
192
193
           cellsVi = set(vi.getCellsBelonging()).symmetric_difference(
               neighborsA)
195
           if len(cellsVi) == 1:
               existA = True
               cellA = list(cellsVi)[0]
198
           elif len(cellsVi) > 1:
199
               print ("Error: Trying to do a T1 swap with more than one cell A
```

```
print("Shared cells:", sharedCells)
201
                print("cellsVi:", cellsVi)
                exit()
203
204
           # Determines if cell D exists
           neighborsD = []
           if existB:
207
                neighborsD.append(cellB)
208
           if existC:
                neighborsD.append(cellC)
210
211
           cellsVj = set(vj.getCellsBelonging()).symmetric_difference(
212
               neighborsD)
213
           if len(cellsVj) == 1:
214
                existD = True
215
                cellD = list(cellsVj)[0]
           elif len(cellsVj) > 1:
217
                print ("Error: Trying to do a T1 swap with more than one cell D
218
                exit()
219
220
           # Assigns vertices 1 and 4
221
           if existC:
                vertex1 = cells [cellC].next_vertex(vi.getVertexID())
                existV1 = True
224
                vertex4 = cells [cellC].previous_vertex(vj.getVertexID())
225
                existV4 = True
           else:
227
                if existA:
228
                    vertex1 = cells [cellA].previous_vertex(vi.getVertexID())
                    existV1 = True
230
                if existD:
231
                    vertex4 = cells [cellD].next_vertex(vj.getVertexID())
                    {\rm existV4}\,=\,{\rm True}
233
           # Assigns vertices 2 and 3
235
           if existB:
236
                vertex2 = cells [cellB].previous_vertex(vi.getVertexID())
237
                existV2 = True
                vertex3 = cells [cellB].next_vertex(vj.getVertexID())
239
                existV3 = True
240
241
           else:
                if existA:
                    vertex2 = cells [cellA].next_vertex(vi.getVertexID())
243
                    existV2 = True
244
245
                if existD:
                    vertex3 = cells [cellD].previous vertex(vj.getVertexID())
                    existV3 = True
247
248
           # Vertices exchanges
           if existC:
```

```
# Removes vi from C
               cells [cellC].remove_vertex(vi.getVertexID())
               vi.remove_cells_belonging(cellC)
253
           if existD:
254
               # D gains a new vertex, vi, in the order of vj
255
               cells [cellD].add vertex(vi, cells [cellD].getVertexOrder(vj.
256
                   getVertexID())
               vi.addCellsBelonging(cellD)
257
           if existB:
               # Removes vj from B
               cells [cellB].remove_vertex(vj.getVertexID())
261
               vj.remove_cells_belonging(cellB)
               # A gains a new vertex, vj, in the order of vi
263
               cells [cellA].add_vertex(vj, cells [cellA].getVertexOrder(vi.
264
                   getVertexID())
               vj.addCellsBelonging(cellA)
           if existV3:
               for edgeNum in vj.getEdgesBelonging():
                    if vertex3.getVertexID() in edges[edgeNum].
                       getVerticesBelonging():
                        edges[edgeNum].set_vertex_from_ID(vi,vj.getVertexID())
           if existV1:
               for edgeNum in vi.getEdgesBelonging():
                    if vertex1.getVertexID() in edges[edgeNum].
                       getVerticesBelonging():
                        edges [edgeNum].set_vertex_from_ID(vj,vi.getVertexID())
274
           vertices [edges [edgeID].getVerticesBelonging()[0]].set new x(newi
275
               [0]
           vertices [edges [edgeID].getVerticesBelonging()[0]].set_new_y(newi
               [1]
           vertices [edges [edgeID].getVerticesBelonging()[1]].set_new_x(newj
278
           vertices [edges [edgeID].getVerticesBelonging()[1]].set_new_y(newj
               [1]
280
           vertices [edges [edgeID].getVerticesBelonging()[0]].update()
281
           vertices [edges [edgeID].getVerticesBelonging()[1]].update()
283
      #Change line constant if it is in the border
284
       if existEdge:
285
           cells Belonging = edges [edgeID].get_cells_belonging (vertices)
           if len(cellsBelonging) == 1:
287
               edges [edgeID].set_line_constant(cellTypesLineConstant[str(
288
                   cells [cellsBelonging [0]].get_cell_typeID())+'M'])
           else:
               edges[edgeID].set_line_constant(cellTypesLineConstant[str(
290
                   cells [cellsBelonging [0]].get_cell_typeID())+str(cells[
                   cellsBelonging[1]].get_cell_typeID())])
291
```

return vertices, edges, cells

Listing 5.3: Definiciones de los intercambios T1 del tejido en el archivo swaps.py.

5.1.3.2 Intercambios T2

Un intercambio T2 sucede cuando una célula tiene tres lados y un área menor a un valor limite ΔA . Podría ocurrir que células de 4 o 5 lados pasen por un intercambio T2 pero la probabilidad de que eso ocurra es mucho menor que en el caso de células de 3 lados (Stavans et al., 1993). Por ello nos limitaremos a células de tres lados. Durante un intercambio T2, la célula es eliminada y sus tres vértices se unen en el centro de la misma. Las tres células que la rodean pierden un vértice durante el intercambio. Es importante aclarar que este intercambio no está relacionado necesariamente con la muerte celular (apoptosis). Si se desea que el modelo tenga en cuenta la tasa de muerte celular, esta debe ser introducida aparte. Lo que sucede en el intercambio T2 es que la célula eliminada sale del plano que estamos estudiando debido a que es empujada por sus vecinas. Un esquema del intercambio T2 se puede ver en la figura 5.4.

La implementación de los intercambios T2 se implementa en la función $swap_T2$ que puede encontrarse en el archivo swaps.py.

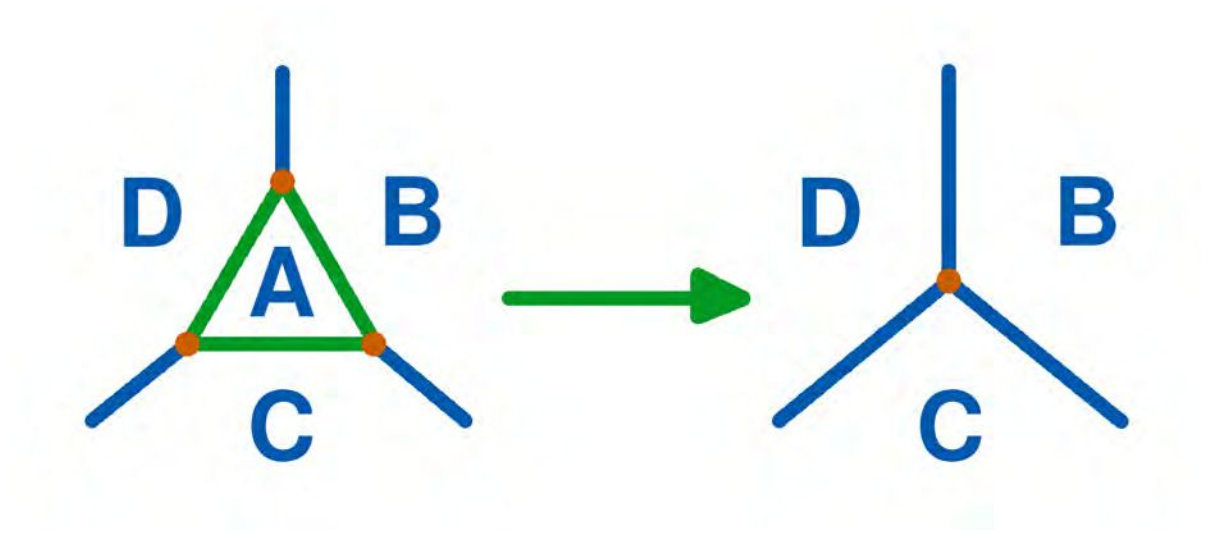


Figura 5.4: Esquema del intercambio T2. En el mismo la célula A desaparece y sus lados se unen en el centro de la misma. Las células B, C y D pierden un vértice en el proceso.

```
5
      vertices = configuration.getVertices()
6
      edges = configuration.getEdges()
7
      cells = configuration.getCells()
8
9
      # Calculates cell center
      centerx , centery = cells [cellID].get_cell_center(configuration)
      verticesNumber = max(vertices.keys()) + 1
      vertices [verticesNumber] = Vertex(centerx, centery)
      vertices [verticesNumber].setVertexID(verticesNumber)
14
      # Assigns cells to the new vertex
16
      myVertices = cells [cellID].get_cell_vertices()
17
      edgesToRemove = [] # edges of the cell that will be deleted
18
      edgesToReplace = [] # edges that will join at the center of the cell
19
          with the new vertex
20
      for vertexID in myVertices:
          # Goes through edges of each vertex
          for edgeID in vertices[vertexID].getEdgesBelonging():
               intersect = np.intersect1d (edges[edgeID].getVerticesBelonging
23
                   (), myVertices)
               # If only one vertex of the edge belong to the cell then one
                   vertex of the edge will be replaced
               if len(intersect) == 1 :
25
                   edgesToReplace.append((edgeID,intersect[0]))
26
               # If both vertices of the edge belong to the cell then that
27
                   edge will be deleted
               elif len(intersect) == 2:
28
                   if edgeID not in edgesToRemove:
                        edgesToRemove.append(edgeID)
30
               else: ## Debug
31
                   print("T2 swap, cell with weird number of vertex/edges")
                   exit()
          for cellID2 in vertices [vertexID].getCellsBelonging():
34
               for vertexID2 in np.intersect1d(cells[cellID2].
35
                   get_cell_vertices(), myVertices):
                   oldVerticesOrder = cells [cellID2].getVertexOrder(vertexID2
36
                   cells [cellID2].remove_vertex(vertexID2)
37
               if verticesNumber not in cells[cellID2].get_cell_vertices():
                   cells [cellID2].add_vertex(vertices [verticesNumber],
                       oldVerticesOrder)
40
                   if cellID2 != cellID:
                        vertices [verticesNumber].addCellsBelonging(cellID2)
41
          del vertices [vertexID]
42
      \begin{tabular}{ll} \textbf{for} & changed Edge & \textbf{in} & edges To Replace: \\ \end{tabular}
43
           edges [changedEdge [0]].set_vertex_from_ID(vertices [verticesNumber],
               changedEdge [1])
45
      del cells [cellID]
      for edgeDel in edgesToRemove:
46
          del edges[edgeDel]
47
      return vertices, edges, cells
48
```

Listing 5.4: Definiciones de los intercambios T2 del tejido en el archivo swaps.py.

5.1.3.3 Intercambios T3

Los intercambios T3 permiten la adhesión de dos o más células en el tejido que se encuentran separadas por medio extracelular. Cuando el tejido crece por divisiones celulares esta transición permite que se rellenen los huecos intercelulares. Esta transición tiene, por lo tanto, gran relevancia por ejemplo, en la cicatrización de heridas. Si un vértice de una célula se encuentra con el lado de otra, entonces el vértice se incorpora en esta última. Existen cuatro clases principales de intercambios T3 (Figura 5.5), dependiendo del número de células a las que pertenezca el vértice que colisiona con la célula y si el vértice se conecta o no con la célula sobre la que colapsa a través de un lado.

Los nuevos vértices creados en los reordenamientos estarán siempre a una distancia de al menos d_{sep} de los vértices existentes. Si un lado es demasiado corto para acomodar el nuevo vértice entonces los vértices en los extremos del lado se separan para hacerle espacio. La inclusión de este proceso de reordenamiento celular permite la simulación de problemas de extremos de tejido libres y móviles (Fletcher et al., 2013). En el próximo capítulo veremos un caso particular de un tejido con extremo libre y móvil: el crecimiento de la médula espinal del axolotl amputada.

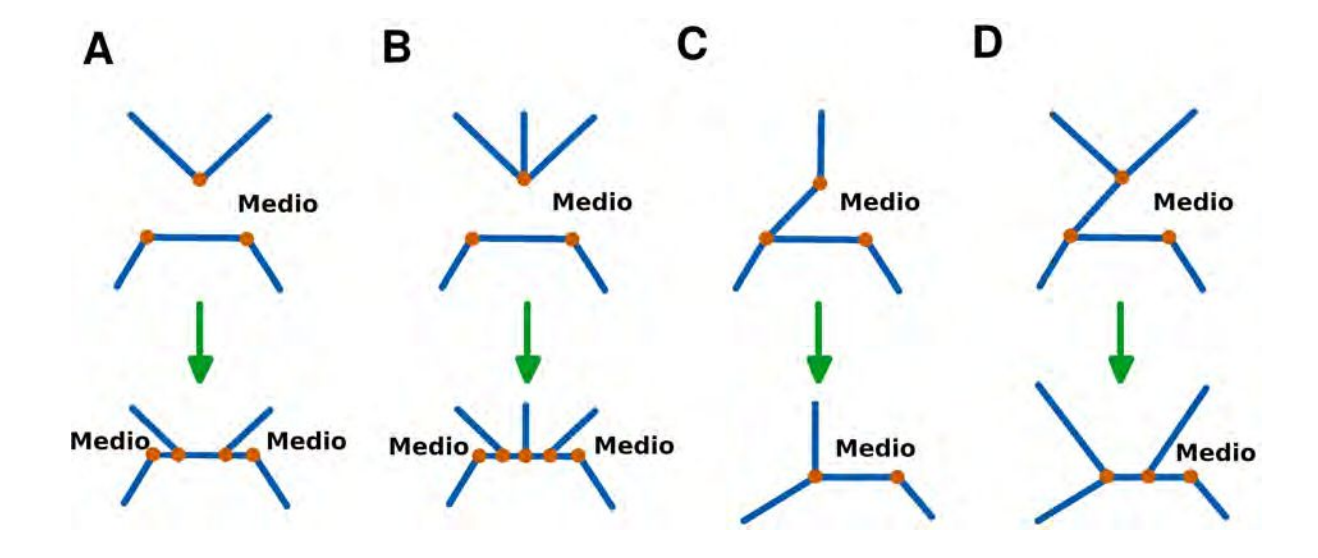


Figura 5.5: Esquema del intercambio T3. Existen cuatro (A-D) casos de intercambios T3 dependiendo de si están conectados el vértice de la célula que colapsa con el lado de la célula en la que colapsa y a cuantas células pertenece el vértice que colapsa. Los vértices se encuentran denotados con color naranja y los lados con color azul. Void corresponde al medio extracelular.

A continuación se detalla la implementación de los intercambios T3 en el código de SysVert:

```
def swap_T3(configuration, vertexID, intersectingEdgeID,
      intersecting Position):
      vertices = configuration.getVertices()
      edges = configuration.getEdges()
3
      cells = configuration.getCells()
4
      colapsingEdge = edges[intersectingEdgeID]
      colapsing Vertex = vertices [vertexID]
8
      colapsing Vertex Edges = colapsing Vertex.getEdgesBelonging() # Edges of
          the colapsing vertex
      colapsingEdgeVertices = colapsingEdge.getVerticesBelonging() #
          Vertices of the colapsing edge
      edgesList1 = vertices [colapsingEdgeVertices [0]].getEdgesBelonging()
12
      edgesList2 = vertices [colapsingEdgeVertices [1]].getEdgesBelonging()
      colapsingEdgeEdges = set(edgesList1).union(set(edgesList2)) # Edges
14
          connected to the colpasing edge
15
      colisionPoint = intersectingPosition
16
17
      if len(colapsingVertex.getCellsBelonging()) == 1:
          if np.intersect1d(list(colapsingEdgeEdges),colapsingVertexEdges).
              size > 0:
              # Case C
20
               vertices, edges, cells = t3caseC(configuration, vertices, edges,
21
                  cells, colisionPoint, colapsingVertex, colapsingEdgeVertices,
                  colapsing Vertex Edges)
22
          else:
              # Case A
               vertices, edges, cells = t3caseA(vertices, edges, cells,
24
                  colapsing Vertex, colapsing Edge)
      elif len(colapsingVertex.getCellsBelonging()) >= 2:
25
          if np.intersect1d(list(colapsingEdgeEdges),colapsingVertexEdges).
26
              size > 0:
              # Case D
               vertices, edges, cells = t3caseD(vertices, edges, cells,
28
                  colisionPoint, colapsingVertex, colapsingEdge,
                  colapsingEdgeVertices, colapsingVertexEdges)
29
          else:
              # Case B
30
               vertices, edges, cells = t3caseB(vertices, edges, cells,
31
                  colapsingVertex, colapsingEdge)
      else:
32
          raise Exception ('The colapsing vertex in the T3 swap belongs to
33
              more than 2 cells (not implemented)')
34
      return vertices, edges, cells
35
37 def t3caseA (vertices, edges, cells, colapsingVertex, colapsingEdge):
```

```
vl = colapsingVertex
      eb = colapsingEdge
      cb = cells [colapsingEdge.get_cells_belonging(vertices)[0]]
40
      verticesBottom = eb.getVerticesBelonging()
41
      if cb.getVertexOrder(verticesBottom[0]) > cb.getVertexOrder(
          verticesBottom[1]):
           vrr = verticesBottom[0]
43
           vll = verticesBottom[1]
44
      else:
45
           vll = verticesBottom[0]
46
           vrr = verticesBottom[1]
47
      vlNewX, vlNewY = moveVertexOverEdge(vertices, edges, vll, vrr, eb.getEdgeID
48
      vl.set_new_x(vlNewX) # sets vl new position
49
      vl.set_new_y(vlNewY) # sets vl new position
50
      vl.update()
51
52
      vlEdges = vl.getEdgesBelonging()
53
      verticesTop = []
54
      for eachEdge in vlEdges:
55
           edgeVertices = edges [eachEdge].getVerticesBelonging()
           vertices Top. append (edge Vertices [0])
57
           verticesTop.append(edgeVertices[1])
58
59
      verticesTop = set(verticesTop)
      verticesTop.remove(vl.getVertexID())
60
      verticesTop = list(verticesTop)
61
62
      ct = cells [vl.getCellsBelonging()[0]]
63
64
      if ct.getVertexOrder(verticesTop[0]) > ct.getVertexOrder(verticesTop
65
          [1]):
           vtr = verticesTop[0]
           vtl = verticesTop[1]
67
      else:
68
           vtl = verticesTop[0]
69
           vtr = verticesTop[1]
70
71
      if vtr in edges[vlEdges[0]].getVerticesBelonging():
72
           er = edges[vlEdges[0]]
      elif vtr in edges[vlEdges[1]].getVerticesBelonging():
74
           er = edges[vlEdges[0]]
75
      else:
           raise Exception ('T3 case A edges problem, please report')
77
78
      vrNewX, vrNewY = moveVertexOverEdge(vertices, edges, vrr, vll, eb.getEdgeID
79
          ())
      verticesNumber = max(vertices.keys()) + 1
      vr = vertices [verticesNumber] = Vertex(vrNewX, vrNewY)
81
      vertices [verticesNumber].setVertexID(verticesNumber)
82
      eb.set_vertex_from_ID(vl, vrr) # Replaces Eb with vc
8.3
      er.set_vertex_from_ID(vr, vl.getVertexID()) # Replaces El with vl
84
85
```

```
edgesNumber = max(edges.keys()) + 1
86
       edges [edgesNumber] = Edge (edgesNumber, vl, vr, eb.getLineConstant(), eb.
87
          minimumDistance)
       edgesNumber += 1
88
       edges [edgesNumber] = Edge(edgesNumber, vr, vertices [vrr], eb.
89
          getLineConstant(),eb.minimumDistance)
90
       vlOrderBot = max([cb.getVertexOrder(vl1),cb.getVertexOrder(vrr)])
       cb.add_vertex(vl,vlOrderBot)
       cb.add_vertex(vr,cb.getVertexOrder(vl.getVertexID()))
93
       vrOrderTop = ct.getVertexOrder(vl.getVertexID())+1
       ct.add_vertex(vr,vrOrderTop)
95
       vl.addCellsBelonging(cb.get_cellID())
97
       vr.addCellsBelonging(cb.get_cellID())
98
       vr.addCellsBelonging(ct.get\_cellID())
100
       return vertices, edges, cells
103 def t3caseB(vertices, edges, cells, colapsingVertex, colapsingEdge):
       vl = colapsingVertex
104
       vcX = colapsingVertex.getX()
105
       vcY = colapsingVertex.getY()
106
       eb = colapsingEdge
       cb = cells [colapsingEdge.get_cells_belonging(vertices)[0]]
108
       verticesBottom = eb.getVerticesBelonging()
109
       if cb.getVertexOrder(verticesBottom[0]) > cb.getVertexOrder(
          verticesBottom[1]):
           vrr = verticesBottom[0]
           vll = verticesBottom[1]
112
       else:
           vll = verticesBottom[0]
           vrr = verticesBottom[1]
       vlNewX, vlNewY = moveVertexOverEdge(vertices, edges, vll, vrr, eb.getEdgeID
          ())
       vl.set_new_x(vlNewX) # sets vl new position
117
       vl.set new y(vlNewY) # sets vl new position
118
       vl.update()
119
120
       vrNewX, vrNewY = moveVertexOverEdge(vertices, edges, vrr, vll, eb.getEdgeID
121
           ())
       verticesNumber = max(vertices.keys()) + 1
       vr = vertices [verticesNumber] = Vertex(vrNewX, vrNewY)
       vertices [verticesNumber].setVertexID(verticesNumber)
       eb.set_vertex_from_ID(vl, vrr) # Replaces Eb with vc
126
       verticesNumber += 1
       vc = vertices [vertices Number] = Vertex (vcX, vcY)
128
       vertices [verticesNumber].setVertexID(verticesNumber)
129
1.30
       ct1 = cells [vl.getCellsBelonging()[0]]
       ct2 = cells [vl.getCellsBelonging()[1]]
132
```

```
if ct1.getVertexOrder(vtc) > ct1.getVertexOrder(vl.getVertexID()):
           ctl = ct1
           ctr = ct2
135
           vtl = ct1.getVertexOrder(vl.getVertexID()-1)
136
           vtr = ct2.getVertexOrder(vl.getVertexID()+1)
138
       else:
           ctl = ct2
139
           ctr = ct1
           vtl = ct2.getVertexOrder(vl.getVertexID()-1)
           vtr = ct1.getVertexOrder(vl.getVertexID()+1)
143
       verticesTop = vl.getEdgesBelonging()
144
       for edgeID in verticesTop:
           if vtr.getVertexID() in edges[edgeID].getVerticesBelonging():
146
               er = edges[edgeID]
147
           elif vtl.getVertexID() in edges[edgeID].getVerticesBelonging():
               el = edges[edgeID]
           else:
150
               ec = edges[edgeID]
151
               ecVertices = set(ec.getVerticesBelonging())
               ecVertices.remove(vl.getVertexID())
154
               vtc = list(ecVertices)[0]
       er.set_vertex_from_ID(vr, vl.getVertexID()) # Replaces Er with vr
156
       ec.set_vertex_from_ID(vc, vl.getVertexID()) # Replaces Er with vr
158
       edgesNumber = max(edges.keys()) + 1
       edges[edgesNumber] = Edge(edgesNumber, vl, vc, ec.getLineConstant(), ec.
          minimumDistance)
       edgesNumber += 1
161
       edges [edgesNumber] = Edge(edgesNumber, vc, vr, ec.getLineConstant(), ec.
          minimumDistance)
       edgesNumber += 1
       edges [edgesNumber] = Edge (edgesNumber, vr, vertices [vrr], eb.
          getLineConstant(), ec.minimumDistance)
       vllOrderBottom = cb.getVertexOrder(vll)
166
       cb.add vertex(vl, vllOrderBottom)
167
       cb.add_vertex(vc, vllOrderBottom)
168
       cb.add_vertex(vr,vllOrderBottom)
       vtcOrderBottom = ctl.getVertexOrder(vtc)
170
       ctl.add_vertex(vc, vtcOrderBottom)
172
       vtrOrderBottom = ctl.getVertexOrder(vtr)
       ctr.add_vertex(vc, vtrOrderBottom)
173
174
       ctr.add_vertex(vr,vtrOrderBottom)
175
       vl.addCellsBelonging(cb.get_cellID())
       vc.addCellsBelonging(cb.get_cellID())
178
       vc.addCellsBelonging(ctr.get_cellID())
       vc.addCellsBelonging(ctl.get_cellID())
       vr.addCellsBelonging(cb.get_cellID())
180
       vr.addCellsBelonging(ctr.get_cellID())
```

```
vr.addCellsBelonging(ctl.get_cellID())
182
183
       return vertices, edges, cells
184
185
186 def t3caseC(configuration, vertices, edges, cells, colisionPoint,
      colapsingVertex, colapsingEdgeVertices, colapsingVertexEdges):
       vc = colapsingVertex
187
       ct = cells [vc.getCellsBelonging()[0]]
188
       colapsing Vertex Vertices = []
189
       for eachEdge in colapsingVertexEdges:
190
           for eachVertex in edges[eachEdge].getVerticesBelonging():
191
                colapsing Vertex Vertices.append(each Vertex)
192
       vl = vertices [np.intersect1d (colapsingEdgeVertices,
193
          colapsing Vertex Vertices)[0]]
       for edgeID in colapsingVertexEdges:
           if vl.getVertexID() in edges[edgeID].getVerticesBelonging():
               ec = edges[edgeID]
196
           else:
                edgeVerticesSet = set(edges[edgeID].getVerticesBelonging()[:])
198
                edgeVerticesSet.remove(vc.getVertexID())
199
               vt = vertices [list(edgeVerticesSet)[0]]
200
       ec.set_vertex_from_ID(vt, vc.getVertexID()) # Replaces Ec with vt
201
       configuration.removeVertex(vc.getVertexID()) # Remove vc from the
202
       vl.set_new_x(colisionPoint[0]) # sets vl new position
       vl.set_new_y(colisionPoint[1]) # sets vl new position
204
       vl.update()
205
       ct.remove_vertex(vc.getVertexID())
       del vc
207
       del ec
208
209
       return vertices, edges, cells
210
  def t3caseD (vertices, edges, cells, colisionPoint, colapsingVertex,
212
      colapsingEdge, colapsingEdgeVertices, colapsingVertexEdges):
       vc = colapsingVertex
213
       for vertexID in colapsingEdgeVertices:
214
           for vcEdgeID in vc.getEdgesBelonging():
215
               if vertexID in edges[vcEdgeID].getVerticesBelonging():
216
                    vl = vertices [vertexID]
       for vcEdgeID in vc.getEdgesBelonging():
218
           for vcCellID in edges[vcEdgeID].get_cells_belonging(vertices):
                if vcCellID in vl.getCellsBelonging() and vl.getVertexID() not
220
                    in edges [vcEdgeID].getVerticesBelonging():
                    el = edges[vcEdgeID]
221
222
       eb = colapsingEdge
       colapsingEdgeVerticesCopy = colapsingEdgeVertices[:]
       colapsingEdgeVerticesCopy.remove(vl.getVertexID())
       vrID = colapsingEdgeVerticesCopy[0]
       cb = cells [colapsingEdge.get_cells_belonging(vertices) [0]]
228
```

```
vc.set_new_x(colisionPoint[0]) # sets vl new position
229
       vc.set_new_y(colisionPoint[1]) # sets vl new position
230
       vc.update()
231
       for eachCellID in el.get_cells_belonging(vertices):
232
           if vl.getVertexID() in cells[eachCellID].get_cell_vertices():
233
               cl = cells [eachCellID]
           else:
235
               ct = cells [eachCellID]
236
       vlOrder = max([ct.getVertexOrder(el.getVerticesBelonging()[0]),ct.
          getVertexOrder(el.getVerticesBelonging()[1])])
       eb.set_vertex_from_ID(vc, vl.getVertexID()) # Replaces Eb with vc
239
       el.set_vertex_from_ID(vl, vc.getVertexID()) # Replaces El with vl
       vc.addCellsBelonging(cb.get_cellID())
241
       vcOrder = max([cb.getVertexOrder(vl.getVertexID()),cb.getVertexOrder(
242
          vrID)))
       cb.add vertex (vc, vcOrder)
       ct.add_vertex(vl,vlOrder)
244
       vl.addCellsBelonging(ct.get_cellID())
245
       vc.remove_cells_belonging(cl.get_cellID())
       cl.remove_vertex(vc.getVertexID())
248
       return vertices, edges, cells
249
```

Listing 5.5: Definiciones de los intercambios T3 del tejido en el archivo *swaps.py*.

5.1.4 División celular

Un aspecto importante durante el estudio de tejidos en desarrollo o regeneración es la división celular. Diversos modelos pueden ser introducidos sobre división celular. En esta implementación utilizaremos un modelo sencillo en el cual a cada paso se le asigna a cada célula una probabilidad, $P_{divisin}$, de que lleve a cabo una división celular. Se elige al azar una recta que pasa por el centro de la célula. En la intersección entre la misma y los lados de la célula se crean dos vértices. Entre los nuevos vértices se crea un lado que servirá de división entre ambas células. Se puede ver un esquema del mismo en la figura 5.6. La célula hija heredará las propiedades de la célula madre.

La implementación de la división celular se encuentra en en la función cell_division que puede encontrarse en el archivo cell_division_random_angle.py.

```
def cell_division(configuration, cellID, cellTypesLineConstant):
    cells = configuration.getCells()
    edges = configuration.getEdges()
    vertices = configuration.getVertices()

cellLen = cells[cellID].getVertexNumber()
    if cellLen > 3:  # check if this is necessesary for all the cases

randomAngle1 = random.uniform(0,2*np.pi)
    randomAngle2 = randomAngle1+np.pi
```

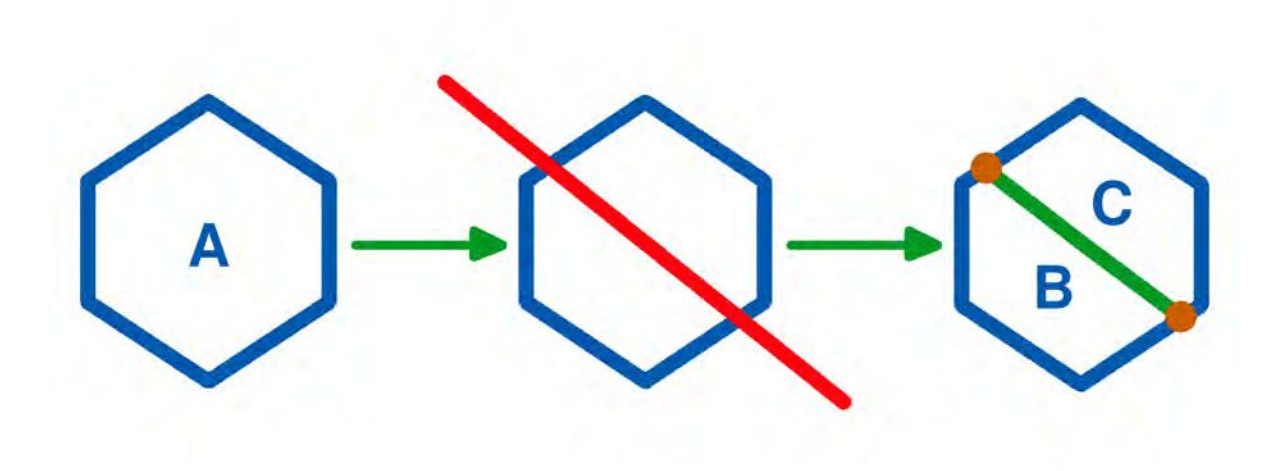


Figura 5.6: Esquema de la implementación de la división celular. La célula A es atravesada por un plano al azar que pasa por el centro de la misma (línea roja). En la intersección entre el plano y los lados de la célula se crean dos vértices y se crea un lado entre ellos. Finalmente se crean las nuevas células (B y C).

```
if randomAngle2 > 2*np.pi:
12
              randomAngle2 = randomAngle2 - 2*np.pi
13
14
          # This find the vertices angles previous and next to the
              random Angle
          orderRange1 = find_range(configuration, cellID, randomAngle1)
16
          orderRange2 = find_range(configuration, cellID, randomAngle2)
17
18
          idOrder1 = (cells [cellID].getVertexFromOrder(orderRange1[0]).
19
              getVertexID(), cells [cellID].getVertexFromOrder(orderRange1[1]).
              getVertexID())
          idOrder2 = (cells [cellID].getVertexFromOrder(orderRange2[0]).
20
              getVertexID(), cells [cellID].getVertexFromOrder(orderRange2[1]).
              getVertexID())
21
          # This find the new vertices position
          newVertex1pos = intersection (configuration, cellID, randomAngle1,
              idOrder1)
          newVertex2pos = intersection(configuration, cellID, randomAngle2,
              idOrder2)
25
          cells, edges, vertices, newOrder1 = vertex_and_edges_rearrangement(
26
```

```
cellID, cells, edges, vertices, idOrder1, newVertex1pos,
              cellTypesLineConstant)
          newOrder1ID = cells [cellID].getVertexFromOrder(newOrder1).
27
              getVertexID()
          cells, edges, vertices, newOrder2 = vertex_and_edges_rearrangement(
28
              cellID, cells, edges, vertices, idOrder2, newVertex2pos,
              cellTypesLineConstant)
          r1 = cells [cellID].getVertexOrder(newOrder1ID)
          vertex1 = cells [cellID].getVertexFromOrder(r1)
          r2 = newOrder2
32
          vertex2 = cells [cellID].getVertexFromOrder(r2)
          if r1 < r2:
35
               newVertices = [cells [cellID].getVertexFromOrder(r1).
                  getVertexID()]
               for vertex in range (r1+1,r2):
                   new Vertices.append(cells[cellID].getVertexFromOrder(r1+1).
                      getVertexID())
                   vertices [cells [cellID].getVertexFromOrder(r1+1).
39
                       getVertexID()].remove_cells_belonging(cellID)
                   cells [cellID].remove_vertex(cells [cellID].
40
                      getVertexFromOrder(r1+1).getVertexID())
               newVertices.append(cells[cellID].getVertexFromOrder(r1+1).
                  getVertexID())
          else:
               newVertices = [cells [cellID].getVertexFromOrder(r2).
43
                  getVertexID()]
               for vertex in range (r2+1,r1):
                   new Vertices.append(cells [cellID].getVertexFromOrder(r2+1).
45
                       getVertexID())
                   vertices [cells [cellID].getVertexFromOrder(r2+1).
                      getVertexID()].remove_cells_belonging(cellID)
                   cells [cellID].remove_vertex(cells [cellID].
47
                      getVertexFromOrder(r2+1).getVertexID())
               newVertices.append(cells[cellID].getVertexFromOrder(r2+1).
                  getVertexID())
          newEdgeID = len(edges)+1
50
          while newEdgeID in edges:
               newEdgeID += 1
          edges [newEdgeID] = Edge (newEdgeID, vertex1, vertex2,
                                    cellTypesLineConstant [str(cells [cellID].
                                        get\_cell\_typeID())*2],
                                    \min Dist = list(edges.values())[0].
55
                                       minimumDistance)
          vertices [vertex1.getVertexID()].addEdgesBelonging(newEdgeID)
          vertices [vertex2.getVertexID()].addEdgesBelonging(newEdgeID)
58
          newVerticesObj = {}
59
          if r1 < r2:
60
               for vertex, vertexOrder in zip(newVertices, range(0,len(
61
```

```
newVertices))):
                   newVerticesObj[vertexOrder] = vertices[vertex]
          else:
63
               for vertex , vertexOrder in zip(newVertices , range(0,len(
64
                  newVertices))):
                   newVerticesObj[vertexOrder] = vertices[vertex]
65
66
          newCellID = len(cells)+1
          while newCellID in cells:
               newCellID += 1
           cells [newCellID] = Cell(newVerticesObj, newCellID, cells [cellID].
71
              cellType)
           cells [newCellID].set_cell_cycle_length(cells[cellID].
72
              get_cell_cycle_length())
73
          for eachVertex, vertexOrder in zip(newVertices, range(0,len()))
              newVertices))):
               vertices [eachVertex].addCellsBelonging(newCellID)
76
          for edgeID, edge in edges.items():
               cellsBelonging = edge.get_cells_belonging(vertices)
78
               if len(cellsBelonging) == 1:
                   edges [edgeID].set_line_constant(cellTypesLineConstant[str(
                       cells [cellsBelonging [0]].get_cell_typeID())+'M'])
               else:
81
                   edges [edgeID].set_line_constant(cellTypesLineConstant[str(
82
                       cells [cellsBelonging [0]].get_cell_typeID())+str(cells[
                       cellsBelonging[1]].get_cell_typeID())])
83
      return vertices, edges, cells
84
```

Listing 5.6: Implementación de la división celular en cell_division_random_angle.py.

5.1.5 Condiciones iniciales

Las funciones necesarias para crear la condición inicial se encuentran en el archivo voronoi.py, que permite crear un reticulado regular del tipo panal de abejas. Además, el archivo initial_geometry.py da la posibilidad de elegir entre una serie de geometrías predefinidas para la distribución de los tipos celulares cuando se define más de uno.

5.1.6 Condiciones de contorno

Un aspecto importante al realizar una simulación computacional es definir las condiciones de contorno que se utilizarán en la misma. En *SysVert* se implementaron condiciones periódicas y absorbentes. La implementación de estas condiciones se realiza en diversos lugares del código. Siempre que se realice un cambio en las posiciones de los vértices se debe chequear si se encuentra o no dentro de la caja para corregir su posición

si fuera necesario. Las funciones esenciales que determinan las dimensiones de la caja entre otras cosas se encuentran en el archivo boundary_conditions.py.

5.2 Estructura de SysVert

La estructura del programa tiene un núcleo que que consiste en cuatro clases de objetos: Vertex, Edge, Cell y Lattice, que son sencillamente abastracciones de los vértices, lados, células del modelo de vértices y de la caja de simulación. Las clases mencionadas se encuentran definidas en vertex.py, edge.py, cells.py y lattice.py, respectivamente. En la clase Lattice "viven" el resto de los objetos del tejido simulado: vertices, lados y células; al mismo tiempo esta clase contiene métodos que permiten obtener los datos que emergen de las simulación del tejido. A cada paso de tiempo el objeto lattice es actualizado registrando los cambios en el resto de los objetos.

5.2.1 Clase Lattice

Los atributos de esta clase son:

- vertices (diccionario): donde cada clave corresponde a un número que identifica al vértice (vertexID) y el valor a un objeto vértice.
- edges (diccionario): donde cada clave corresponde a un número que identifica al lado (edgeID) y el valor a un objeto lado.
- cells (diccionario): donde cada clave corresponde a un número que identifica a la célula (cellID) y el valor a un objeto célula.

```
def cell_division(configuration, cellID, cellTypesLineConstant, cellTypes)
      cells = configuration.getCells()
      edges = configuration.getEdges()
3
      vertices = configuration.getVertices()
4
      cellLen = cells [cellID].getVertexNumber()
6
                              # check if this is necessesary for all the
      if cellLen > 3:
         cases
8
          randomAngle1 = np.random.uniform(0,2*np.pi)
          randomAngle2 = randomAngle1+np.pi
          if randomAngle2 > 2*np.pi:
              randomAngle2 = randomAngle2 - 2*np.pi
14
          # This find the vertices angles previous and next to the
15
             randomAngle
          orderRange1 = find_range(configuration, cellID, randomAngle1)
```

```
orderRange2 = find_range(configuration, cellID, randomAngle2)
18
          idOrder1 = (cells [cellID].getVertexFromOrder(orderRange1[0]).
19
              getVertexID(), cells [cellID].getVertexFromOrder(orderRange1[1]).
              getVertexID())
          idOrder2 = (cells [cellID].getVertexFromOrder(orderRange2[0]).
20
              getVertexID(), cells [cellID].getVertexFromOrder(orderRange2[1]).
              getVertexID())
          # This find the new vertices position
          newVertex1pos = intersection (configuration, cellID, randomAngle1,
              idOrder1)
          newVertex2pos = intersection (configuration, cellID, randomAngle2,
              idOrder2)
25
          cells, edges, vertices, newOrder1 = vertex and edges rearrangement (
26
              cellID, cells, edges, vertices, idOrder1, newVertex1pos,
              cellTypesLineConstant)
          newOrder1ID = cells [cellID].getVertexFromOrder(newOrder1).
              getVertexID()
          cells, edges, vertices, newOrder2 = vertex_and_edges_rearrangement(
28
              cellID, cells, edges, vertices, idOrder2, newVertex2pos,
              cellTypesLineConstant)
29
          r1 = cells [cellID].getVertexOrder(newOrder1ID)
30
          vertex1 = cells [cellID].getVertexFromOrder(r1)
31
          r2 = newOrder2
32
          vertex2 = cells [cellID].getVertexFromOrder(r2)
34
          if r1 < r2:
35
               newVertices = [cells [cellID].getVertexFromOrder(r1).
36
                  getVertexID()
              for vertex in range (r1+1,r2):
                   newVertices.append(cells[cellID].getVertexFromOrder(r1+1).
38
                       getVertexID())
                   vertices [cells [cellID].getVertexFromOrder(r1+1).
39
                       getVertexID()].remove cells belonging(cellID)
                   cells [cellID].remove_vertex(cells [cellID].
40
                       getVertexFromOrder(r1+1).getVertexID())
               newVertices.append(cells[cellID].getVertexFromOrder(r1+1).
                  getVertexID())
          else:
42
               newVertices = [cells [cellID].getVertexFromOrder(r2).
43
                  getVertexID()]
              for vertex in range (r2+1,r1):
44
                   newVertices.append(cells[cellID].getVertexFromOrder(r2+1).
45
                       getVertexID())
                   vertices [cells [cellID].getVertexFromOrder(r2+1).
                       getVertexID()].remove cells belonging(cellID)
                   cells [cellID].remove_vertex(cells [cellID].
47
                       getVertexFromOrder(r2+1).getVertexID())
               newVertices.append(cells[cellID].getVertexFromOrder(r2+1).
48
```

```
getVertexID())
           newEdgeID = len(edges)+1
50
           while newEdgeID in edges:
51
               newEdgeID += 1
52
53
           edges [newEdgeID] = Edge(newEdgeID, vertex1, vertex2,
54
                                     cellTypesLineConstant[str(cells[cellID].
55
                                        get\_cell\_typeID())*2],
                                    minDist=list(edges.values())[0].
56
                                        minimumDistance)
           vertices [vertex1.getVertexID()].addEdgesBelonging(newEdgeID)
57
           vertices | vertex2.getVertexID() | .addEdgesBelonging(newEdgeID)
59
           newVerticesObj = \{\}
60
           if r1 < r2:
61
               for vertex, vertexOrder in zip(newVertices, range(0,len(
62
                  new Vertices))):
                   newVerticesObj[vertexOrder] = vertices[vertex]
63
           else:
               for vertex, vertexOrder in zip(newVertices, range(0,len(
                  newVertices))):
                   newVerticesObj[vertexOrder] = vertices[vertex]
66
67
           newCellID = len(cells)+1
68
           while newCellID in cells:
69
               newCellID += 1
70
           cells [newCellID] = Cell(newVerticesObj, newCellID, cells [cellID].
72
              cellType)
           mCellType = str(cells[cellID].get_cell_typeID())
           cells [newCellID].set_cell_cycle_length(cellTypes[mCellType]]'
              cellCycleLength'](cellTypes[mCellType]['cellCycleLengthMean'],
              cellTypes [mCellType]['cellCycleLengthStd']))
           cells [newCellID].cellCycleReset()
75
           cells [cellID].set_cell_cycle_length(cellTypes[mCellType]];
76
              cellCycleLength'](cellTypes[mCellType]['cellCycleLengthMean'],
              cellTypes [mCellType] ['cellCycleLengthStd']))
           cells [cellID].cellCycleReset()
           for each Vertex, vertexOrder in zip(newVertices, range(0,len(
79
              newVertices))):
               vertices [eachVertex].addCellsBelonging(newCellID)
80
81
           for edgeID, edge in edges.items():
82
               cellsBelonging = edge.get_cells_belonging(vertices)
83
               if len(cellsBelonging) == 1:
                   #edges[edgeID].set line constant(cellTypesLineConstant[str
85
                       (cells [cellsBelonging [0]].get_cell_typeID())*2])
                   edges [edgeID].set_line_constant(cellTypesLineConstant[str(
86
                       cells [cellsBelonging [0]].get_cell_typeID())+'M'])
               else:
87
```

```
edges [edgeID].set_line_constant(cellTypesLineConstant[str(
88
                       cells [cellsBelonging [0]].get_cell_typeID())+str(cells[
                       cellsBelonging[1]].get_cell_typeID())])
89
       return vertices, edges, cells
90
91
  def find_range(configuration, cellID, randomAngle):
92
       cells = configuration.getCells()
       vertices = configuration.getVertices()
       centerX, centerY = cells [cellID].get cell center(configuration)
95
       allVertices = cells [cellID].get_cell_vertices()
96
97
98
       anglesDict = \{\}
       for each Vertex in all Vertices:
           boxX = configuration.get_box_size('x')
100
           boxY = configuration.get_box_size('y')
           newX = vertices [eachVertex].getX() - centerX
           newY = vertices [eachVertex].getY() - centerY
           if abs(newX) > boxX/2:
104
               newX = newX - np.sign(newX) * boxX
105
           if abs(newY) > boxY/2:
106
               newY = newY - np.sign(newY) * boxY
           vertexAngle = np.arctan2(newY, newX)
108
           if vertexAngle < 0:
109
                vertexAngle = vertexAngle + 2*np.pi
           anglesDict[vertexAngle] = eachVertex
112
       if randomAngle in anglesDict.keys():
           randomAngle = randomAngle + 0.0001
114
       anglesDictSorted = sorted(anglesDict.items())
       allKeys = []
       allValues = []
117
       for eachKey in anglesDictSorted:
118
           allKeys.append(eachKey[0])
       for eachValue in anglesDictSorted:
120
           allValues.append(eachValue[1])
121
       1 = bs. bisect left (allKeys, randomAngle)
       r = bs.bisect_right(allKeys,randomAngle)
       if l == len(allKeys):
           1 = 0
126
       if r == 0:
           r = len(allKeys)
130
       idMinus = anglesDictSorted[1][1]
       idPlus = anglesDictSorted[r-1][1]
       return cells [cellID].getVertexOrder(idMinus),cells [cellID].
          getVertexOrder(idPlus)
      intersection (configuration, cellID, randomAngle, idOrder):
135
       boxX = configuration.get box size('x')
136
```

```
boxY = configuration.get_box_size('y')
       cells = configuration.getCells()
139
       vertices = configuration.getVertices()
140
       vertex1 = vertices [idOrder [0]]
       vertex2 = vertices [idOrder[1]]
143
1/1/1
       newX1 = vertex1.getX()
145
       newY1 = vertex1.getY()
147
       newX2 = vertex2.getX()
148
       newY2 = vertex2.getY()
150
       centerX , centerY = cells [cellID].get_cell_center(configuration)
151
152
       if abs(newX1-centerX) > boxX/2:
           newX1 = newX1 - np.sign(newX1-centerX) * boxX
154
       if abs(newY1-centerY) > boxY/2:
           newY1 = newY1 - np.sign(newY1-centerY) * boxY
156
       if abs(newX2-centerX) > boxX/2:
158
           newX2 = newX2 - np.sign(newX2-centerX) * boxX
159
       if abs(newY2-centerY) > boxY/2:
160
           newY2 = newY2 - np.sign(newY2-centerY) * boxY
162
       deltaX = newX2-newX1
163
       deltaY = newY2-newY1
165
       if deltaX != 0:
166
           m = (deltaY)/(deltaX)
           mp = np.tan(randomAngle)
           if (mp-m) != 0:
169
               newX = (newY1 - centerY - m*newX1 + mp*centerX) / (mp-m)
170
           else:
171
               newX = (newY1 - centerY - m*newX1 + mp*centerX) / (mp-m)
           newY = newY1 + m*(newX-newX1)
173
       else:
174
           newX = newX1
175
           mp = np. tan(randomAngle)
           newY = centerY + mp*(newX-centerX)
177
178
179
       if newX < configuration.get_box_limits('left'):</pre>
           newX = newX + boxX
180
181
       elif newX > configuration.get_box_limits('right'):
           newX = newX - boxX
182
       if newY < configuration.get_box_limits('bottom'):</pre>
           newY = newY + boxY
       elif newY > configuration.get_box_limits('top'):
185
           newY = newY - boxY
186
187
       return (newX, newY)
188
```

```
def vertex_and_edges_rearrangement (cellID, cells, edges, vertices, idRange,
      newVertexPos, cellTypesLineConstant):
       orderRange0 = cells [cellID].getVertexOrder(idRange[0])
191
       orderRange1 = cells [cellID].getVertexOrder(idRange[1])
192
       orderRange = (orderRange0, orderRange1)
193
       newVertexID = len(vertices)+1
194
       while newVertexID in vertices:
195
            newVertexID += 1
       vertices [newVertexID] = Vertex (newVertexPos[0], newVertexPos[1])
197
       vertices [newVertexID].setVertexID(newVertexID)
       if (len(cells [cellID].get\_cell\_vertices())-1,0) == (orderRange[0],
199
           \operatorname{orderRange}[1]) or (\operatorname{len}(\operatorname{cells}[\operatorname{cellID}], \operatorname{get\_cell\_vertices}()) - 1, 0) = (
           orderRange[1], orderRange[0]):
            newOrder = 0
200
201
       else:
            newOrder = max(orderRange[0], orderRange[1])
       cells [cellID].add vertex(vertices [newVertexID], newOrder)
203
204
       # Add cells to vertex
205
       vertices [newVertexID].addCellsBelonging(cellID)
       toAdd = np.intersect1d (vertices [idRange [0]].getCellsBelonging(),
207
           vertices [idRange [1]].getCellsBelonging())
       toAdd = np.delete(toAdd, np.argwhere(toAdd=cellID))
208
       if len(toAdd) != 0:
209
            toAdd = int(toAdd)
210
            vertices [newVertexID].addCellsBelonging(toAdd)
211
            toAddOrderRange0 = cells [toAdd].getVertexOrder(idRange[0])
212
            toAddOrderRange1 = cells [toAdd].getVertexOrder(idRange[1])
213
            if (len(cells[toAdd].get\_cell\_vertices())-1,0) = (
214
               toAddOrderRange0, toAddOrderRange1) or (len(cells[toAdd].
                get\_cell\_vertices())-1,0) == (toAddOrderRange1, toAddOrderRange0)
                ):
                newOrder2 = 0
            else:
216
                newOrder2 = max(toAddOrderRange0,toAddOrderRange1)
217
            cells [toAdd].add vertex(vertices [newVertexID], newOrder2)
218
219
       if newOrder == len(cells[cellID].get_cell_vertices())-1:
220
            replacePlus = 0
       else:
222
            replacePlus = newOrder+1
224
       if newOrder = 0:
225
            replaceMinus = len(cells [cellID].get_cell_vertices())-1
226
       else:
227
            replaceMinus = newOrder-1
       newEdgeID = len(edges) + 1
230
       while newEdgeID in edges:
            newEdgeID += 1
       vertex2 = cells [cellID].getVertexFromOrder(replacePlus)
```

```
edges [newEdgeID] = Edge(newEdgeID, vertices [newVertexID], vertex2,
234
                                 cellTypesLineConstant[str(cells[cellID].
                                    get\_cell\_typeID())*2],
                                 # minDist=list (edges.items())[0].minDist)
236
                                 minDist=list(edges.values())[0].
237
                                    minimum Distance)
238
       vertices [newVertexID].addEdgesBelonging(newEdgeID)
       vertices [vertex2.getVertexID()].addEdgesBelonging(newEdgeID)
       edgesList1 = vertices [cells [cellID].getVertexFromOrder(replaceMinus).
242
          getVertexID()].getEdgesBelonging()
       edgesList2 = vertices [cells [cellID].getVertexFromOrder(replacePlus).
243
          getVertexID()].getEdgesBelonging()
       edgeID = np.intersect1d(edgesList1,edgesList2)
244
245
       edges[int(edgeID)].set vertex from ID(vertices[newVertexID], cells[
           cellID ].getVertexFromOrder(replacePlus).getVertexID())
247
       return cells , edges , vertices , newOrder
248
```

Listing 5.7: Definición de la clase Lattice en el archivo lattice.py.

5.2.2 Clase Cell

Esta clase define métodos y atributos para las células. El constructor de la clase recibe los vértices de la células, el *cellID* y el tipo celular.

Uno de los métodos a destacar de la clase es el *periodic_conditions*, que calcula las imágenes periódicas de los vértices que cruzan los límites de la caja cuando se utilizan condiciones periódicos de contorno en la simulación.

```
1 class Cell:
      """This class defines methods and attributes for cells.
2
         The class constructor receives cell vertices, cell IDs and cell
3
         and generates the initial condition for all cells.
4
         Args:
               cellVerticesPassed: Dictionary of the cell's vertices. \n
               cellID: key that identifies each cell. \n
8
               cellTypePassed: All cell parameters.
Q
      22 22 22
      cellVertices = \{\}
12
            _init___(self, cellVerticesPassed, cellID, cellTypePassed,
          cellCycleLengthPassed=None, cellCycleTimePassed=None):
          self.cellVertices = cellVerticesPassed
14
          self.modified_vertices = None
15
16
          self.cellType = cellTypePassed
17
          self.set cellID(cellID)
18
```

```
self.set_cell_type(cellTypePassed)
19
20
           self.deterministicDiv = True
21
           self.cellCycleLength = cellCycleLengthPassed
22
           self.cellCycleTime = cellCycleTimePassed
23
           self.expression = \{\}
25
           self.expression_color = {}
26
           for vID, v in self.cellVertices.items():
28
               v.addCellsBelonging(self.get_cellID())
29
30
            _{\text{del}} _{\text{c}} (self):
31
32
    Delete vertices from a cell with a given cellID, that has been deleted.
34
35
           pass
36
      def periodic_positions(self, configuration):
37
38
    If in the initial condition then calculates the periodic positions
39
40
    Args:
41
         configuration (obj)
42
    Returns:
43
         modified_vertices (dict)
44
45
           if self.modified_vertices == None:
46
               return self.calculate periodic positions (configuration)
47
           else:
48
               return self.modified_vertices
49
50
51
      def calculate_periodic_positions(self, configuration):
52
    Calculates periodic images of vertices that cross boundary limits when
53
        using Periodic Boundary Conditions in order to recover entire cells.
54
    Args:
55
         configuration (obj)
56
    Returns:
57
         modified_vertices (dict)
58
           modified_vertices = {}
60
           boxX = configuration.get_box_size('x')
61
           boxY = configuration.get_box_size('y')
62
           arrayX = []
63
           arrayY = []
65
           for vertexID , vertex in self.cellVertices.items():
66
               arrayX.append(vertex.getX())
67
               arrayY.append(vertex.getY())
68
           minX = np.min(arrayX)
69
```

```
70
           \min Y = \operatorname{np.min}(\operatorname{array} Y)
           for vertexID , vertex in self.cellVertices.items():
72
                newx = vertex.getX()
                if configuration.get_periodic_conditions('x') and newx-minX >
74
                   boxX/2:
                    newx = vertex.getX()-boxX
75
                newy = vertex.getY()
76
                if configuration.get_periodic_conditions('y') and newy-minY >
                   boxY/2:
                    newy = vertex.getY()-boxY
78
                modified_vertices [vertexID] = (newx, newy)
80
           self.modified_vertices = modified_vertices
           return self.modified_vertices
81
82
       def getVertexNumber(self):
83
84
     Get the total number of vertices of the cell.
85
86
           Returns:
87
              verticesNumber (int)
89
           verticesNumber = len(self.cellVertices)
90
91
           return verticesNumber
92
93
       def getArea(self, configuration):
94
95
           Calculates the area of the cell by means of 'Gauss formula'.
96
97
           Returns:
98
              area (float)
99
100
           area1 = 0
           area2 = 0
           positions = self.periodic_positions(configuration)
           for k in range (0, self.getVertexNumber()-1):
104
                area1 += positions[k][0]*positions[k+1][1]
105
                area2 += positions[k+1][0]*positions[k][1]
106
           t1 = positions [self.getVertexNumber()-1][0]*positions[0][1]
           t2 = positions[0][0]*positions[self.getVertexNumber()-1][1]
108
           area = 0.5 * abs(area1+t1-area2-t2)
109
           return area
       def set_area_target(self,newTargetArea):
112
           Modifies the target area of the cell.
114
115
           Args:
116
              newTargetArea (float)
118
           self.targetArea = newTargetArea
119
```

```
def get_area_sign(self, configuration):
121
122
           Gives the area sign of the cell (related to order of vertices) for
                further calculation.
           Returns:
125
                -1 for clockwise ordered vertices. \n
126
                 1 for counterclockwise ordered vertices.
128
           area1 = 0
           area2 = 0
130
           positions = self.periodic_positions(configuration)
131
           for k in range (0, self.getVertexNumber()-1):
                area1 += positions [k][0]* positions [k+1][1]
                area2 += positions[k+1][0]*positions[k][1]
134
135
           t1 = positions[self.getVertexNumber()-1][0]*positions[0][1]
           t2 = positions[0][0]*positions[self.getVertexNumber()-1][1]
136
           area = 0.5 * (area1+t1-area2-t2)
           return np. sign (area)
138
139
       def getPerimeter(self, configuration):
140
141
142
           Calculates the cell perimeter
143
144
           Returns:
145
                perimeter (float)
146
147
           perimeter = 0
148
           positions \, = \, self.periodic\_positions \, (\, configuration \, )
149
           for k in range (0, self.getVertexNumber()-1):
                perimeter += np.sqrt((positions[k+1][0]-positions[k][0])**2+(
151
                   positions[k+1][1] - positions[k][1]) **2
           perimeter += np. sqrt((positions[0][0] - positions[self.
152
               getVertexNumber()-1[0])**2+(positions[0][1]-positions[self.
               getVertexNumber()-1][1])**2
           return perimeter
154
       def set_perimeter_target(self,newTargetPerimeter):
156
           Modifies the target perimeter of the cell.
158
           Args:
                newTargetPerimeter (float)
160
161
           self.targetPerimeter = newTargetPerimeter
162
       def get_perimeter_target(self):
           Gives the target perimeter of the cell.
166
167
```

```
168
           Args:
                targetPerimeter (float)
170
           return self.targetPerimeter
172
       def getVertexFromOrder(self, vertexCellID):
173
174
           Given a vertex order in the cell, returns the corresponding vertex
175
                object.
176
           Args:
                vertexCellID (int)
178
179
           Returns:
180
                toReturn (obj)
181
182
           if vertexCellID = -1:
               # I mean the last one
184
                toReturn = self.cellVertices[len(self.cellVertices) - 1]
185
           elif vertexCellID = -2:
186
               # I mean the last one
                toReturn = self.cellVertices[len(self.cellVertices) - 2]
188
           elif vertexCellID == len(self.cellVertices):
189
                toReturn = self.cellVertices[0]
190
           elif vertexCellID == len(self.cellVertices)+1:
                toReturn = self.cellVertices[1]
192
193
           else:
194
                toReturn = self.cellVertices[vertexCellID]
           return toReturn
196
       def get_cell_edges(self):
           # Returns a list with all the edges ID of the cell
198
199
           edgesList = set()
           cellEdges = []
200
           for vertexID , vertex in self.cellVertices.items():
201
                for edge in vertex.getEdgesBelonging():
                    if edge in edgesList:
203
                         cellEdges.append(edge)
204
                    edgesList.add(edge)
205
           return cellEdges
207
208
209
       def getVertexOrder(self, vertexID):
210
           Given a vertexID, get position in cellVertices()
211
212
213
           Args:
                vertexID (int)
215
           Returns:
                vertexOrder (int)
217
218
```

```
for vertexOrder, vertex in self.cellVertices.items():
219
                 if vertexID == vertex.getVertexID():
220
                     return vertexOrder
221
222
       def get_cell_vertices(self):
223
224
            Gives a list of the vertexIDs in the cell.
225
226
            Returns:
227
                 verticesOut (list)
228
            verticesOut = []
230
            for vertexOrder , vertex in sorted(self.cellVertices.items()):
231
                 verticesOut.append(vertex.getVertexID())
            return verticesOut
       def cell vertices reorder (self, configuration):
235
236
     Reorder cell vertices when disordered (anti-clockwise).
238
     Args:
239
          configuration (obj)
240
241
             \  \  \, \textbf{if} \  \  \, \textbf{self.get\_area\_sign} \, (\, \textbf{configuration} \, ) \, < \, 0 \colon \\
242
                 newCellVerticesOrder = \{\}
                 for cellOrder , vertex in self.cellVertices.items():
244
                      newCellVerticesOrder[self.getVertexNumber()-1-cellOrder] =
245
                 self.cellVertices = newCellVerticesOrder
246
247
       def getTargetArea(self):
248
249
250
            Gives the Target area of the cell.
251
            Returns:
252
                 targetArea (float)
253
254
            return self.targetArea
255
256
       def getTargetPerimeter(self):
257
258
            Gives the Target perimeter of the cell.
260
            Returns:
261
                 targetPerimeter (float)
262
263
            return self.targetPerimeter
264
       def setVertexFromOrder(self, orderPassed, vertexPassed):
266
267
            Given a vertex, assigns an order to it in the corresponding cell.
268
269
```

```
270
           Args:
                orderPassed (int) \n
271
                vertexPassed (obj)
272
273
            self.cellVertices[orderPassed] = vertexPassed
274
       def get_cell_center(self, configuration):
           Gives X and Y coordinates of the cell center.
279
           Returns:
280
                X position of cell center (float) \n
281
                Y position of cell center (float)
283
           sumX = 0
284
           sumY = 0
285
286
           positions = self.modified vertices
           vertexNumber = len(positions)
287
           for vertexID , vertex in positions.items():
288
                sumX += positions[vertexID][0]
289
                sumY += positions [vertexID][1]
           if sumX/vertexNumber < configuration.get_box_limits('left'):</pre>
291
                newx = sumX/vertexNumber + configuration.get_box_size('x')
292
           elif sumX/vertexNumber > configuration.get_box_limits('right'):
293
                newx = sumX/vertexNumber - configuration.get_box_size('x')
           else:
295
                newx = sumX/vertexNumber
296
           if sumY/vertexNumber < configuration.get_box_limits('bottom'):</pre>
297
                newy = sumY/vertexNumber + configuration.get box size('y')
           elif sumY/vertexNumber > configuration.get_box_limits('top'):
299
                newy = sumY/vertexNumber - configuration.get_box_size('y')
300
301
           else:
                newy = sumY/vertexNumber
302
           return newx, newy
303
304
       def set_cellID(self, cellID):
305
306
           Assigns cellID to a cell.
307
308
           Arg:
                cellID (int)
310
311
312
            self.cellID = cellID
313
314
       def get_cellID(self):
315
           Gives cellID of a cell.
316
318
           Returns:
                cellID (int)
319
320
           return self.cellID
321
```

```
322
       def add_vertex(self, vertex, vertexOrder):
324
           Adds a vertex to a cell.
325
326
           Args:
327
                vertex (obj) \n
                vertexOrder (int)
320
           for i in reversed(range(vertexOrder,len(self.cellVertices))):
331
                self.cellVertices[i+1] = self.cellVertices.pop(i)
           self.cellVertices[vertexOrder] = vertex
333
       def remove_vertex(self,vertexID):
335
336
           Remove a vertex with key vertexID from a cell.
337
338
           Args:
               vertexID (int)
340
341
           popOrder = self.getVertexOrder(vertexID)
           if popOrder+1 == len(self.cellVertices):
343
                self.cellVertices.pop(popOrder)
344
           else:
345
                for i in range (popOrder, len(self.cellVertices)-1):
346
                    self.cellVertices[i] = self.cellVertices.pop(i+1)
347
348
       def set_cell_type(self,cellTypePassed):
349
350
           Set the cell type for a given cell.
351
352
           Args:
               cellTypePassed (dict)
354
355
           self.cellType = cellTypePassed
356
           self.set_cellID(self.cellID)
357
           self.targetArea = cellTypePassed['targetArea']
358
           self.targetPerimeter = cellTypePassed['targetPerimeter']
359
           self.typeID = cellTypePassed['typeID']
360
           self.areaElasticityConstant = cellTypePassed['
               area Elasticity Constant']
           self.perimeterElasticityConstant = cellTypePassed['
362
               perimeterElasticityConstant'
           self.cellHeight = cellTypePassed['cellHeight']
           self.apoptotic = False
364
           self.apoptoticTime = None
365
           self.preApoptoticTargetArea = None
           self.preApoptoticTargetPerimeter = None
           self.minimumArea = cellTypePassed['minimumArea']
368
369
       def cell_cycle_shortening(self):
371
```

```
if 0 <= cycle_position <= g1_reduction:</pre>
372
           # cell in the G1 skip
               # G1 skipping part 1 (partial synchronization implementation
374
                   part 1)
                self.cellCycleTime = cycle_position-cycle_position
375
           elif g1 reduction < cycle position <= g1 length:
376
           # cell in the rest of G1
377
               # G1 skipping part 2 (partial synchronization implementation
378
                   part 2)
                self.cellCycleTime = cycle_position-g1_reduction
379
           elif g1_length < cycle_position <= g1_length+s_length:</pre>
380
           # cell in S phase
381
               # S mapping (proportional mapping implementation)
                self.cellCycleTime = int((cycle_position-g1_length)*((s_length
383
                   -s_reduction)/s_length)+(g1_length-g1_reduction))
           elif g1_length+s_length < cycle_position <= g1_length+s_length+
384
               g2m length + 2:
           # cell in G2/M
385
                self.cellCycleTime = cycle\_position-g1\_reduction-s\_reduction
386
           self.cellCycleLength = cycle_length-g1_reduction-s_reduction
387
389
       def get_cell_typeID(self):
390
391
           Gives cell typeID for a cell.
           Returns:
393
                typeID (int)
394
395
           return self.typeID
396
397
       def get_area_elasticity_constant(self):
398
399
           Gives area Elasticity Constant for a cell.
400
401
           Returns:
402
                area Elasticity Constant (float)
404
           return self.areaElasticityConstant
405
406
       def get_perimeter_elasticity_constant(self):
407
408
           Gives perimeter Elasticity Constant for a cell.
409
410
           Returns:
412
                perimeter Elasticity Constant (float)
413
           return self.perimeterElasticityConstant
414
       def get_cell_height(self):
416
417
           Gives the cell height.
418
```

```
Returns:
420
                cell Height (float)
421
422
            return self.cellHeight
423
424
       def next vertex (self, vID):
425
426
            Gives the next vertex from the one with ID vID.
            Args:
                vID (int)
430
            Returns:
431
                Next vertex in the cell (obj)
433
            return self.getVertexFromOrder(self.getVertexOrder(vID) + 1)
434
435
       def previous vertex (self, vID):
436
437
            Gives the previous vertex from the one with ID vID.
438
439
            Args:
440
                vID (int)
441
            Returns:
442
443
                 Previous vertex in the cell (obj)
445
            trv:
                return self.getVertexFromOrder(self.getVertexOrder(vID) - 1)
446
            except TypeError:
447
                print("TypeError: Cell ", self.get_cellID(), " doesn't have
448
                    vertex", vID )
                print("it has vertices: ")
449
                for id, v in self.cellVertices.items():
450
                print("Local ID: ", id, "Global ID: ", v.getVertexID())
print("Vertex order:", self.getVertexOrder(vID))
451
452
                 exit()
453
       def periodic cell(self, configuration):
455
            # Check if cell is periodic in x and/or y asking if the edges are
456
                periodic
            cellPeriodicX = False
457
            cellPeriodicY = False
458
            edges = configuration.getEdges()
459
460
            for edgeID in self.get_cell_edges():
                periodicX , periodicY = edges [edgeID]. periodic_edge(
461
                    configuration)
                if periodicX:
462
                     cellPeriodicX = True
                if periodicY:
                     cellPeriodicY = True
465
            return cellPeriodicX, cellPeriodicY
466
467
       def get cell cycle time(self):
468
```

```
22 22 22
469
470
            Gives the "position" of the cell in the cell cycle.
471
            Returns:
472
               typeID (int)
            return self.cellCycleTime
475
476
       def get_cell_cycle_length(self):
477
            Gives the length of the cell cycle.
479
480
481
            Returns:
                typeID (int)
482
483
            return self.cellCycleLength
484
       def set_cell_cycle_time(self,cellCycleTime):
486
            self.cellCycleTime = cellCycleTime
487
488
       def set_cell_cycle_length(self,cellCycleLength):
            self.cellCycleLength = cellCycleLength
490
491
492
       def get_cell_typeID(self):
            Gives cell typeID for a cell.
494
495
            Returns:
                typeID (int)
498
            return self.typeID
499
500
501
       def cellCycleTimeUpdate(self):
            self.cellCycleTime += 1
502
503
       def cellCycleReset(self):
            self.cellCycleTime = 0
505
506
       def is_apoptotic(self):
507
            Say if a cell is apoptotic or not.
509
510
511
            Returns:
                True if apoptotic, false if not (bool)
513
            return self.apoptotic
514
515
       def set apoptotic (self):
516
517
            Set a cell as an apoptotic one if it is not.
518
519
            if not self.is_apoptotic():
520
```

```
self.apoptotic = True
521
                self.apoptoticTime = 0
                self.preApoptoticTargetArea = self.getTargetArea()
523
                self.preApoptoticTargetPerimeter = self.getTargetPerimeter()
524
525
526
       def apoptotic_time_foward(self, apoptoticConstant):
527
528
           Changes cell properties during the cell apoptotic process.
530
           Args:
               apoptotic Constant (float)
532
           if self.is_apoptotic():
534
                self.apoptoticTime += 1
535
               newTargetArea = self.preApoptoticTargetArea*np.exp(-
536
                   apoptoticConstant*self.apoptoticTime)
                newTargetPerimeter = self.preApoptoticTargetPerimeter*np.exp(-
537
                   apoptoticConstant*self.apoptoticTime)
                self.set_area_target(newTargetArea)
538
                self.set_perimeter_target(newTargetPerimeter)
539
```

Listing 5.8: Definición de la clase Cell en el archivo *cells.py*.

5.2.3 Clase Edge

Esta clase define métodos y atributos para los lados. El constructor de la clase recibe el edgeID, ambos vértices que conforman el lado (vértice1 y vértice2), la constante de línea para calcular la contribución del borde a la energía (lineConstant) y la distancia miníma a la que se produce la transición topológica T1 (minDist). Cuando un lado es creado, los vértices correspondientes se asocian a ese lado.

```
class Edge:
      """This class defines methods and attributes for edges.
2
         The class constructor receives the edgeID, both vertices from the
            edge (vertex1 and vertex2), the Line Constant
         to calculate the contribution of the edge to the Energy (
            lineConstant), and the distance at which the T1
         topological transition occurs (minDist).
         When an edge is created, the corresponding vertices are associated
            to that edge.
         Args:
              edgeID: key that identifies each edge (int).\n
              vertex1: One of the vertices of the edge (obj).\n
              vertex2: The other vertex (obj).\n
              lineConstant: Line Constant to calculate the contribution of
12
                  the edge to the Hamiltonian (float).\n
              minDist: The distance at which the T1 topological transition
                 occurs (float).\n
         Raises:
14
```

```
15
               error: If vertex1 is equal to vertex2
      22 22 22
16
17
      def ___init___(self , edgeID , vertex1 , vertex2 , lineConstant , minDist):
18
          # Establish edge vertices
19
           self.vertex1 = vertex1
20
           self.vertex2 = vertex2
21
           self.lineConstant = lineConstant
22
23
           self.edgeID = edgeID
           self.minimumDistance = minDist
24
          # Create the link between those vertices:
25
           self.vertex1.addEdgesBelonging(self.edgeID)
26
27
           self.vertex2.addEdgesBelonging(self.edgeID)
28
           if self.vertex1 == self.vertex2:
29
               log.error ("Trying to create an edge with the same two vertices
30
               exit()
31
32
      def ___del___( self):
33
           pass
34
35
      def getEdgeID(self):
36
37
           Gives edgeID of an edge.
38
39
           Returns:
40
41
               edgeID (int)
42
           return self.edgeID
43
44
      def getDistances(self, configuration):
45
46
           Calculates Distance between vertices (edge length).
47
48
           Args:
49
               configuration (obj)
50
51
           Returns:
52
               deltaX (float): X component of the vector between vertex1 and
                   vertex2.\n
               deltaY (float): Y component of the vector between vertex1 and
54
                   vertex2.\n
               modulus (float): Distance between vertices (edge length).
56
           deltaX = self.vertex1.getX() - self.vertex2.getX()
57
           deltaY = self.vertex1.getY() - self.vertex2.getY()
58
           boxX = configuration.get_box_size('x')
           boxY = configuration.get_box_size('y')
60
           if abs(deltaX) > boxX/2:
61
               deltaX = deltaX - np. sign(deltaX) * boxX
           if abs(deltaY) > boxY/2:
63
```

```
deltaY = deltaY - np.sign(deltaY) * boxY
64
           modulus = np.sqrt(deltaX**2+deltaY**2)
65
           if modulus == 0:
66
                print("EdgeID:", self.getEdgeID())
67
               print("vertex1:", self.vertex1.getVertexID())
68
                print("vertex2:", self.vertex2.getVertexID())
69
           return deltaX, deltaY, modulus
70
71
       def getVerticesBelonging(self):
72
73
           Gives the IDs of the vertices of the edge.
74
75
76
           Returns:
           vertex1.getVertexID() (int) and vertex2.getVertexID() (int)
77
78
           return [self.vertex1.getVertexID(), self.vertex2.getVertexID()]
79
80
       def getLineConstant(self):
81
82
           Gives the Line Constant.
83
84
           Returns:
85
              lineConstant (float)
86
87
           return self.lineConstant
88
89
       def getLineX(self):
90
91
           Gives the X components of both vertices.
92
93
           Returns:
94
           vertex1.getX() (float) and vertex2.getX() (float)
95
96
           return (self.vertex1.getX(), self.vertex2.getX())
97
98
99
       def getLineY(self):
100
           Gives the Y components of both vertices.
           Returns:
              vertex1.getY() (float) and vertex2.getY() (float)
104
105
           return (self.vertex1.getY(), self.vertex2.getY())
106
       def set_vertex_from_ID(self, vertexNew, vertexOldID):
108
109
           Given an ID, replaces the vertex by a new one (used on T-Swaps).
110
111
           Args:
                vertexNew: new vertex to assign (obj).\n
                vertexOldID: ID of the old vertex (int).
114
115
```

```
if self.vertex1.getVertexID() == vertexOldID:
116
               self.vertex1.remove_edges_belonging(self.edgeID)
               self.vertex1 = vertexNew
118
               self.vertex1.addEdgesBelonging(self.edgeID)
119
           elif self.vertex2.getVertexID() == vertexOldID:
               self.vertex2.remove edges belonging(self.edgeID)
121
               self.vertex2 = vertexNew
               self.vertex2.addEdgesBelonging(self.edgeID)
123
124
       def get_cells_belonging(self, vertices):
125
           Gives the IDs of the cells to which the edge belongs.
128
           Returns:
129
              cellsBelonging (list).
130
           edgeVertices = self.getVerticesBelonging()
           cellsBelonging = np.intersect1d(vertices[edgeVertices[0]].
              getCellsBelonging(), vertices [edgeVertices [1]].getCellsBelonging
              ())
           return cellsBelonging
134
135
       136
           Sets a new Line Constant for the edge.
139
140
           Args:
              lineContantPassed (float).
141
142
           self.lineConstant = lineContantPassed
143
       def periodic_edge(self, configuration):
145
146
           Identifies if the edge abandons one side of the simulation box and
147
               enters the other side, and in which direction.
148
           Args:
149
              configuration (obj).
150
151
           Returns:
              periodicX (bool) and periodicY (bool)
153
154
           periodicX = False
           periodicY = False
156
157
           deltaX = self.vertex1.getX() - self.vertex2.getX()
           deltaY = self.vertex1.getY() - self.vertex2.getY()
158
           modulus = np. sqrt (deltaX**2+deltaY**2)
           boxX = configuration.get_box_size('x')
160
           boxY = configuration.get_box_size('y')
161
           if abs(deltaX) > boxX/2 and boxX != 0:
               periodicX = True
           if abs(deltaY) > boxY/2 and boxY != 0:
164
```

```
periodicY = True
165
           return periodicX, periodicY
166
167
       def previous_periodic_edge(self, configuration):
168
169
            Identifies if the edge abandons one side of the simulation box and
170
                enters the other side, and in which direction.
            Args:
               configuration (obj).
           Returns:
            periodicX (bool) and periodicY (bool)
177
           periodicX = False
178
           periodicY = False
179
           deltaX \ = \ self.vertex1.getPreviousX\left(\right) \ - \ self.vertex2.getPreviousX\left(\right)
180
           deltaY = self.vertex1.getPreviousY() - self.vertex2.getPreviousY()
181
           modulus = np.sqrt(deltaX**2+deltaY**2)
182
           boxX = configuration.get_box_size('x')
183
           boxY = configuration.get_box_size('y')
184
           if abs(deltaX) > boxX/2 and boxX != 0:
185
                periodicX = True
186
            if abs(deltaY) > boxY/2 and boxY != 0:
187
                periodicY = True
188
           return periodicX, periodicY
189
```

Listing 5.9: Definición de la clase Edge en el archivo edges.py.

5.2.3.1 Clase Vertex

Esta clase define métodos y atributos para los vértices. El constructor de clases recibe las componentes x e y de la posición del vértice. Cuando se crea una célula o un lado, la clase correspondiente se asociará automáticamente al vértice.

```
class Vertex:
      """This class defines methods and attributes for vertices.
2
         The class constructor receives x and y components of the vertex
             position. When a cell or an edge is created,
          the corresponding class will automatically associate them to the
4
             vertex, filling cellsBelonging and
         edgesBelonging lists with the given cellID and edgeID.
6
         Args:
               xPosPassed \colon \ X \ component \ of \ the \ vertex. \backslash \, n
8
               yPosPassed: Y component of the vertex.
9
      def
             _init___(self,xPosPassed,yPosPassed):
           self.xPos = xPosPassed
           self.yPos = yPosPassed
           self.xPreviousPos = xPosPassed
14
```

```
self.yPreviousPos = yPosPassed
15
           self.cellsBelonging = [] # list with cellIDs of the cells to which
16
                the vertex belongs.
           self.edgesBelonging = [] # list with edgeIDs of the edges to which
                the vertex belongs.
           self.fixed = False
18
19
      def ___del___(self):
20
21
           pass
22
      def getVertexID(self):
23
24
    Gives vertex ID.
25
26
           Returns:
27
           """ vertexID (int)
28
29
30
           return self.vertexID
31
      def getX(self):
32
33
           Gives X component of vertex position.
34
35
36
           Returns:
             xPos (float)
37
38
           return self.xPos
39
40
       def getY(self):
41
42
           Gives Y component of vertex position.
43
44
45
           Returns:
           ""yPos (float)
46
47
           return self.yPos
48
49
       def getCellsBelonging(self):
50
51
           Gives the IDs of the cells to which the vertex belongs.
52
53
           Returns:
54
              cellsBelonging (list)
55
56
           return self.cellsBelonging
57
58
       def getEdgesBelonging(self):
59
60
           Gives the IDs of the edges to which the vertex belongs.
61
62
           Returns:
63
              edgesBelonging (list)
64
```

```
22 22 22
65
           return self.edgesBelonging
66
67
       def setVertexID(self, vertexID):
68
69
           Sets the vertex ID.
70
71
           Args:
72
           "" vertexID (int)
74
            self.vertexID = vertexID
75
76
       def addCellsBelonging(self, cellID):
77
78
           Adds a cellID to the CellsBelonging list.
79
80
81
           Args:
               cellID (int)
82
83
           Warns:
84
              Gives a warning if the cellID is already in the list.
85
86
           if cellID in self.cellsBelonging:
87
                pass #print("*** WARNING *** Cell ID already in array: ",
88
                   cellID, "not added to ", self.getVertexID())
           else:
89
                self.cellsBelonging.append(cellID)
90
91
       def remove cells belonging (self, cellID):
92
93
           Removes a cellID from the cellsBelonging list.
94
95
96
           Args:
             cellID (int)
97
98
            self.cellsBelonging.remove(cellID)
99
100
       def addEdgesBelonging(self,edgeID):
102
          Adds an edgeID to the edgesBelonging list.
104
           Args:
105
               edgeID (int)
106
108
               Gives a warning if the edgeID is already in the list.
109
110
          if edgeID in self.edgesBelonging:
111
               pass #print("*** WARNING *** Edge ID already in array: ",
                  edgeID , " not added to ", self.getVertexID())
          else:
113
                self.edgesBelonging.append(edgeID)
114
```

```
116
       def remove_edges_belonging(self, edgeID):
117
           Removes an edgeID from the edgesBelonging list.
118
119
           Args:
120
              edgeID (int)
122
           self.edgesBelonging.remove(edgeID)
123
124
       def set_new_x(self, xPos):
125
126
           Sets (updates) the new X component of vertex position.
127
128
           Args:
129
           xPos (float)
130
131
           self.xPosNew = xPos
132
133
       def set_new_y(self, yPos):
134
           Sets (updates) the new Y component of vertex position.
136
138
           Args:
           ""yPos (float)
139
140
            self.yPosNew = yPos
141
142
       def update(self):
143
144
           Sets (updates) the new X and y components of vertex position.
145
147
           self.xPreviousPos = self.xPos
           self.yPreviousPos = self.yPos
148
           self.xPos = self.xPosNew
149
           self.yPos = self.yPosNew
151
       def getPreviousX(self):
152
           Gives X component of vertex position in the previous step.
155
           Returns:
156
              xPreviousPos (float)
157
158
           return self.xPreviousPos
159
160
       def getPreviousY(self):
161
162
           Gives Y component of vertex position in the previous step.
163
164
           Returns:
               yPreviousPos (float)
166
```

```
"""return self.yPreviousPos
```

Listing 5.10: Definición de la clase Vertex en el archivo vertex.py.

5.3 ¿Cómo se corre y que datos se pueden obtener de una simulación en SysVert?

Para correr una simulación basta con definir los parámetros en el archivo jurite.py y correrlo, creando de esta forma un archivo model.json (formato JSON) conteniendo los parámetros de la corrida. Luego llamar a jread.py para dar inicio a la simulación. El resultado de las simulaciones podrá encontrarse en la carpeta simulations. Dentro de este directorio el usuario se encontrará con una carpeta que responde al nombre que se le ha dado al proyecto en el archivo jurite.py y dentro de ella, con un número de imágenes en formato .pnga distintos tiempos de simulación (el número de archivos queda determinado por el número total de pasos de simulación y una frecuencia de plotteo definidos también en jurite.py). En el directorio del proyecto habrá cuatro archivos ".log" que contienen diversos tipos datos de las células, lados y vértices del tejido, que pueden encontrarse en cells.log, edges.log y vertices.log respectivamente; y datos de distintas propiedades emergentes de la simulación del tejido en el archivo lattice.log.

CAPÍTULO 6

Modelado de la regeneración de la médula espinal del axolotl en 2D

Si eres flexible, te mantendrás recto.

—Lao Tse

El modelo de la médula espinal del axolotl en 1D que se presentó previamente tiene la ventaja de ser un modelo sencillo que permitió una parametrización confiable dado el reducido número de parámetros, algunos obtenidos a través de experimentos previos y otros ajustados a uno de los sets de datos experimentales de los que disponíamos, a la vez que ofrece un costo computacional muy bajo por las mismas razones. El modelo permitió realizar predicciones interesantes que sirvieron de inspiración para realizar los experimentos con AxFUCCI y así entender como la dinámica de crecimiento del tejido, la médula espinal del axolotl, es conducida por una regulación espacio-temporal del ciclo celular de las células ependimales. Las fuerzas que experimenta un tejido in vivo están íntimamente relacionadas al citoesqueleto, que a su vez, se relaciona con una serie de redes de señalización que regulan el ciclo celular. En esta sección estudiaré como es la distribución y la evolución de las fuerzas en el tejido a través de un nuevo modelo de dos dimensiones implementado en el paquete SysVert buscando posibles indicios sobre el comportamiento y la naturaleza de la señal hipotética.

6.1 Configuración de la simulación del tejido en 2D en SysVert

Los parámetros de corrida en SysVert se definen en el archivo *jwrite.py*. Detalleré en esta sección la parametrización de la simulación de la médula espinal del axolotl en 2D a través del modelo de vertex implementado en SysVert.

6.1.1 Geometría del tejido simulado

Las células ependimales que formal el canal central de la médula espinal del axolotl se disponen en un tejido pseudo-estratificado. A raíz de esta disposición modelamos el tejido como un rectángulo con condiciones periódicas de contorno en el eje y para obtener el equivalente a un cilindro. En -x la caja de simulación tiene condiciones absorbentes para capturar el hecho de que el tejido no puede crecer en esa dirección. Finalmente en +x el tejido puede crecer libremente, recapitulando la amputación del tejido.

Las dimensiones del tejido simulado fueron escaladas para reducir los tiempos computacionales de las simulaciones individuales, 1/10 en el eje y de manera que tendremos 3 células en esta dirección y 1/40 en el eje x dejándonos 5 células en esta dirección. A la izquierda se encontraría la cabeza del animal (lado anterior) y a la derecha el plano de amputación (lado posterior).

Figura 6.1: Mapeo de las simulación 2D a un cilindro que representa la médula espinal. A) Condición inicial. Todas las células del tejido poseen una longitud de ciclo celular largo (células verdes). (B) Mapeo de la condición inicial Mapeo del tejido simulado a un cilindro mediante un software de edición de imágenes graficando como se abstrae la geometría cilíndrica de la médula espinal a nuestro modelo en 2D.

Listing 6.1: Párametros de la geometría del tejido en el archivo jurite.py.

En la condición inicial entonces, tendremos un tejido confluente de 3 células en la dirección del eje y (ncellx) y 5 células en la dirección del eje x (ncelly). La longitud de los lados que formarán los hexágonos regulares representando a la células ependimales están normalizados a 1 (chl). Como se menciono más arriba el tejido tendrá condiciones periódicas en el eje y (periodicY) y condiciones absorbentes en -x

6.1.2 Tipos celulares

En la condición inicial la mayoría de las células serán de tipo no reclutadas (*Non-recruited*), es decir, con un ciclo celular largo (no alcanzadas por la señal). La asignación de las posiciones en el ciclo celular se realizaron de la misma forma que para el modelo 1D presentado en el capítulo 3.

```
celltype = {
       'typeName': 'Non-recruited',
2
       'typeID': 0,
3
       'targetArea': regularArea,
4
       'targetPerimeter': regularPerimeter,
       'areaElasticityConstant': areaElasticityConstant,
       'perimeterElasticityConstant': perimeterElasticityConstant,
       'minimumArea': minimumArea,
8
       'cellHeight': cellHeight,
9
      'divisionp': 0,
      'deterministicDiv': True,
      'cellCycleLength': lognormal,
       'cellCycleLengthMean':long_cycle_mean,
13
       'cellCycleLengthStd':long_cycle_std,
       'cellCycleTime': tc_distribution,
15
       'apoptoticConstant': 0,
16
       'apoptoticProbability': 0}
17
  cell["0"] = celltype
  celltype = {
20
       'typeName': 'Recruited',
21
       'typeID': 1,
       'targetArea': regularArea,
23
       'targetPerimeter': regularPerimeter,
24
       'areaElasticityConstant': areaElasticityConstant,
      'perimeterElasticityConstant': perimeterElasticityConstant,
      'minimumArea': minimumArea,
27
      'cellHeight': cellHeight,
28
       'divisionp': 0,
29
       'deterministicDiv': True,
30
       'cellCycleLength': lognormal,
31
      'cellCycleLengthMean':short_cycle_mean,
32
       'cellCycleLengthStd':short_cycle_std,
33
      'cellCycleTime': tc distribution,
34
```

```
35     'apoptoticConstant': 0,
36     'apoptoticProbability': 0}
37     cell["1"] = celltype
```

Listing 6.2: Párametros de los tipos celulares del tejido en el archivo jurite.py.

Luego las células alcanzadas por la señal en nuestra simulación cambiarán su tipo celular (implementación en la clase Cell), acortando su ciclo celular siguiendo el mismo modelo de sincronización parcial de la fase G1 y mapeo proporcional de la fase S que se uso en el modelo 1D.

6.1.3 Tensiones de línea

Las tensiones de línea se definen de a pares, en una suerte de matriz a la que llamamos cellTypesLineConstant en SysVert: M representa al medio, θ a las células de tipo no recultadas y 1 a las células de tipo recultadas.

Luego se define la distancia mínima (minDist) para que sea posible un intercambio de tipo 1 y la constante de tensión de línea (ctlc).

Listing 6.3: Tensiones de línea del tejido en el archivo *jwrite.py*.

Todas las tensiones de a pares fueron definidas con un valor nulo como primera aproximación. El fin de esto es evitar la presencia de fuerzas de interacción entre células o con el medio, para que el modelo sea similar al modelo unidimensional pero incorporando a este modelo 2D la capacidad de deformación y cambio de área de las células.

6.1.4 La señal

Aprovechando los resultados de las predicciones de mi modelo 1D, validadas con distintos sets de datos de los que disponíamos en primer lugar, y posteriormente confirmados por los primeros experimentos con la técnica FUCCI realizados en axolotl, parametricé la dinámica de distribución espacio-temporal de la señal que fue obtenida a través del ajuste al switchpoint experimental de Rost et al., 2016 y descripta por los parámetros λ (lambda) (escalado de manera de ser coherente con la geometría escalada) y τ (tau).

```
1 # Signal parameters
2 signal = {
3 'lambda': 830/scaladoEspacio,  # scaled
4 'tau': 5100*scaladoTiempo,  # minutes}
```

Listing 6.4: Párametros de la señal en el archivo jurite.py.

6.2 Resultados de simulación

Las simulaciones se corrieron por un total de 11520 pasos (nstep) equivalentes a 8 días y a pasos de 1min (dt). Cada 100 pasos se exportaron datos de la simulación para los vértices, lados, células y propiedades emergentes del tejido (logVerticesFrequency, logEdgesFrequency, logCellsFrequency y <math>logLatticeFrequency).

```
# Simulations parameters

simu = {

'nstep': 11520*scaladoTiempo # 8 days in minutes

','dt': dt

','checkPointFrequency': 20

','runFromCheckPoint': False

','checkPointFile': None

','plotFrequency': 20

','folder': 'simulations/'+str(simulation_name)

','logVerticesFrequency': 20

','logEdgesFrequency': 20

','logCellsFrequency': 20

','logCellsFrequency': 20

','logLatticeFrequency': 20

','timeSplittedLogs': False

'}
```

Listing 6.5: Párametros generales de la simulación en el archivo jurite.py.

Parametricé los multiplicadores de Lagrange correspondientes a las fuerzas de área y fuerzas de perímetro de manera que sean lo mas altas posibles manteniendo un tejido coherente, es decir, que no se rompa debido a que las fuerzas eran demasiado grandes. Esta parametrización me permitió tener un punto de partida lo mas cercano posible al modelo de esferas duras para explorar posteriormente otras configuraciones de fuerzas y estudiar como es la respuesta en la dinámica de crecimiento del tejido y en la distribución de los tipos celulares en el tejido.

6.2.1 Modelo de médula espinal sin reclutamiento celular

En primera instancia se realizaron 33 simulaciones del tejido en ausencia de la señal, por lo que no hay reclutamiento en ninguna célula del tejido en todo el tiempo de simulación. En la Figura 6.2 se muestra un ejemplo.

Utilizando las 33 simulaciones generadas a partir de 33 semillas aleatorias se calculo el crecimiento en cada una de ellas tomando el centro de la célula que se encontraba mas a la derecha (lado posterior) del tejido simulado. Los resultados de crecimiento predichos

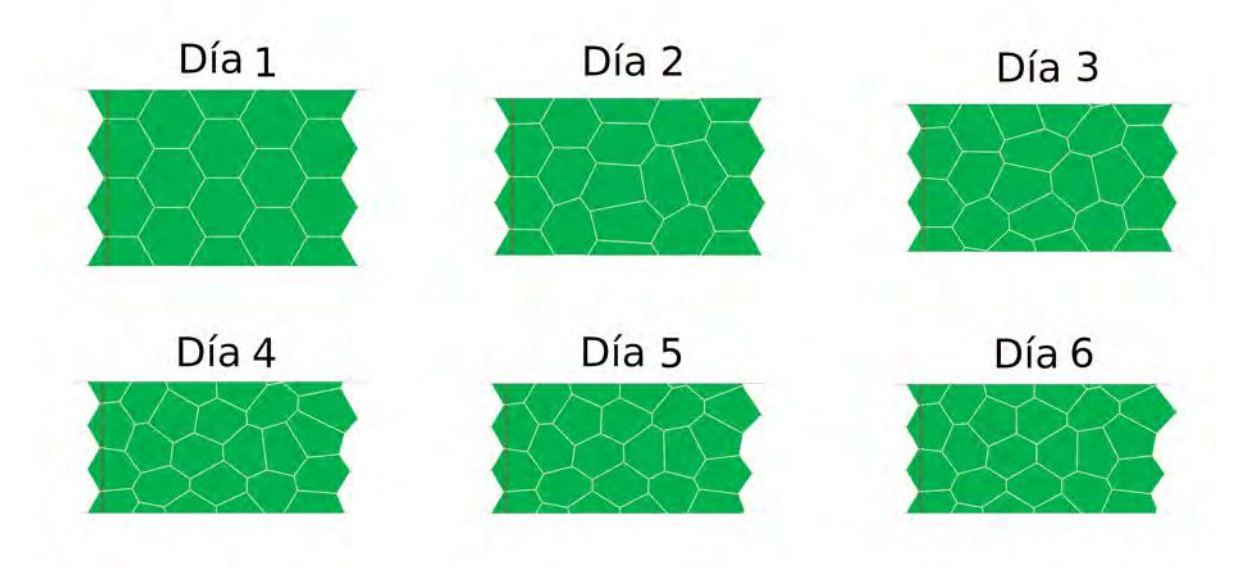


Figura 6.2: Simulación de la médula espinal del axolotl en 2D mediante Sys-Vert sin presencia de la señal. Ejemplo de una simulación sin presencia de la señal y por lo tanto sin reclutamiento. Las células son verdes en todo el tejido y para todo tiempo, es decir, células no reclutadas.

por este modelo se comparan con los datos experimentales de las cinéticas de crecimiento en las que la aceleración del ciclo celular fue evitada al noquear a Sox2 (Figura 6.3).

El modelo es capaz de recapitular los datos experimentales en estas condiciones.

6.2.2 Modelo de médula espinal con reclutamiento celular

En segunda instancia, se incorporó al modelo la señal. Nuevamente se tiene una velocidad de reclutamiento lineal con el tiempo y bajo la acción de esta señal las células reclutadas dividen mas rápidamente. En la Figura 6.4 se muestra un ejemplo.

Utilizando las 33 simulaciones generadas a partir de 33 semillas aleatorias se calculo el crecimiento en cada una de ellas tomando el centro de la célula que se encontraba mas a la derecha (lado posterior) del tejido simulado. La predicción del crecimiento para este modelo se muestra superpuesto a la cinética de crecimiento de la médula espinal en condiciones regenerativas (Figura 6.5 B). Asimismo se grafica el *switchpoint* experimental con el recruitment limit predicho por el modelo (Figura 6.5 A).

El límite de reclutamiento modelado se ajusta con éxito a la curva del *switchpoint* experimental y la predicción del modelo coincide además con la cinética de crecimiento experimental de la médula espinal del axolotl.

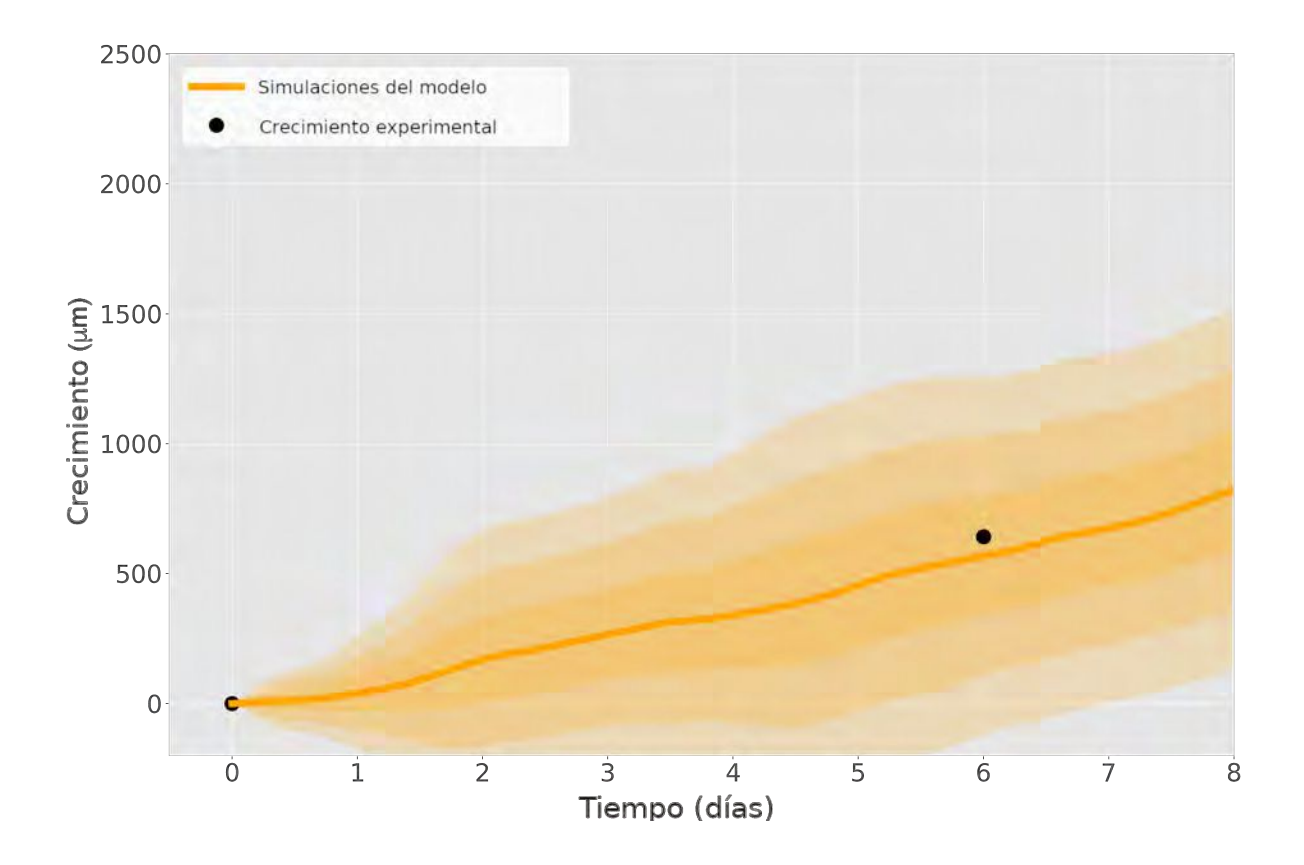


Figura 6.3: El modelo 2D reproduce la reducción del crecimiento experimental cuando se impide la aceleración de la proliferación celular. Predicción del modelo asumiendo que ni las longitudes de la fase S ni la de la fase G1 se acortaron, superpuestas con las cinéticas de crecimiento experimental en las que la aceleración del ciclo celular evitada al noquear a Sox2 (Fei et al.,2014). La línea naranja corresponde a la media, mientras que las áreas sombreadas corresponden a intervalos de confianza de 68, 95 y 99, 7%, de más oscuro a más claro, calculados a partir de 33 simulaciones.

6.2.3 Mecanismo hipotético de interrupción del reclutamiento

A continuación utilicé los dos modelos 2D (con y sin reclutamiento) validados a partir de las predicciones previas para analizar que ocurre con el área de las células a medida que el tejido crece. Para esto se calculo el área promedio en todo el tejido para cada tiempo en ambos modelos (Figura 6.6). Conforme avanza la simulación, y se suceden las divisiones celulares, el tejido sufre compresión, es decir, no alcanzan su área objetivo (A_{kt}) . Esta compresión como consecuencia de las divisiones se hace mas notable en las simulaciones con reclutamiento que en las que no existe reclutamiento (como es de esperar debido a la diferencia en el número de divisiones). Concretamente

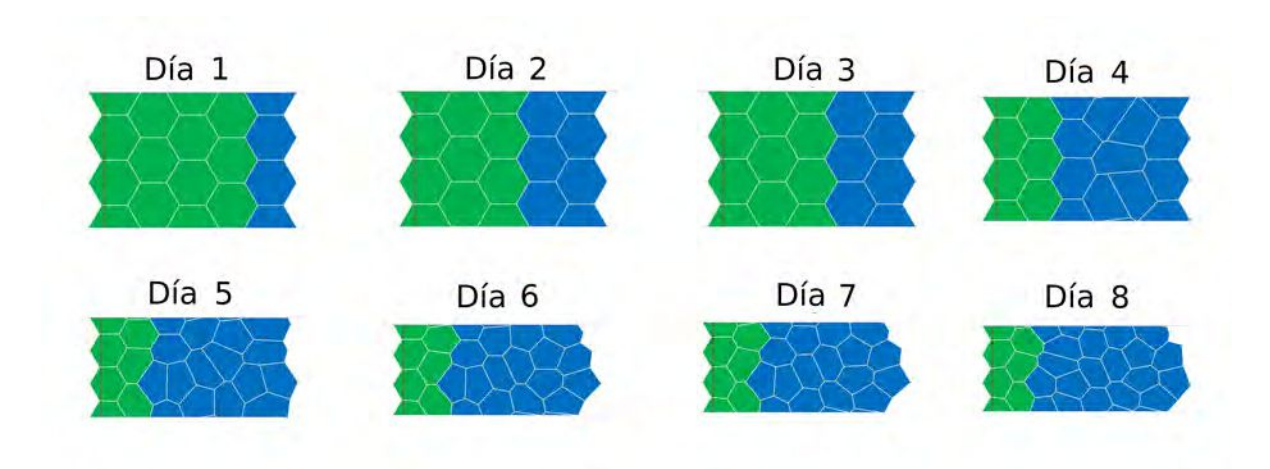


Figura 6.4: Simulación de la médula espinal del axolotl en 2D mediante Sys-Vert en presencia de la señal. Ejemplo de una simulación sin presencia de la señal y por lo tanto con reclutamiento. Las células son verdes en la condición inicial y son reclutadas linealmente con el tiempo a medida que avanza la señal desde el extremo posterior hacia el lado posterior tornándose color azul.

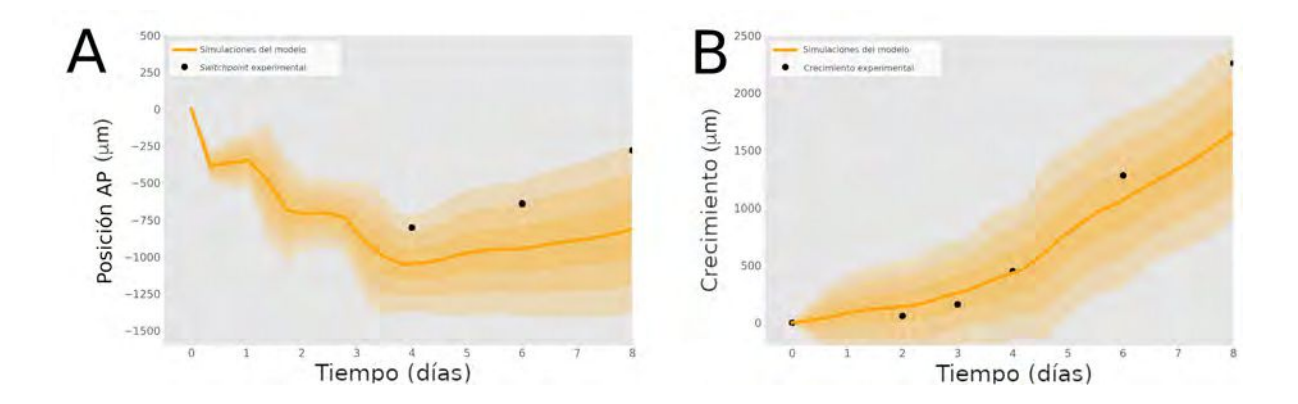


Figura 6.5: El modelo 2D reproduce los datos experimentales de la médula espinal del axolotl en regeneración A) El límite de reclutamiento modelado se ajusta con éxito a la curva de switchpoint experimental. B) El modelo coincide cuantitativamente con la cinética de crecimiento experimental de la médula espinal del axolotl (Rost et al., 2016). Las líneas naranjas corresponde a las medias, mientras que las áreas sombreadas corresponden a intervalos de confianza de 68, 95 y 99, 7%, de más oscuro a más claro, calculados a partir de 33 simulaciones.

esta diferencia comienza a ser evidente entre los días 3 y 4. Notablemente el modelo 1D me había arrojado la predicción de que la señal debería extenderse en el tejido hasta las 85 horas post-amputación (3,6 días). Este resultado me permite formular la hipótesis de que la señal podría detenerse como consecuencia de que las células experimenten una compresión en el tejido a medida que avanza el proceso regenerativo.

Para explorar con mayor detalle esta hipótesis se graficó el área promedio de las células en las 33 simulaciones como función del tiempo y el espacio (en bins de $500\mu m$) en la Figura 6.7. Adicionalmente en la figura 6.7B se superpone el *swithpoint* experimental y el límite de reclutamiento promedio en las simulaciones.

En la Figura 6.7A no se ven grandes cambios de área en el tiempo, y donde se observan los cambios no son muy bruscos. Por otra parte en la Figura 6.7B puede observarse que a partir de día 3 comienza a comprimirse levente el tejido en la región mas anterior y esta compresión aumenta con el tiempo y se mueve posteriormente. Por debajo del límite de reclutamiento (línea naranja) se encuentran las células reclutadas que entre día 3 y 4 comienzan a reducir su área. Esto sugiere que un modelo en el cual el reclutamiento de las células se detenga por acción de la compresión en el tejido podría ser coherente con los resultados de modelado y experimentales.

6.2.4 Cota en la compresibilidad de las células durante el proceso regenerativo

Los resultados obtenidos de las simulaciones anteriores corresponden a una parametrización en la cuál los multiplicadores de Lagrange del modelo de vértices son los más grandes posibles (células lo menos deformables posibles) que hayan permitido modelar un tejido sin que las fuerzas simuladas hagan que el tejido se rompa. Para explorar una condición en la cuál el área de las células fuera todavía más deformable, disminuí los multiplicadores de Lagrange del área y del perímetro en un orden de magnitud respecto de los valores correspondientes a las simulaciones mostradas previamente. Realicé simulaciones con reclutamiento y, como era de esperarse, las células se comprimieron en promedio con el transcurso de las simulación (y por tanto, con el aumento de las proliferaciones acumuladas), llegando a valores por debajo de las $100\mu m^2$ a día 8 (Figura 6.8). Estos valores de área celular están por debajo de lo esperable para los experimentos si se tiene en cuenta que el desvío estándar en el largo de las células a lo largo del eje AP es de 0,1µm: propagando el error del área de la célula se obtiene que el 99% de las células debería tener un área entre $107 \text{ y } 119 \mu m^2$, por lo tanto, las simulaciones en las que redujimos los multiplicadores de Lagrange para el área y el perímetro conducen a área celulares predichas significativamente por debajo de las informadas experimentalmente.

La predicción para el crecimiento de esta variante del modelo refleja la compresión del tejido, prediciendo un crecimiento muy inferior a la esperada por los datos experimentales (Figura 6.9).

Esta última variante del modelo permite validar la parametrización de los multiplicadores de Lagrange al indicar una cota inferior sobre los valores que estos pueden

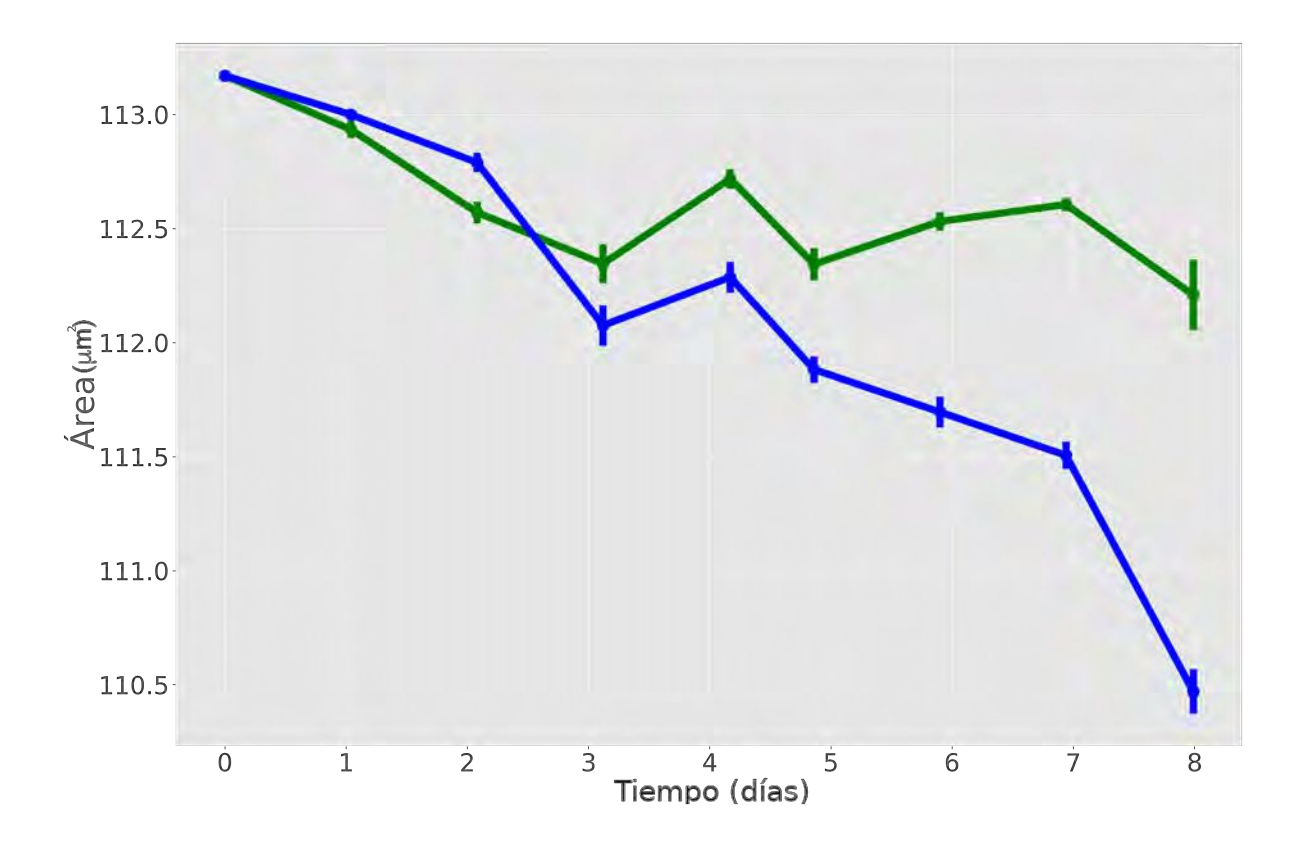


Figura 6.6: Las células en el escenario con reclutamiento sufren una mayor compresión que las células en el escenario sin reclutamiento. Cuando las células son reclutadas la probabilidad de división es mayor y como consecuencia de esto, las células tienen menos espacio para acomodarse (al menos transitoriamente) porque se tiene una mayor población de células. La diferencia en el área entre los dos escenarios comienza a hacerse evidente entre día 3 y 4.

tomar, evitando así una compresión muy alta del tejido que no permita reproducir el crecimiento experimental observado. Es de notar que este resultado, por otra parte, es consistente con las determinaciones experimentales de la densidad celular, que sea informado no cambia demasiado $(2,3\pm0,6cel/\mu m)$ en el espacio ni en el tiempo en el tejido en regeneración (Rost et~al.~2016).

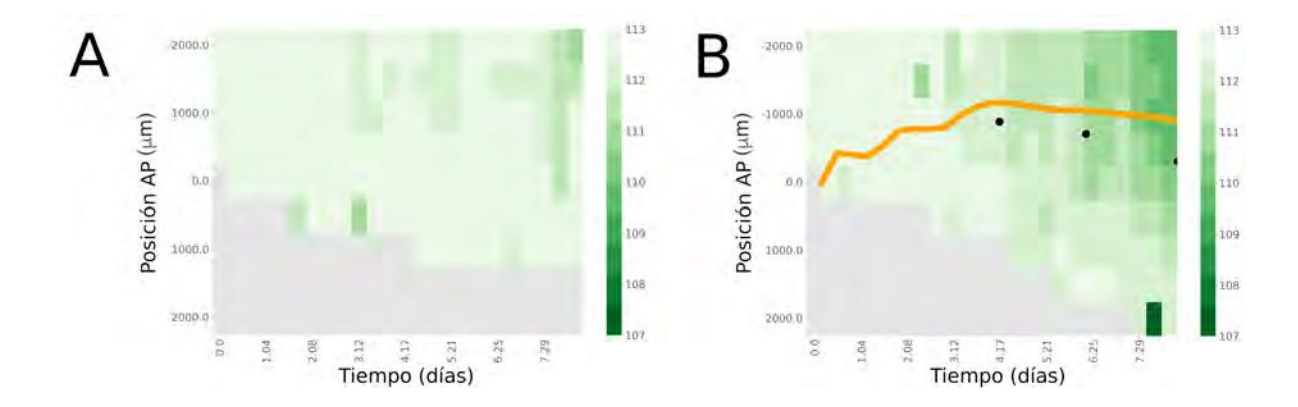


Figura 6.7: Área de las células como función del tiempo y el espacio para los dos escenarios. A) Escenario sin reclutamiento. No existen grandes cambios del área de las células en el tiempo ni en el espacio, los cambios observados son relativamente pequeños. B) Escenario con reclutamiento. Entre día 3 y 4 se observa una disminución del área de las células que comienza en el lado mas posterior del tejido y aumenta a medida que avanza la simulación (y se tiene mas divisiones) hacia regiones anteriores. El espacio fue binneado de a 500µm y se promedio el área de las células en cada bin y en las 33 simulaciones.

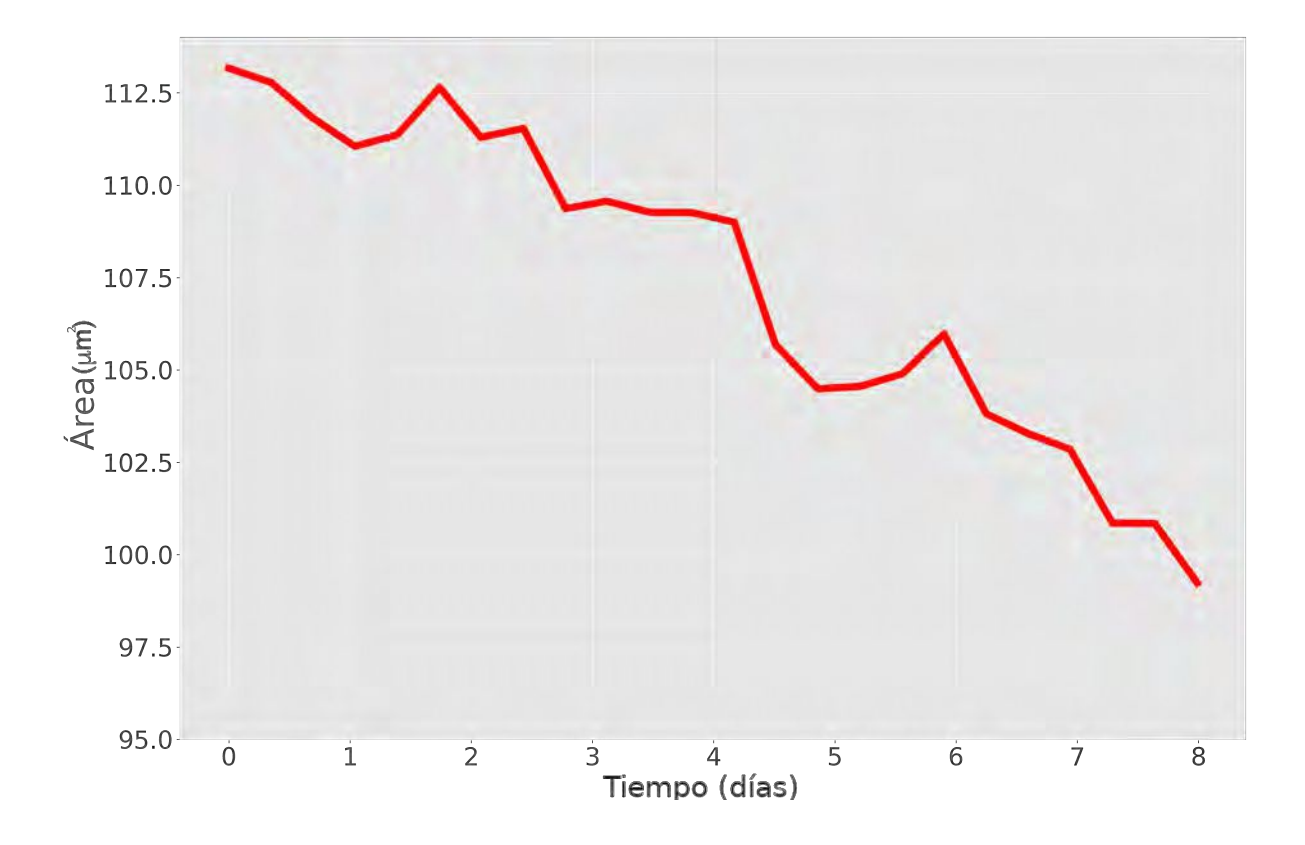


Figura 6.8: Cuando las células se vuelven poco deformables el tejido se comprime por debajo de lo reportado experimentalmente. Segun lo reportado por los experimentos el 99% de las células debería tener un área entre 107 y 119µm2. Esto pone una cota en la compresibilidad de las células durante las simulaciones.

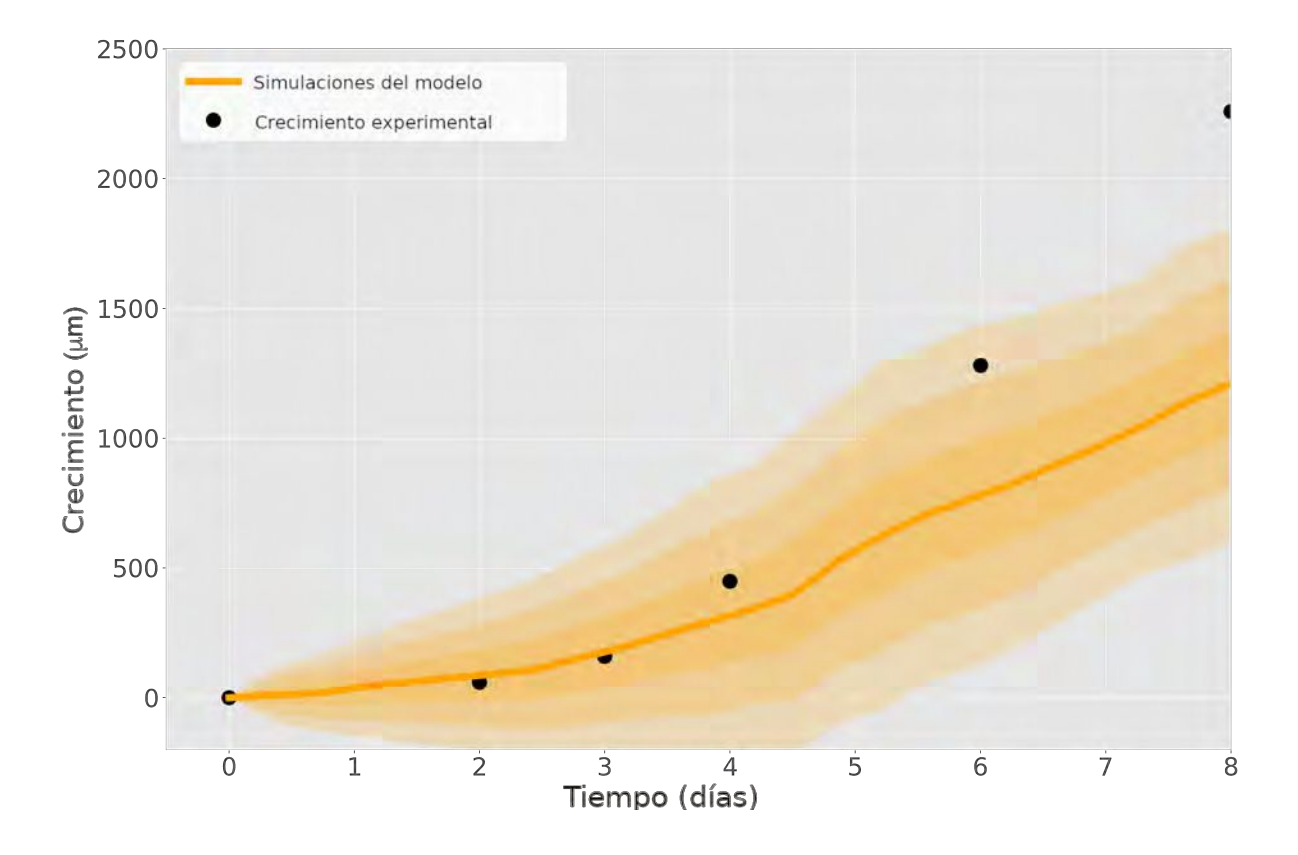


Figura 6.9: Cuando las células se comprimen por debajo del área reportada experimentalmente el modelo no es capaz de reproducir el crecimiento experimental de la médula espinal.

CAPÍTULO 7

Discusión

Fue su quietud lo que me hizo inclinarme fascinado la primera vez que vi a los axolotl. Oscuramente me pareció comprender su voluntad secreta, abolir el espacio y el tiempo con una inmovilidad indiferente.

—Julio Cortázar

La respuesta del tejido a la lesión de la médula espinal difiere mucho entre los vertebrados. En mamíferos, incluidos humanos, las lesiones en la médula espinal a menudo resultan en daños permanentes en los tejidos. En salamandras como el axolotl, sin embargo, la respuesta de las células ependimales está estrechamente orquestada para reconstruir fielmente la médula espinal (Joven y Simon, 2018; Tazaki, Tanaka y Fei, 2017). Después de la amputación de la cola, las células ependimales de la médula espinal del axolotl cambian de divisiones celulares lentas neurogénicas, a más rápidas y proliferativas (Rodrigo Albors et al., 2015). Estos ciclos celulares más rápidos conducen a la expansión de la fuente de células madres ependimales y conduce a un crecimiento regenerativo explosivo. Sin embargo, los mecanismos que regulan la dinámica del ciclo celular durante la regeneración no se comprenden completamente. Aquí, utilizando un enfoque de modelado estrechamente vinculado a datos experimentales, encontramos que el patrón espacio-temporal de proliferación celular en la regeneración de la médula espinal del axolotl es consistente con una señal que se propaga anteriormente $828\mu m$ desde el sitio de la lesión durante las primeras 85 horas después de la amputación. Aunque, por simplicidad, nos referimos en este manuscrito a una sola señal inducida por la amputación, nuestro modelo podría extenderse naturalmente a la salida combinada de múltiples señales genéticas, químicas y/o biofísicas. Además, mostramos que el acortamiento de la fase S es suficiente para explicar el crecimiento explosivo observado durante los primeros días de regeneración, pero que tanto S y el acortamiento de G1 son necesarios para explicar/mantener un mayor crecimiento antes que las primeras neuronas recién nacidas se hagan visibles (Rodrigo Albors et al., 2015).

En comparación con la cantidad de modelos matemáticos diseñados para revelar los fenómenos de formación de patrones durante el desarrollo (Morelli et al., 2012), el modelado en regeneración está todavía en su infancia (Chara et al., 2014). Un ejemplo interesante de modelado aplicado a procesos regenerativos fue el de un sistema de ecuaciones diferenciales ordinarias deterministas que se utilizó magnificamente para desentrañar cómo los factores de señalización secretados podrían usarse para controlar la salida de linajes celulares de múltiples etapas renovando el tejido neural en el epitelio

120 7 Discusión

olfativo de los mamíferos (Lander et al., 2009). Otro modelo matemático basado en ecuaciones diferenciales ordinarias fue concebido para establecer la relación causal entre los procesos celulares cuantificados individualmente para desentrañar la dinámica de las células madre en la médula espinal en desarrollo en pollos y ratones (Kicheva et al., 2014). En un enfoque similar, previamente se modeló la médula espinal del axolotl en regeneración mediante un sistema de ecuaciones diferenciales ordinarias en forma determinista describiendo la cinética del ciclo y los números de células ependimales en reposo que fue mapeado a un modelo de crecimiento de la médula espinal (Rost et al., 2016). Esto nos permitió concluir que mientras la afluencia celular y la reentrada al ciclo celular juegan un papel menor, la aceleración del ciclo celular es el principal impulsor del crecimiento regenerativo de la médula espinal en axolotl (Rost et al., 2016). Un estudio más reciente basado en ecuaciones diferenciales ordinarias y parciales que implican la proliferación celular fue usado para predecir el crecimiento de la médula espinal del pez cuchillo (Ilieş, Sipahi & Zupanc, 2018).

En este estudio, investigamos la distribución espacio-temporal de la proliferación celular durante la regeneración de la médula espinal del axolotl. Para ello, y a diferencia de los artículos mencionados, desarrollamos un modelo basado en células, más general pero preciso, que introduce la dimensión espacial relevante para el problema: el eje AP. Para construir un modelo aún más realista, incluimos atributos no deterministas: una distribución exponencial de las coordenadas iniciales a lo largo del ciclo celular y una distribución lognormal de la duración del ciclo celular. En el modelo, una señal acorta el ciclo celular de las células ependimales a lo largo del eje AP como consecuencia de acortar sus fases G1 y S, como informamos anteriormente (Rodrigo Albors et al., 2015). La regulación de las fases G1 y S son mecanismos bien conocidos que controlan el destino y la salida de la célula en un número de contextos de desarrollo. En el cerebro, el alargamiento de G1 da como resultado ciclos celulares más largos en progenitores que experimentan neurogénesis (Lukaszewicz et al., 2005; Calegari et al., 2005; Takahashi, Nowakowski & Caviness, 1995), mientras que el acortamiento experimental de G1 en progenitores neurales de la corteza cerebral da como resultado divisiones más proliferativas, lo que aumenta la reserva de progenitores y retrasa neurogénesis (Salomoni y Calegari, 2010; Lange, Huttner y Calegari, 2009; Pilaz et al., 2009; Calegari, F. Y Huttner, 2003). Aquí, hemos demostrado que el acortamiento de G1 durante la regeneración de la médula espinal es necesario para sostener la expansión del conjunto de células ependimales. Juntos, estos hallazgos apuntan a la regulación de la longitud G1 como mecanismo clave que regula el aumento de divisiones de células madre/neurales progenitoras en el desarrollo y en la regeneración. La longitud de la fase S también se regula durante el desarrollo modulando el número de orígenes de replicación de ADN (Nordman & Orr-Weaver, 2012). En mamíferos, el acortamiento de la fase S parece desempeñar un papel en la regulación del modo de división celular: los progenitores neuronales en ratón comprometidos con la neurogénesis y los progenitores corticales neurogénicos en el hurón se someten a una fase S más corta que sus contrapartes autorrenovables/proliferativas (Turrero García et al., 2016; Arai et al., 2011). En el axolotl, las células ependimales en regeneración acortan la fase S durante la fase de expansión/crecimiento. Juntos, estos hallazgos sugieren que la regulación de la fase S controla la generación de células en un

7 Discusión

contexto de desarrollo y regeneración en lugar de influir en el modo de división celular. El acortamiento combinado de S y G1 en la médula espinal en regeneración sostiene la expansión del conjunto residente de células madre neurales/ependimales a expensas de la neurogénesis. En esta línea, el acortamiento experimental de las fases G1 y S en los progenitores corticales del cerebro de ratón en desarrollo retrasan la aparición de la neurogénesis (Hasenpush-Theil $et\ al.,\ 2018$). Nuestros hallazgos se suman a la evidencia de que la regulación del ciclo celular es un mecanismo clave que controla la cantidad y el tipo de células necesarias para generar y regenerar un tejido.

Otra predicción de nuestro modelo es que una señal debe extenderse a unos $800\mu m$ del lugar de la lesión mientras se reclutan células ependimales 85 horas después de la amputación para explicar el patrón espacio-temporal de proliferación en la médula espinal en regeneración. Para probar esta predicción experimentalmente, adaptamos la tecnología FUCCI a axolotl, lo que nos permitió visualizar la dinámica del ciclo celular in vivo. Encontramos un notable acuerdo entre nuestra predicción y el tamaño y momento de aparición de la zona de reclutamiento en la médula espinal AxFUCCI. Nuestra predicción se basó en datos de axolotls de 3cm de hocico-a-cola, mientras que las medidas de AxFUCCI se tomaron de axolotl de 5,5cm. Que el tamaño de la zona de reclutamiento sea constante entre estos dos tamaños de animales, podría ser importante para comprender la identidad de la señal inducida por la lesión y cómo se propaga para reclutar células ependimales. Experimentos futuros determinaran si el tamaño de la zona de reclutamiento también permanece constante en axolotls aún más grandes.

Un rasgo característico de nuestro modelo es que el acortamiento de G1 después de la amputación causa una sincronización parcial de las células ependimales entre sí a medida que pasan por G1. En esta tesis exploré dos mecanismos de acortamientos de la fase G1, ambos mecanismos dieron lugar a un proceso de sincronización. La sincronización del ciclo celular es difícil de medir en células $in\ vivo$. Aquí, la propiedad de AxFUCCI de etiquetar puntos de referencia breves y discretos en el ciclo celular (por ejemplo, la transición G1/S) nos permitió visualizar una alta sincronía G1/S a 1 y 2 días después de amputación $in\ vivo$. Es de notar que nuestro modelo asume, además, una sincronización parcial en la posición de las células en el ciclo celular en la condición inicial previa a la amputación. Interesantemente, cuando esta sincronización parcial desaparece o cuando es demasiado extrema las predicciones del modelo no reflejan los resultados experimentales, sugiriendo que esta sincronización parcial sería necesaria. Será interesante evaluar si existe sincronización durante la regeneración de otros tejidos en el axolotl (por ejemplo, una extremidad) y en otros organismos regenerativos.

Aunque observamos una excelente coincidencia entre nuestras simulaciones de modelado y los datos de AxFUCCI en términos del tamaño de la zona de reclutamiento en los días 4 y 5 después de la amputación, también encontramos diferencias en puntos de tiempo anteriores. En particular, encontramos que significativamente menos células ependimales en S/G2 en condiciones basales en el presente estudio en comparación con nuestro estudio anterior (Rost et al., 2016). Los experimentos AxFUCCI informados aquí se llevaron a cabo bajo restricciones operacionales relacionadas al COVID-19, en particular, se redujo la frecuencia de alimentación de los animales. Una reducción de la dieta podría plausiblemente tener impacto en la tasa de proliferación de células epen-

122 7 Discusión

dimales basales y el crecimiento animal. Tampoco podemos excluir un impacto de las condiciones generales de la vivienda, ya que los experimentos anteriores se realizaron en una instalación animal diferente con, por ejemplo, un suministro de agua diferente. Desde el punto de vista del análisis de datos, es importante tener en cuenta que en los experimentos AxFUCCI, las células G0/G1 AxFUCCI se convierten en células AxFUC-CI de transición y luego en células S/G2 AxFUCCI. Esto significa que las células de transición podrían ser células en la fase G1 tardía o en las fase S temprana. Las células modeladas, por el contrario, van directamente de la fase G1 a la S. En consecuencia, no podemos equiparar cuantitativamente las células de la "fase de transición" entre experimentos y modelo. Es por eso que los datos AxFUCCI y simulaciones del modelo solo pueden compararse cualitativamente, especialmente en los días 1 y 2, cuando el número de células en transición tiene pico. A pesar de estas consideraciones, encontramos que las proporciones de células ependimales en G0/G1 vs S/G2 AxFUCCI a los 4 y 5 días después de la amputación, es decir, durante el primer ciclo celular regenerativo coincidió de forma precisa y cuantitativa con las simulaciones de nuestro modelo. Además, la tasa de crecimiento de la médula espinal en regeneración fue consistente entre los animales AxFUCCI en este estudio y la medida en los animales de nuestro estudio anterior (Figura 3-figura suplemento 4B). Es decir que los axolotls muestran una respuesta regenerativa notablemente consistente dentro de su primer ciclo celular después de la amputación, posiblemente convergiendo sus respuestas de ciclo celular a pesar de las diferencias en la línea de base. Será fascinante investigar los mecanismos moleculares que permiten esta respuesta regenerativa sea consistente en axolotls de todas las edades/tamaños y disponibilidad nutricional.

Una pregunta importante ahora es si la respuesta espacio-temporal del ciclo celular observada en este estudio concuerda con los eventos de señalización conocidos que operan durante la regeneración de la médula espinal. Una molécula que es candidato fuerte para reclutar células ependimales es la proteína tipo MARCKS de axolotl (AxMLP), un factor secretado involucrado en la respuesta proliferativa durante la regeneración del apéndice del axolotl (Sugiura et al., 2016). AxMLP se expresa normalmente en las células de la médula espinal pero aumenta su expresión después de la amputación de la cola, alcanzando un máximo 12 hasta 24 h después de la amputación y vuelve a los niveles basales un día después (Sugiura et al., 2016). La predicción de nuestro modelo está de acuerdo con el pico de AxMLP seguido de un período descendente de decodificación de señales para instruir cambios celulares intrínsecos que conducen a ciclos celulares más rápidos. Además, la naturaleza de molécula secretada de la proteína AxMLP podría explicar la respuesta proliferativa de largo alcance en la regeneración de la médula espinal. En el futuro, una caracterización del curso temporal más estricto de la localización AxMLP durante la regeneración de la médula espinal del axolotl ayudará a poner a prueba nuestras predicciones.

Los cambios en las propiedades biofísicas de la cola amputada también podrían desencadenar un aumento de la proliferación celular. En los renacuajos de Xenopus, la amputación de la cola conduce a la activación del H+V- ATPasa que es necesaria y suficiente para promover la regeneración de la cola (Adams et al., 2007). En el axolotl, la amputación de la cola desencadena cambios en el calcio, el sodio y el potencial de

7 Discusión 123

membrana en el sitio de la lesión (Ozkucur et al., 2010) mientras que la injuria de la médula espinal induce un cambio rápido y dinámico en el potencial de membrana en reposo, potencial que impulsa un programa de expresión génica dependiente de c-Fos promoviendo una respuesta regenerativa (Sabin et al., 2015). La señal que induce la proliferación también podría ser de naturaleza mecánica (Chiou y Collins, 2018). En esta dirección, es interesante que el daño de la médula espinal en el pez cebra induzca una alteración inmediata de las propiedades mecánicas en el sitio de la lesión, lo que vuelve gradualmente a la normalidad (Schlüßler et al., 2018). Interesantemente, las simulaciones preliminares de nuestro modelo de vértices en 2D nos permitió entretener las siguiente hipótesis: independientemente de la naturaleza de la señal que inicia el reclutamiento, el mecanismo de terminación del reclutamiento podría ser de naturaleza mecánica, debido a la compresibilidad de las células en el tejido. En efecto, nuestras simulaciones permitieron determinar cotas para la compresibilidad de las células consistente con la información experimental existente. Nuestras predicciones de la distribución espacio-temporal que podría tener tal señal inductora de proliferación guiará los esfuerzos para deducir los posibles mecanismos responsables de la regeneración exitosa de la médula espinal.

En conjunto, los resultados de esta tesis proporcionan una comprensión mecanística más fina de la distribución espacio-temporal de las células en su ciclo celular que impulsa la regeneración de la médula espinal en el axolotl, y allana el camino en búsqueda de la señal o señales que lanzan la respuesta exitosa de las células ependimales a la amputación. El objetivo por delante será explorar el espacio paramétrico del modelo 2D y realizar nuevas predicciones acerca de las fuerzas que gobiernan la regeneración de la médula espinal del axolotl que puedan ser sopesadas con los resultados experimentales de FUCCI y otros experimentos futuros en condiciones de homeostasis, al momento de la amputación del tejido y durante toda la regeneración. Es perspectiva de esta tesis establecer un dialogo entre las predicciones hipotéticas de nuestros modelos con diseños experimentales que han surgido en los últimos años y que permiten medir fuerzas intercelulares e intracelulares que involucran al citoesqueleto. Es de esperar que este camino nos acerque aún más a entender los mecanismos que hacen que el axolotl exhiba las maravillosas propiedades regenerativas que le han dado su fama en el ámbito académico, y que han alimentado, también, la cultura mexicana y particularmente a la mitología azteca, relacionándolo al dios Xólotl, hermano de Quetzalcóatl, asociado a la idea de vida y movimiento.

Bibliografía

- A.Z. Zaky and M.Z. Moftah. 2014. Neurogenesis and growth factors expression after complete spinal cord transection in Pleurodeles waltlii. Front. Cell. Neurosci., 8, p. 458
- Abe T, Sakaue-Sawano A, Kiyonari H, Shioi G, Inoue K, Horiuchi T, Nakao K, Miyawaki A, Aizawa S & Fuji-mori T. 2013. Visualization of cell cycle in mouse embryos with Fucci2 reporter directed by Rosa26 promoter. Development. 140:237–246.1024
- Adams DS, Masi A & Levin M. 2007. H+ Pump-dependent changes in membrane voltage are an early mechanism necessary and sufficient to induce Xenopus tail regeneration. Development. 34(7): 1323-35.
- Alexander G. Fletcher, James M. Osborne, Philip K. Maini, David J. Gavaghan. 2013. Implementing vertex dynamics models of cell populations in biology within a consistent computational framework.
- Arai Y, Pulvers JN, Haffner C, Schilling B, Nüsslein I, Calegari F, Huttner WB. 2011. Neural stem and progenitor cells shorten S-phase on commitment to neuron production. Nat Commun. 2:154.
- Banfi A, Muraglia A, Dozin B, Mastrogia como M, Cancedda R, Quarto R. 2000. Proliferation kinetics and differentiation potential of ex vivo expanded human bone marrow stromal cells: Implications for their use in cell therapy. Exp Hematol 28:707–715.
- Becker CG, Becker T, Hugnot JP. 2018. The spinal ependymal zone as a source of endogenous repair cells across vertebrates. Prog Neurobiol. 170: 67-80.
- Bouldin CM, Snelson CD, Farr GH 3rd& Kimelman D. 2014. Restricted expression of cdc25a in the tailbud is essential for formation of the zebrafish posterior body. Genes Dev. 28:384–395.
- C.M. O'Hara and E.A. Chernoff. 1994. Growth factor modulation of injury-reactive ependymal cell proliferation and migration. Tissue Cell, 26, pp. 599-611
- C.M. O'Hara, M.W. Egar and E.A. Chernoff. 1992. Reorganization of the ependyma during axolotl spinal cord regeneration: changes in intermediate filament and fibronectin

126 7 Discusión

expression. Dev. Dyn., 193, pp. 103-115

Calegari F & Huttner WB. 2003. An inhibition of cyclin-dependent kinases that lengthens, but does not arrest, neuroepithelial cell cycle induces premature neurogenesis. J Cell Sci. 116: 4947–4955.

Calegari F, Haubensak W, Haffner C, Huttner WB. 2005. Selective lengthening of the cell cycle in the neurogenic subpopulation of neural progenitor cells during mouse brain development. J Neurosci. 103625(28): 6533-8.

Chara O, Tanaka EM & Brusch L. 2014. Mathematical modeling of regenerative processes. Curr Top Dev Biol. 108: 283-317.1039

Chernoff EA, Stocum DL, Nye HL, Cameron JA. 2003. *Urodele spinal cord regeneration and related processes*. Dev Dyn. 226(2): 295-307.

Chernoff EA. 1996. Spinal cord regeneration: a phenomenon unique to urodeles. Int J Dev Biol 40:823–831.

Chiou K & Collins ES. 2018. Why we need mechanics to understand animal regeneration. Dev Biol. 433(2): 155-165.

Clarke JDW, Ferretti P. 1998. CNS regeneration in lower vertebrates. In: Ferretti P, Géraudie J, editors. Cellular and molecular basis of regeneration: from invertebrates to humans. Chichester, England: John Wiley and Sons, Ltd. p 255–269.

Csilléry K, Blum MGB, Gaggiotti OE & François O. 2010. Approximate Bayesian Computation (ABC) in practice. Trends in Ecology & Evolution. 25 (7): 410-418.1045

Cura Costa E, Otsuki L, Rodrigo Albors A, Tanaka EM & Chara O. 2021. Spatiotemporal control of cell cycle acceleration during axolotl spinal cord regeneration -Supplementary notebooks –v2.0. Zenodo.

Duerr T, Jeon EK, Wells KM, Villanueva A, Seifert AW, McCusker CD & Monaghan JR. 2021. A constitutively expressed fluorescence ubiquitin cell cycle indicator (FUCCI) in axolotls for studying tissue regeneration. biorxiv. https://doi.org/10.1101/2021.03.30.437716.

Fei JF, Knapp D, Schuez M, Murawala P, Zou Y, Singh SP, Drechsel D & Tanaka EM. 2016. Tissue-and time-directed electroporation of CAS9 protein-gRNA complexes in vivo yields efficient multigene knockout for studying gene function in regeneration. npj Regen Med.1(1): 2.1057

Fei JF, Schuez M, Tazaki A, Taniguchi Y, Roensch K & Tanaka EM. 2014. CRISPR-mediated genomic deletion of Sox2 in the axolotl shows a requirement in spinal cord

7 Discusión

neural stem cell amplification during tail regeneration. Stem Cell Reports. 3(3): 444-59.105438

Fletcher A.G., Osborne J.M., Maini P.K., Gavaghan D.J. 2013. *Implementing vertex dynamics models of cell populations in biologywithin a consistent computational framework*. Progress in Biophysics and Molecular Biology 113 299-326.

FreitasPD, Yandulskaya AS & Monaghan JR. 2019. Spinal Cord Regeneration in Amphibians: A Historical Perspective. Dev Neurobiol. 79(5): 437-452.

G.H. Fahmy and M.Z. Moftah Front. 2010. Fgf-2 in astroglial cells during vertebrate spinal cord recovery. Cell. Neurosci., 4, p. 129

Gierer A, Meinhardt H. 1972. A theory of biological pattern formation. Kybernetik. 12(1):30-9.

Glazier J.A., Graner F. 1992. Simulation of biological cell sorting using a two-dimensional extended potts model. Physical Review Letters, Volume 69, N 13.

Glazier J.A., Graner F. 1993. Simulation of the differential adhesion driven rearrangement of biological cells. Physical Review E, Volume 47, N 3.

Harris CR, Jarrod Millman K, van der Walt SJ, Gommers R, Virtanen P, Cournapeau D, Wieser E, Taylor J, Berg S, Smith NJ, Kern R, Picus M, Hoyer S, van Kerkwijk MH, Brett M, Haldane A, Fernández del Río J, Wiebe M, Peterson P, Gérard-Marchant P, Sheppard K, Reddy T, Weckesser W, Abbasi H, Gohlke C & Oliphant TE. 2020. *Array programming with NumPy*, Nature, 585, 357–362. DOI:10.1038/s41586-020-10662649-2

Hasenpusch-Theil K, West S, Kelman A, Kozic Z, Horrocks S, McMahon AP, Price DJ, Mason JO, Theil T. 2018. *Gli3 controls the onset of cortical neurogenesis by regulating the radial glial cell cycle through Cdk6 expression*. Development. 145(17).

Hodgkin, A.L.; Huxley, A.F. 1952. Currents carried by sodium and potassium ions through the membrane of the giant axon of Loligo. J. of Physiology, 116: 449-472.

Huibregtse BA, Johnstone B, Goldberg VM, Caplan AI. 2000. Effect of age and sampling site on the chondro-osteogenic potential of rabbit marrow-derived mesenchymal progenitor cells. J Orthop Res 18:18 –24.

Hunter JD. 2007. Matplotlib: A~2D~graphics~environment. Computing in Science & Engineering. 9:90–95.

Ilieş I, Sipahi R & Zupanc GKH. 2018. Growth of adult spinal cord in knifefish: development and parametrization of a distributed model. Journal of Theoretical Biology.

128 7 Discusión

437: 101-114.

Joven A & Simon A. 2018. Homeostatic and regenerative neurogenesis in salamanders. Prog Neurobiol. 170: 81-98.

K. Hunter, M. Maden, D. Summerbell, U. Eriksson and N. Holder. 1991. *Retinoic acid stimulates neurite outgrowth in the amphibian spinal cord.* Proc. Natl. Acad. Sci. U. S. A., 88, pp. 3666-3670

Kicheva A, Bollenbach T, Ribeiro A, Valle HP, Lovell-Badge R, Episkopou V & Briscoe J. 2014. Coordination of progenitor specification and growth in mouse and chick spinal cord. Science 345: 1254927.

Klinger E, Rickert D, Hasenauer J. 2018. pyABC: distributed, likelihood-free inference. Bioinformatics. 34(20): 3591-3593.

Lander AD, Gokoffski KK, Wan FY, Nie Q & Calof AL. 2009. Cell lineages and the logic of proliferative control. PLoS Biol. 7(1): e15.

Landsberg K.P., Farhadifar R., Ranft J., Umetsu D., Widmann T.J., Bittig T., Said A., Jülicher F, Dahmann C. 2009. *Icreased Cell Bond Tension Governs Cell Sorting at the Drosophila Anteroposterior Compartment Boundary*. Current Biology 19, 1–6.

Lange C, Huttner WB & Calegari F. 2009. Cdk4/cyclinD1 overexpression in neural stem cells shortens G1, delays neurogenesis, and promotes the generation and expansion of basal progenitors. Cell Stem Cell. 10805(3): 320-31.

Lukaszewicz A, Savatier P, Cortay V, Giroud P, Huissoud C, Berland M, Kennedy H & Dehay C. 2005. *G1 phase regulation, area-specific cell cycle control, and cytoarchitectonics in the primate cortex.* Neuron 108347: 353–364.

M. Moftah, M. Landry, F. Nagy and J.M. Cabelguen. 2008. Fibroblast growth factor-2 mRNA expression in the brainstem and spinal cord of normal and chronic spinally transected urodeles. J. Neurosci. Res., 86 (2008), pp. 3348-3358

Magno R., Grieneisen V.G., Marée A.F.M. 2015. The biophysical nature of cells: potential cell behaviours revealed by analytical and computational studies of cell surface mechanics. BMC Biophysics DOI 10.1186/s13628-015-0022-x.

Mathews J.H., Kurtis D.F. 2005. *Métodos Numéricos con MATLAB*. Pearson Prentice Hall.

McKinney W. 2010. Data structures for statistical computing in Python. Proceedings of the 9th Python in Science Conference: 51-56.

7 Discusión 129

Meinhardt H. 1982. Models of Biological Pattern Formation. Academic Press, London.

Morelli LG, Uriu K, Ares S & Oates AC. 2012. Computational approaches to developmental patterning. Science. 336(6078): 187-91.

Murray, J. D. 2003. Mathematical Biology I: An Introduction. New York: Springer.

Nagai T. & Honda H.. 2001. A dynamic cell model for the formation of epithelial tissues. Philosophical Magazine B, vol. 81, No. 7, 699-7 19.

Nordman J & Orr-Weaver TL. 2012. Regulation of DNA replication during development. Development 139: 455-464.109039

Oliphant TE. 2006. A guide to NumPy, USA: Trelgol Publishing.1091Ozkucur N, Epperlein HH & Funk RH. 2010. *Ion imaging duringaxolotl tail regeneration in vivo*. Dev Dyn. 1092239(7): 2048-57.

Pende M, Vadiwala K, Schmidbaur H, Stockinger AW, Murawala P, Saghafi S, Dekens MPS, Becker K, Revilla-i-Domingo R, Papadopoulos S-C, Zurl M, Pasierbek P, Simakov O, Tanaka EM, Raible F & Dodt HU. 2020. A versatile depigmentation, clearing, and labeling method for exploring nervous system diversity. Sci Adv. 6: eaba0365.

Pilaz LJ, Patti D, Marcy G, Ollier E, Pfister S, Douglas RJ, Betizeau M, Gautier E, Cortay V, Doerflinger N, Kennedy H & DehayC. 2009. Forced G1-phase reduction alters mode of division, neuron number, and laminar phenotype in the cerebral cortex. Proc Natl Acad Sci U S A. 106(51): 21924-9.

Progress in Biophysics and Molecular Biology, Volume 113, Issue 2, Pages 299-326, ISSN 0079-6107, doi.org/10.1016/j.pbiomolbio.2013.09.003.

Rashevsky N. 1938. Mathematical biophysics: physico-mathematical foundations of biology. Chicag: University of Chicago Press.

Rodrigo Albors A, Tazaki A, Rost F, Nowoshilow S, Chara O & Tanaka EM. 2015. Planar cell polarity-mediated induction of neural stem cell expansion during axolotl spinal cord regeneration. eLife. 4:e 10230.

Rost F, Rodrigo Albors A, Mazurov V, Brusch L, Deutsch A, Tanaka EM & Chara O. 2016. Accelerated cell divisions drive the outgrowth of the regenerating spinal cord in axolotls. eLife. 5. pii: e20357.

Roy S, Gardiner DM & Bryant SV. 2000. Vaccinia as a tool for functional analysis in regenerating limbs: ectopic expression of Shh. Dev Biol. 218: 199-205.

130 7 Discusión

Sabin K, Santos-Ferreira T, Essig J, Rudasill S & Echeverri K. 2015. Dynamic membrane depolarization is an early regulator of ependymoglial cell response to spinal cord injury in axolotl. Dev Biol. 408(1): 14-25.

Sakaue-Sawano A, Kurokawa H, Morimura T, Hanyu A, Hama H, Osawa H, Kashiwagi S, Fukami K, Miyata T, Miyoshi H, Imamura T, Ogawa M, Masai H & Miyawaki A. 2008. Visualizing spatiotemporal dynamics of multicellular cell-cycle progression. Cell.132:487–498.

Salomoni P & Calegari F. 2010. Cell cycle control of mammalian neural stem cells: putting a speed limit on G1. Trends Cell Biol. 20: 233–243.1114

Schilling S., Willecke M., Aegerter-Wilmsen T., Cirpka O.A., Basler K., Von Mering C. 2011. Cell-Sorting at the A/P Boundary in the Drosophila Wing Primordium: A Computational Model to Consolidate Observed Non-Local Effects of Hh Signaling. PLoS Computational Biology, Volume 7, Issue 4, e1002025.

Schindelin J, Arganda-Carreras I, Frise E, Kaynig V, Longair M, Pietzsch T, Preibisch S, Rueden C, Saalfeld S, Schmid B, Tinevez J-Y, White DJ, Hartenstein V, Eliceiri K, Tomancak P & Cardona A. 2012. Fiji: an open-source platform for biological-image analysis. Nature Methods. 9: 676–682.

Schloissnig S, Kawaguchi A, Nowoshilow S, Falcon F, Otsuki L, Tardivo P, Timoshevskaya N, Keinath MC, Smith JJ, Voss SR & Tanaka EM. 2021. The giant axolotl genome uncovers the evolution, scaling, and transcriptional control of complex gene loci. Proc Natl Acad Sci USA. 118(15): e2017176118.

Schlüßler R, Möllmert S, Abuhattum S, Cojoc G, Müller P, Kim K, Möckel C, ZimmermannC, Czarske J & Guck J. 2018. *Mechanical Mapping of Spinal Cord Growth and Repair in Living Zebrafish Larvae by Brillouin Imaging*. Biophys J. 115(5): 911-923.

Sobkow L, Epperlein HH, Herklotz S, Straube WL & Tanaka EM. 2006. A germline GFP transgenic axolotl and its use to track cell fate: dual origin of the fin mesenchyme during development and the fate of blood cells during regeneration. Dev. biol. 290:386-397.

Staple D.B., Farhadifar R., Röper J.C., Aigouy B., Eaton S., Jülicher F. 2010. *Mechanics and remodelling of cell packings in epithelia*. The European Physical Journal E, 33, 117–127.

Stavans J. 1993. The evolution of cellular structures. Reports on Progress in Physics, $56\ 733-789$.

Sugiura T, Wang H, Barsacchi R, Simon A & Tanaka EM. 2016. MARCKS-like protein

7 Discusión

is an initiating molecule in axolotl appendage regeneration. Nature. 531(7593): 237-40.

Sugiyama M, Sakaue-Sawano A, Iimura T, Fukami K, Kitaguchi T, Kawakami K, Okamoto H, Higashijima S & Miyawaki A. 2009. *Illuminating cell-cycle progression in the developing zebrafish embryo*. Proc Natl Acad Sci USA. 106:20812–20817.

Takahashi T, Nowakowski RS & Caviness VS Jr. 1995. The cell cycle of the pseudostratified ventricular epithelium of the embryonic murine cerebral wall. J Neurosci. 15(9): 6046-57.

Tazaki A, Tanaka EM & Fei JF. 2017. Salamander spinal cord regeneration: The ultimate positive control in vertebrate spinal cord regeneration. Dev Biol. 432(1): 63-71.

Thompson D. 1917. On growth and form, Cambridge: University Press.

Tinevez JY, PerryN, SchindelinJ, HoopesGM, ReynoldsGD, LaplantineE, BednarekSY, ShorteSL&EliceiriKW. 2017. *TrackMate: An open and extensible platform for single-particle tracking.* Methods. 1137115:80-90.

Toni T, Welch D, Strelkowa N, Ipsen A, Stumpf MP. 2009. Approximate Bayesian computation scheme for parameter inference and model selection in dynamical systems. J R Soc Interface. 6(31): 187-202.

Turing AM. 1952. The Chemical Basis of Morphogenesis. Philosophical Transactions of the Royal Society of London B. 237 (641): 37–72.

Turrero García M, Chang Y, Arai Y & Huttner WB. 2016. S-phase duration is the main target of cell cycle regulation in neural progenitors of developing ferret neocortex. J Comp Neurol. 524(3): 456-70.

Virtanen P, Gommers R, Oliphant TE, Haberland M, Reddy T, Cournapeau D, Burovski E, Peterson P, Weckesser W, Bright J, van der Walt SJ, Brett M, Wilson J, Jarrod Millman K, Mayorov N, Nelson ARJ, Jones, Kern R, Larson E, Carey CJ, Polat İ, Feng Y, Moore EW, Vander Plas J, Laxalde D, Perktold J, Cimrman R, Henriksen I, Quintero EA, Harris CR, Archibald AM, Ribeiro AH, Pedregosa F, van Mulbregt P, and Sci Py 1.0 Contributors. 2020. Sci Py 1.0: Fundamental Algorithms for Scientific Computing in Python. Nature Methods, 17(3), 261-272.

Von Bertalanffy, Ludwig. 1976. Teoría general de los sistemas. Fundamentos, desarrollo, aplicaciones. México: Fondo de Cultura Económica. ISBN 9681606272.

Waskom M, Botvinnik O, O'Kane D, Hobson P, Lukauskas S, Gemperline DC, Augspurger T, Halchenko Y, Cole JB, Warmenhoven J, de Ruiter J, Pye C, Hoyer S, Vanderplas J, Villalba S, Kunter G, Quintero E, Bachant P, Martin M, Meyer K, Miles A, Ram T,

7 Discusión

YarkoniT, Lee Williams M, Evans C, Fitzgerald C, Brian, Fonnesbeck C, Lee A, Qalieh A. Zielke N & Edgar BA. 2015. FUCCI Sensors: powerful new tools for analysis of cell proliferation. WIREs 1153Dev Biol. 4:469-487.

APÉNDICE A

Materiales y métodos

El problema de los sistemas es esencialmente el problema de las limitaciones de los procedimientos analíticos en la ciencia.

—Ludwig von Bertalanffy

A.1 Métodos computacionales

A.1.0.1 Parametrización del modelo

Los parámetros del modelo se resumen en el cuadro 2.1. Brevemente, la longitud de las células ependimales a lo largo del eje AP, las distribuciones de la duración de las fases celulares y la fracción de crecimiento se fijaron de nuestra publicación anterior (Rodrigo Albors et al., 2015). Los únicos parámetros del modelo libres son las células anteriores restantes después amputación N_0 , la longitud máxima λ de la señal putativa a lo largo del eje AP y τ , el tiempo máximo de reclutamiento celular.

A.1.0.2 Procedimiento de ajuste del *switchpoint* experimental con el límite de reclutamiento teórico $\xi(t)$

El switchpoint obtenido experimentalmente de la médula espinal del axolotl en regeneración (extraído de Rost et al., 2016) se ajustó con el límite de reclutamiento predicho por el modelo $\xi(t)$. Usamos el Método Aproximado de Computación Bayesiana (ABC) para estimar la distribución de los parámetros que mejor reproducen los datos experimentales del switchpoint mediante nuestro modelo de límite de reclutamiento. Los métodos ABC omiten el requisito de evaluar las funciones de verosimilitud y captura la incertidumbre en las estimaciones de los parámetros del modelo (Csilléry et al., 2010). En particular, utilizamos pyABC (Klinger, Rickert & Hasenauer, 2018), un paquete de alto rendimiento que implementa un esquema de Monte Carlo secuencial (ABC-SMC), que proporciona una técnica particularmente eficiente para la estimación de los parámetros (Toni et al., 2018).

Brevemente, generamos una serie de simulaciones estocásticas del modelo 1D a partir de puntos muestreados del espacio de parámetros. La corrida se inicializó con un

tamaño de población de 1000 muestras. Todas las distribuciones a priori de los parámetros se definieron como una distribución uniforme discreta: $N_0 \sim unif\{100,300\}$, $\lambda \sim unif\{500,1500\}$ y $\tau \sim unif\{1,192\}$. Donde los límites de τ están dados básicamente por el tiempo total de observación experimental (8 días) en horas. Los límites de τ (en μm) y N_0 fueron inicialmente estimado por ensayos de simulación previos.

Los valores de los parámetros muestreados se aceptaron sólo cuando la función distancia d entre el límite de reclutamiento simulado y el switchpoint experimental fue menor que una tolerancia dada ϵ . La función de distancia se definió de la siguiente manera:

$$d = \sqrt{\frac{\sum_{i} (x_i - \mu_i)^2}{\sigma_i^2}} \tag{A.1}$$

donde μ_i , σ_i y x_i corresponden a la media, la desviación estándar del switchpoint experimental y el límite de reclutamiento simulado, respectivamente, en los puntos de tiempo experimentales i (4, 6 y 8 días). En cada iteración, las distribuciones de parámetros se actualizaron y se volvieron a muestrear. La nueva tolerancia ϵ fue entonces calculada como la mediana de las distancias a partir de las últimas muestras de población aceptadas. El resultado del algoritmo fue una muestra de valores de parámetros que infieren sus distribuciones posteriores (Figura 2.4 A, B). La convergencia del método se evaluó siguiendo el valor de ϵ y la tasa de aceptación, definida como el número aceptado de simulaciones dividido por el número total de simulaciones en cada paso de la iteración (Figura 2.4 C, D).

A.1.1 Sistema de coordenadas

En todas nuestras simulaciones, el tiempo comienza con el evento de amputación. El espacio corresponde al eje anterior-posterior (AP), donde 0 representa el plano de amputación y los valores positivos (negativos) son ubicaciones posteriores (anteriores).

A.1.2 Trayectorias y velocidades de los clones

Calculamos las trayectorias de los clones siguiendo las posiciones de cada clon en simulaciones aleatorias. Cuándo una célula dividide, muestreamos la posición media de las células clones como la posición del clon. En la figura 2.5, se muestran un total de 11 trayectorias, la primera comienza en 0 (el plano de amputación) y la última a $-1100\mu m$ (con una muestra cada $50\mu m$, aproximadamente). Para estimar la velocidad media de los clones en diferentes posiciones espaciales en este modelo, el espacio a lo largo del eje AP se subdividió en contenedores de $800\mu m$. Para cada trayectoria del clon, las posiciones se agruparon de acuerdo con estos contenedores. Grupos que contienen menos de dos mediciones fueron excluidos. La velocidad promedio para cada grupo se estimó mediante regresión lineal. Así fue calculada, la media y el desviación estándar de la velocidad de todos los clones en un contenedor.

A.1.3 Implementación del modelo y herramientas computacionales

Los modelos se implementaron en Python 3 Las simulaciones y el análisis de datos se realizaron utilizando Numpy (Oliphant, 2006) y Pandas (McKinney, 2010) mientras que la visualización de datos se llevo a cabo con Matplotlib (Hunter, 2007).

A.2 Materiales y métodos experimentales

A.2.1 Biología Molecular

Los cebadores se compraron como soluciones madre $20\mu M$ (Sigma-Aldrich, des-sal estándar). La secuencia del plásmido AxFUCCI fue verificada por secuenciación de Sanger.

A.2.2 Cultivo de células AL1

La línea celular de axolotl inmortalizada "AL1" se cultivó en una incubadora humidificada a $25^{\circ}C$, con 2% de CO_2 . El medio de cultivo celular contiene: 62,5% de MEM, 10% de suero fetal bovino, 25% de agua, suplementado con 100U de penicilina-estreptomicina, glutamina, insulina. Las células AL1 se pasaron cada semana en una proporción de 1:2 en botellas de cultivo recubiertos de gelatina.

A.2.3 Electroporación de células AL1 e imágenes *in vivo*

La electroporación se realizó utilizando un sistema de transfección de neón (Thermo Fisher Scientific). Las 50.000 células AL1 se sometieron a electroporación con $1\mu g$ de plásmido AxFUCCI en PBS al 70%/agua utilizando los siguientes ajustes: 750V, ancho de pulso de 35ms, 3 pulsos. Las células AL1 electroporadas se colocaron en placas Ibidi

con fondo de vidrio recubierto con gelatina. Después de dos días, se cambió el medio de cultivo celular y la placa fue colocada en una cámara de microscopia de imágenes de células vivas automatizada Celldiscoverer 7 (Zeiss). La cámara del microscopio se mantuvo a $25^{\circ}C$, con 2% de CO_2 . Se obtuvieron imágenes de las células cada hora durante el transcurso de 7 días para fluorescencia de Venus y mCherry y campo claro.

A.2.4 Mediciones de seguimiento de intensidad de fluorescencia

Las intensidades de fluorescencia de AxFUCCI se midieron utilizando el complemento TrackMate para FIJI (Tinevez, Perry & Schindelin et al., 2017). Las intensidades de fluorescencia se normalizaron a la intensidad máxima observada para el respectivo fluoróforo durante el experimento.

A.2.5 Cuantificación de ADN por citometría de flujo

Las células AL1 electroporadas con AxFUCCI se incubaron durante 90 minutos con medio de cultivo celular que contenía colorante Hoechst $10\mu g/ml$ para la tinción de ADN. Después de la incubación, las células AL1 se lavaron una vez con PBS al 70%/agua, luego disociado en células individuales usando tripsina. La disociación se terminó agregando un volumen 1:1 de suero que contiene medio de cultivo celular. Las células se resuspendieron en 70% de PBS/agua, luego se filtraron a través de un filtro de $50\mu m$. Las células se analizaron para determinar el contenido de ADN utilizando un citómetro de flujo BD LSRFortessa y el software FlowJo.

A.2.6 Cría y transgénesis de axolotIs

Los axolotls d/d y AxFUCCI (Ambystoma mexicanum), de longitud del hocico-a-cola 5,5cm, fueron criados en acuarios individuales. Las crías de axolotls fueron realizadas en la instalación de animales IMP. Todos los experimentos se realizaron de acuerdo con las directrices del comité de ética aplicables localmente y dentro de un marco acordado el Magistrado de Viena (Oficina de Organismos Genéticamente Modificados y MA58, Ciudad de Viena, Austria). Los axolotls se anestesiaron con benzocaína (Sigma) diluida en agua del grifo antes de la amputación y/o imágenes.

Los axolotls AxFUCCI se generaron mediante transgénesis mediada por meganucleasa I-SceI utilizando los métodos previamente descritos (Sobkow $et\ al.$, 2006). Brevemente, se removió la cubierta gelatinosa de huevos fertilizados de axolotl d/d y se los inyectó con 5nl de mezcla para inyección (aproximadamente 0,5ng de plásmido AxFUCCI y 0,005U de meganucleasa I-SceI (NEB) diluido en tampón CutSmart 1X (NEB)). Los huevos de axolotl inyectados se mantuvieron en 0,1 X MMR/agua a temperatura ambiente hasta el tamiz. Los animales fundadores transgénicos (F0) se identificaron por su fluorescencia de Venus utilizando un microscopio de campo amplio AXIOzoom V16 (Zeiss). Los animales AxFUCCI de la F1 transmitida por la línea germinal se utilizaron para todos los experimentos de este estudio. Los tamaños de las muestras se determinaron empíricamente y dentro los límites de la experimentación bajo las restricciones operativas inducidas por la pandemia de COVID19.

A.2.7 Limpieza óptica de tejidos e imágenes de láminas de luz

Las colas de AxFUCCI se fijaron durante la noche a $4^{\circ}C$ en paraformaldehído al 4%. Las colas fijadas se lavaron bien con PBS, luego des-lipidada durante 30 minutos a $37^{\circ}C$ en la Solución-1 del protocolo de aclarado de tejido DEEP-clear (10% v/v THEED, 5% v/v Triton X-100, 25% p/v de urea en agua) (Pende & Vadiwala et~al., 2020). Las colas de-lipidadas se lavaron con PBS, luego se incubaron durante 2 horas en PBS que contenía $10\mu g/ml$ de DAPI. Las colas se lavaron bien y luego se incubaron durante la noche en una solución para igualar el índice de refracción Easyindex (LifeCanvas tecnologías). Las muestras se mantuvieron oscuras en todo momento para evitar el blanqueamiento de la fluorescencia de AxFUCCI. Se tomaron imágenes de las colas AxFUCCI limpias en una solución EasyIndex utilizando un microscopio de lámina de luz LightSheet.Z1 (Zeiss) y una cámara personalizada.

A.2.8 Preparación de los cortes de tejido

Las colas de AxFUCCI se fijaron durante la noche a $4^{\circ}C$ en paraformaldehído al 4%. Las colas fijadas se lavaron bien con PBS, luego se incubó durante la noche en sacarosa al 30% en PBS. Al día siguiente, las muestras se fijaron en compuesto OCT (temperatura de corte óptima), congelado en hielo seco y almacenado a $-80^{\circ}C$ hasta el corte. Se prepararon criosecciones de $10\mu m$ de espesor a partir de bloques congelados y se almacenaron a $-20^{\circ}C$ hasta su uso.

A.2.9 Inmunotinción y captura de imágenes de las secciones de tejido

Las criosecciones se calentaron a temperatura ambiente y luego se lavaron extensamente con PBS para eliminar el OCT. Las secciones se bloquearon durante 2 horas a temperatura ambiente con suero normal de cabra (NGS) al 10% diluido en PBS que contiene Triton X-100 (PBTx) al 0,2%. Las muestras bloqueadas se incubaron con anticuerpo primario diluido en NGS al 1% durante la noche a $4^{\circ}C$. Al día siguiente, las secciones se lavaron bien con PBTx y luego se tiñeron con anticuerpos secundarios conjugados con Alexa Fluor diluidos 1:500 en PBTx durante 2 horas a temperatura ambiente. Se incluyó DAPI en la solución de tinción secundaria a una concentración de $10\mu g/ml$. Las secciones fueron bien lavadas con PBTx y se montó en Mowiol que contenía DABCO

(Sigma) al 2,5%. Los siguientes anticuerpos primarios fueron utilizados en este estudio: anti-NeuN (Millipore MAB377, ratón, 1:500), anti-Sox2 (conejo, 1: 1.000, Fei et al., 2016). Las imágenes se adquirieron usando un microscopio confocal invertido LSM980 AxioObserver (Zeiss).

A.2.10 Administración y detección de EdU

Los axolotls anestesiados fueron inyectaron intraperitonealmente con $400\mu M$ de EdU (diluido en PBS) a una dosis de $20\mu l/g$. Se añadió el colorante FastGreen (Sigma-Aldrich) a la mezcla de inyección para ayudar a la visualización. Los axolotls injectados se mantuvieron fuera del agua durante un período de recuperación de 20 minutos bajo toallas empapadas en benzocaína. Después de la recuperación, los axlotls inyectados se devolvieron al agua. Luego del período deseado del experimento de pulso y caza, los axolotls se sacrificaron, se fijaron los tejidos de la cola y se prepararon las criosecciones.

La detección de EdU se realizó con el kit de detección Click-iT 647 EdU (Thermo Fisher Scientific) de acuerdo con las instrucciones del fabricante.

A.2.11 Análisis de imágenes

Los datos de lámina de luz (colas de axolotl AxFUCCI) se volvieron a seccionar digitalmente o se renderizaron en 3D utilizando Imaris software (Oxford Instruments). Para la cuantificación de datos completos, la médula espinal se volvió a seccionar longitudinalmente, para producir una tira continua de la luz (el lumen) de la médula espinal, y las imágenes se exportaron como TIFF para el recuento de células en FIJI. Las fases del ciclo celular de las células ependimales se cuantificaron a partir de datos digitales de secciones de 25µm de espesor. Las células ependimales se definieron como células en contacto directo con la luz de la médula espinal. Los videos de Celldiscoverer 7 (células AL1) se recortaron usando el software ZEN blue (Zeiss), luego se analizaron usando el Complemento TrackMate para FIJI, como se describe anteriormente. Las imágenes de la sección de tejido se analizaron y cuantificaron utilizando Software FIJI (Schindelin et al., 2012).

A.2.12 Determinación del límite AP entre dos zonas espaciales adyacentes dentro de la médulas espinales en regeneración de axolotl

Probamos si las células ependimales en las diferentes fases del ciclo celular estarían heterogéneamente distribuidas a lo largo del eje AP de la médula espinal en regeneración. Con ese objetivo, ajustamos los perfiles experimentales AP espaciales de los porcentajes de células que expresan GO/GI-AxFUCCI y S/G2-AxFUCCI, por animal, con un modelo

matemático que supone dos zonas espaciales homogéneas adyacentes separadas por un borde anterior-posterior, como sigue:

$$g0g1(x) = \begin{cases} g0g1_a & if x < APborder \\ g0g1_p & if x \ge APborder \end{cases}$$

$$sg2(x) = \begin{cases} sg2_a & if x < APborder \\ sg2_p & if x \ge APborder \end{cases}$$

Donde g0g1(x) y sg2(x) son las variables del modelo que describen la distribución espacial de células G0/G1 y S/G2 a lo largo de x, la posición espacial a lo largo del eje AP. Los parámetros del modelo son $g0g1_a$, el porcentaje anterior de células que expresan G0/G1-AxFUCCI, $g0g1_p$, el porcentaje posterior de células G0/G1-AxFUCCI que expresan, $sg2_a$, el porcentaje anterior de células que expresan S/G2-AxFUCCI, $sg2_p$, el porcentaje de células que expresan S/G2-AxFUCCI y el borde AP, los bordes entre las zonas anteriores y posteriores, asumidas iguales para las células G0/G1-AxFUCCI y S/G2-AxFUCCI.

Ajustamos el modelo simultáneamente al perfil AP del porcentaje de GO/G1-AxFUCCI y S/G2-AxFUCCI que expresan las células de cada animal y a cada tiempo mediante el uso del Método de Cálculo Bayesiano Aproximado (ABC, consulte la sección de métodos computacionales para obtener más detalles de la implementación). Cada ajuste se inicializó con un tamaño de población constante de 1000 muestras. Las distribuciones a prioiri de los parámetros se definieron como una uniforme discreta entre 0 y 100% para $g0g1_a$, $g0g1_p$, $sg2_a$ y $sg2_p$. Para el borde AP también se definió una uniforme discreta que cubre todas las posiciones medidas a lo largo el eje AP. La función de distancia entre los datos experimentales FUCCI y el modelo de dos zonas fue definida como:

$$d = \sum_{x} \sqrt{(G0/G1_{exp}(x)g0g1(x))^2 + (S/G2_{exp}(x)sg2(x))^2}$$

Donde $G0/G1_{exp}(x)$ y $S/G2_{exp}(x)$ son los porcentajes de G0/G1-AxFUCCI y S/G2-AxFUCCI que expresan las células, respectivamente, determinadas en el intervalo x del eje AP de la médula espinal (para cada animal y cada tiempo).

Cada procedimiento de ajuste tuvo un total de 30 iteraciones. Los resultados del ajuste se muestran en la Figura 3.2B, Figura 3.3 y 3.4.

Para cada tiempo, comparamos las zonas anterior versus posterior de G0/G1-AxFUCCI y S/G2-AxFUCCI simultáneamente mediante la realización de una prueba de Kolmogorov-Smirnov entre el mejor ajuste de los parámetros $g0g1_a$, $g0g1_p$ versus $sg2_a$, $sg2_p$. Aunque las zonas anterior y posterior eran indistinguibles de cero a 3 días después de la amputación, encontramos una diferencia significativa entre las zonas anterior y posterior en los datos de G0/G1-AxFUCCI y S/G2-AxFUCCI en el día 4 y S (Figura 3.3). El borde AP detectado que mejor se ajusta para cada tiempo luego de la amputación se muestra en la Figura 3.2B como áreas grises verticales a día 4 y 5, luego de la amputación.

A.2.13 Análisis estadístico y representación de datos

En la Figura 3.2, se implementó la prueba de Kolmogorov-Smirnov utilizando la biblioteca Scipy (Virtanen et~al.,~2020). Las funciones matemáticas de alto nivel de Numpy (Harris et~al.,~2020) se utilizaron a lo largo de las simulaciones y análisis de los datos. En la Figura 2.7, Figura 2.4, figura 2.6, figura 2.8 y la Figura B.4B se realizaron utilizando Matplotlib (Hunter, 2007) mientras que la Figura 3.2B, la Figura 3.3, la Figura 3.4, la Figura 3.6, la Figura 3.7 y Figura 3.8 se realizaron con Seaborn (Waskom et~al.,~2017). En la Figura 3.5. la Figura B.6 y la Figura B.4, los análisis estadísticos se realizaron utilizando R. Los datos AxFUCCI fueron probados para supuestos de normalidad (prueba de Shapiro-Wilk) e igualdad de varianza (prueba de Levene) para determinar las pruebas estadísticas adecuadas a realizar. No se excluyeron datos. Los detalles de las pruebas estadísticas y sus resultados se pueden encontrar en la leyenda de la figura correspondiente. La significación estadística se definió como p < 0.05. Estos gráficos se trazaron utilizando Prism (GraphPad). Todas las figuras fueron compiladas en Adobe Illustrator.

APÉNDICE B

Otros resultados experimentales de FUCCI

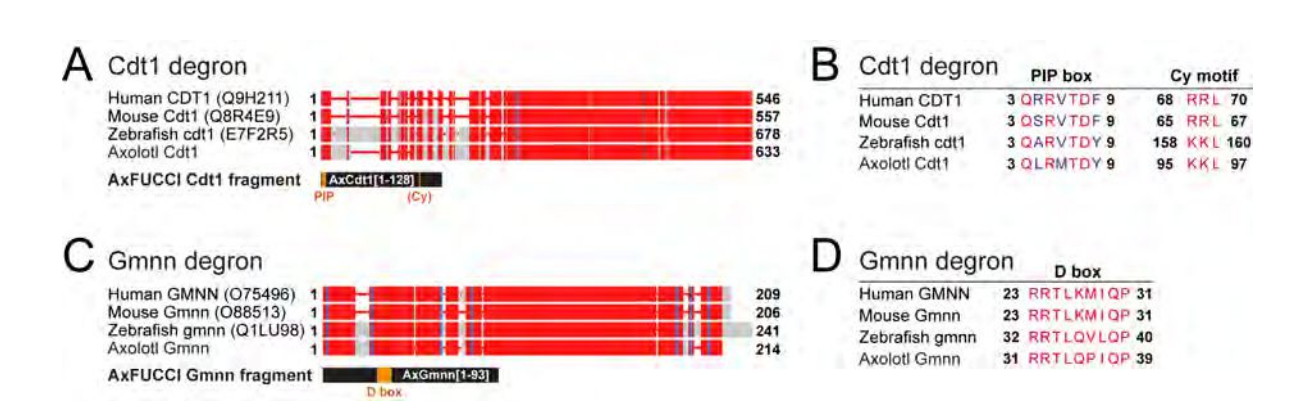


Figura B.1: Determinación de fragmentos de Cdt1 y Gmnn para el reportero AxFUCCI. A) Alineamiento de proteínas Cdt1 de longitud completa de ser humano, ratón, pez cebra y axolotl. Los identificadores Uniprot se dan entre paréntesis. Los números indican números de residuos de aminoácidos. Las regiones rojas indican una alta similitud/identidad de aminoácidos; regiones en gris indican baja conservación. Las alineamientos se realizaron utilizando COBALT (NCBI). El fragmento AxFUCCI Cdt1 comprende los aminoácidos 1-128 del axolotl Cdt1, que albergan la caja PIP degron y corresponden a los aminoácidos 1-190 de Cdt1 de pez cebra utilizado para hacer FUCCI de pez cebra (Sugiyama et al., 2009, Bouldin et al., 2014). B) Alineamiento de las secuencias de aminoácidos del degron Cdt1. La caja PIP está bien conservada evolutivamente. Al igual que el cdt1 de pez cebra, el Cdt1 de axolotl alberga un motivo "KKL" en lugar del motivo "RRL" que se encuentra en humanos y ratones. C) Alinemiento de longitud completa de proteínas gmnn de humanos, ratones, peces cebra y axolotls. El fragmento AxFUCCI Gmnn comprende los aminoácidos 1-93 de axolotl Gmnn, que alberga el cuadro de Destrucción (D) y corresponde a los aminoácidos 1-100 del pez cebra gmnn1 utilizado para hacer FUCCI de pez cebra (Sugiyama et al., 2009, Bouldin et al., 2014). D) Alineaciones de aminoácidos de la caja Gmnn D.

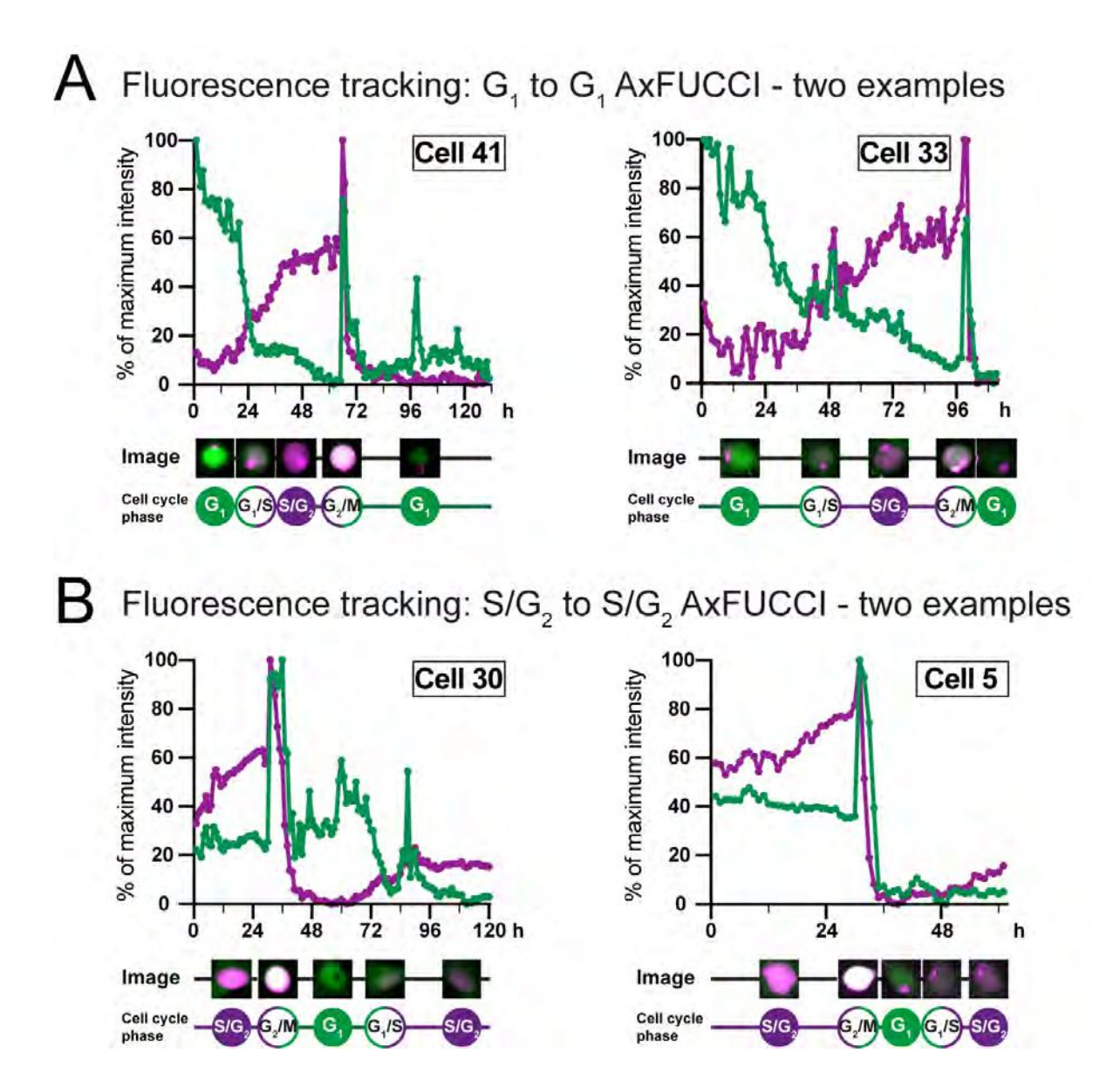


Figura B.2: Determinaciones de intensidad de fluorescencia de AxFUCCI a través del ciclo celular. Mediciones de la intensidad de la fluorescencia de las células AL1 electroporadas con AxFUCCI a medida que transitaban a través de un ciclo celular de G1 al siguiente G1 (A) o S/G2 al siguiente S/G2. (B) Se presentan dos ejemplos para cada transición. Las líneas verdes representan la fluorescencia G0/G1-AxFUCCI; las líneas magenta representan la fluorescencia de S/G2-AxFUCCI. Para cada punto de tiempo, el núcleo celular se segmentó y se calculó la intensidad media de fluorescencia. Lass intensidades se fluorescencia se normalizaron al valor máximo observado durante la sesión de imágenes. h: horas después inicio de la imagen. La máxima fluorescencia se observa en la mitosis, cuando la célula se redondea en preparación para la división celular. La intensidad media de la fluorescencia disminuye drásticamente después de cada mitosis debido a la dilución del fluoróforo y del plásmido entre las dos células hijas. Para ver videos de muestra, vea los Videos 2 y 3.

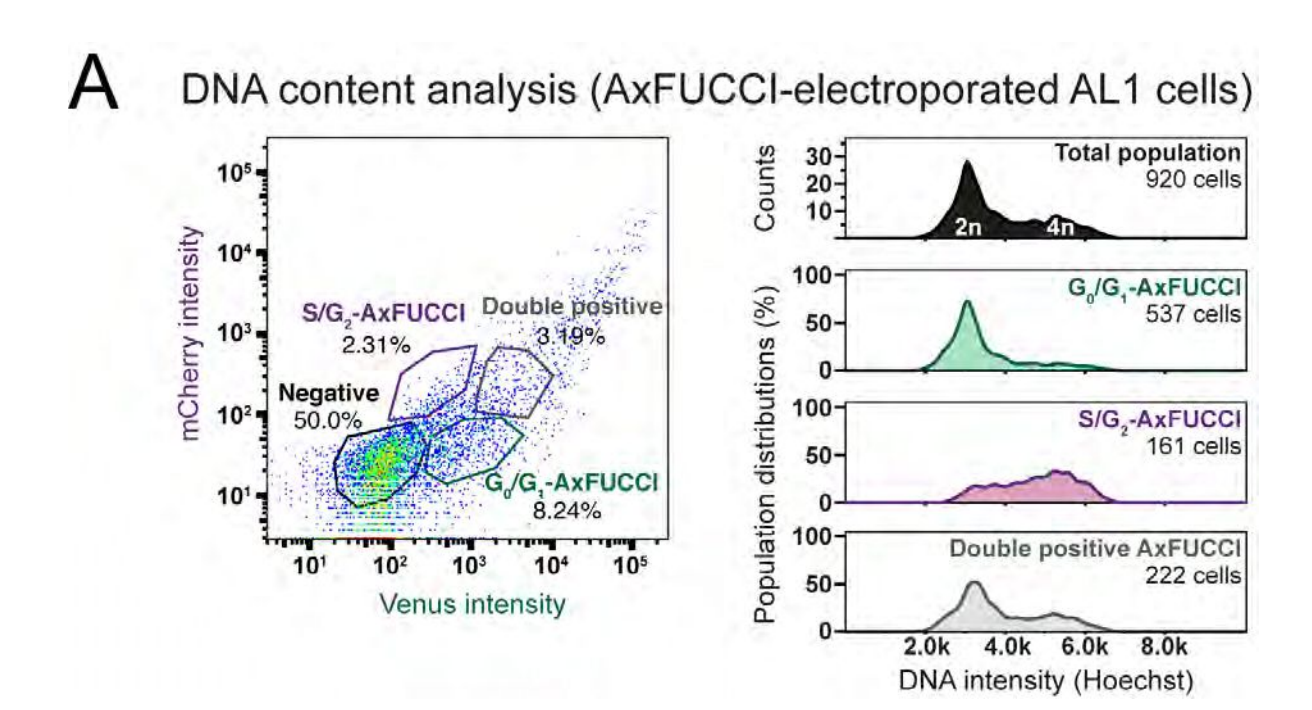


Figura B.3: Cuantificación de ADN por citometría de flujo para validar la funcionalidad AxFUCCI. A) Contenido de ADN relativo en células G0/G1-AxFUCCI (verde), S/G2-AxFUCCI (magenta) o Transición-AxFUCCI (gris). Las células AL1 electroporadas con AxFUCCI se incubaron en medio de cultivo celular que contenía tinción de ADN Hoechst durante 90 minutos antes de la disociación y el análisis.

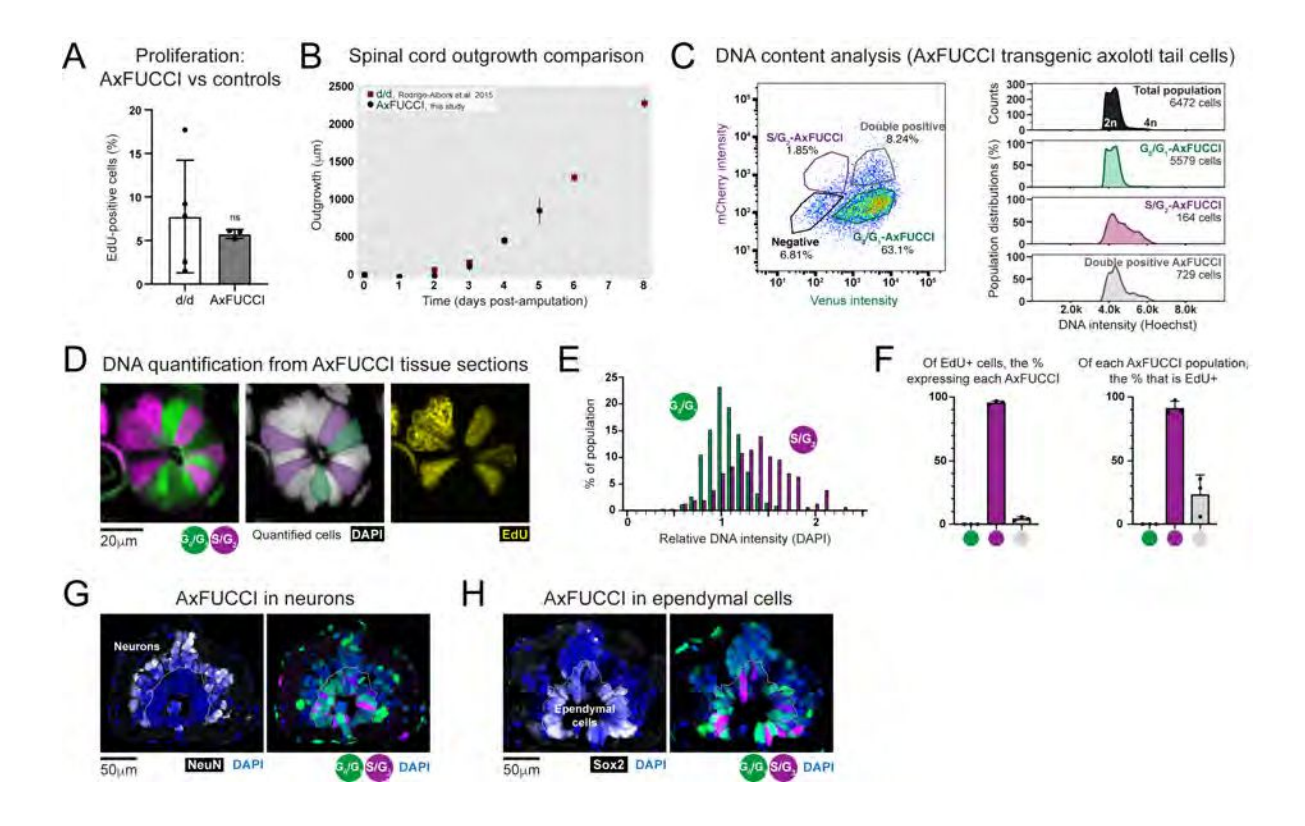


Figura B.4: Validación de la funcionalidad AxFUCCI mediante análisis de tejidos $in\ vivo$.

Figura B.4: A) La línea de base de proliferación en la médula espinal AxFUCCI no es significativamente diferente de los controles d/d. EdU se administró en 2 pulso de una hora a AxFUCCI en animales no lesionados o de control d/d. Las colas fueron cosechadas y seccionadas para cuantificar células proliferativas marcadas con EdU en la médula espinal. ns: no significativo, p = 0.62 (prueba t de dos muestras). Las barras de error indican desviación estándar. n = 5 colas (control) o 3 colas (AxFUCCI), 750 células contadas en total para cada una, de las cuales aproximadamente 50 células fueron marcadas con EdU. B) Las colas AxFUCCI se regeneran con cinética normal. El crecimiento de la médula espinal se midió cada día hasta 5 días después de la amputación de la cola AxFUCCI, y fue representados junto con las mediciones obtenidas previamente de animales de control d/d (Rodrigo-Albors et al., 2015). C) Cuantificación de ADN por citometría de flujo. Las células se incubaron con tinción de ADN de Hoechst durante 60 minutos antes del análisis. D) Cuantificación de ADN de secciones de tejido AxFUCCI. Imagen confocal de una sola sección de una columna vertebral AxFUCCI de 10um de espesor de sección transversal de la médula, teñida conjuntamente con DAPI (gris) para marcar el ADN. El panel central muestra las células que satisfacen los criterios de cuantificación: deben abarcar la médula espinal, entrar en contacto con la luz y no quedar oscurecidas por las células vecinas. Los animales AxFUCCI también se pulsaron con EdU durante 8 horas antes de la recolección de la cola. E) Histograma que muestra las intensidades DAPI de las células AxFUCCI cuantificado en D. La intensidad media de las células GO/G1-AxFUCCI se estableció en un valor arbitrario de 1 (2n). Las células S/G2-AxFUCCI tienen un contenido de ADN significativamente más alto que las células G0/G1-AxFUCCI ($p = 2,20x10^{-16}$, prueba de Welch). n = 3 colas (total de 341 células GO/GI-AxFUCCI frente a 157 células S/G2-AxFUCCI). F) Correlación del marcador EdU (ver panel D) con cada población que expresa AxFUCCI. n=3 colas, se contaron 819 células que expresan AxFUCCI en total, de las cuales 171 había incorporado EdU. G) Las neuronas de la médula espinal expresan G0/G1-AxFUCCI. Las neuronas que expresan NeuN se encuentran en la periferia de la médula espinal. $98 \pm 1.5\%$ de las neuronas expresaron G0/G1-AxFUCCI, y el resto no expresar ningún AxFUCCI. n = 5 colas, se contaron un total de 2170 células NeuN +. H) Las células ependimales expresan todas las combinaciones de AxFUCCI. Las células ependimales que expresan Sox2 están ubicadas en el interior de la médula espinal, que recubren el lumen.

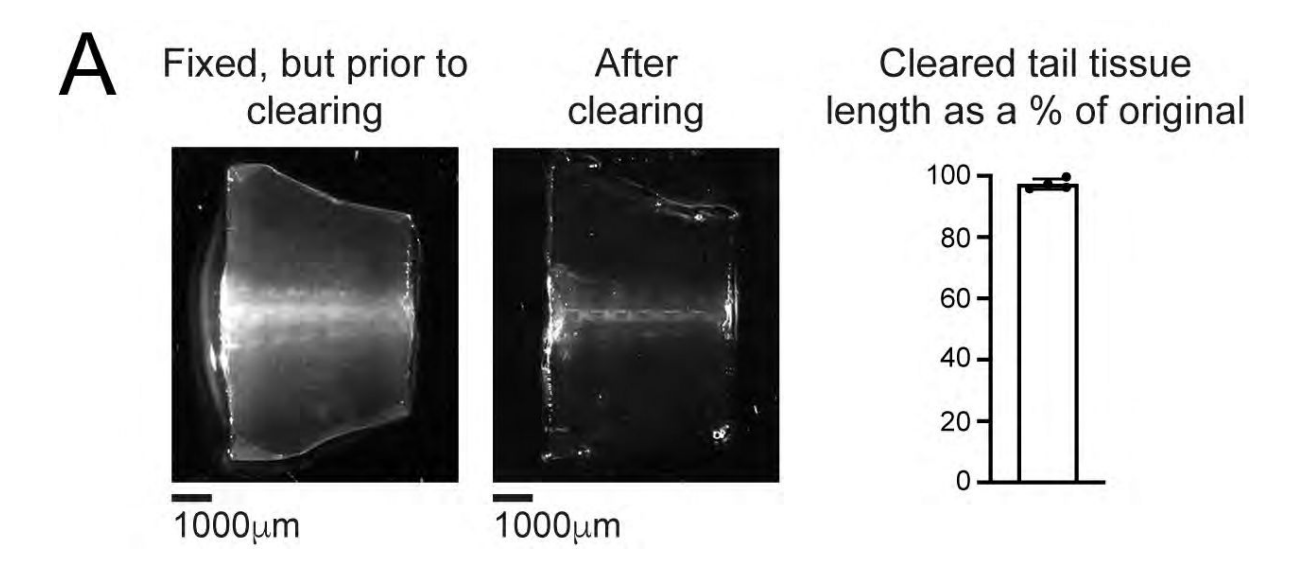


Figura B.5: El protocolo de limpieza de tejidos no altera la longitud de la médula espinal. A) Lo mismo, imagen fija del tejido de la cola antes (izquierda) o después (centro) del aclaramiento del tejido y coincidencia del índice de refracción. Derecha: despejado del tejido de la cola conserva el $97 \pm 1,7\%$ de su longitud en comparación con el tejido de la cola sin despejar. n=3 colas.

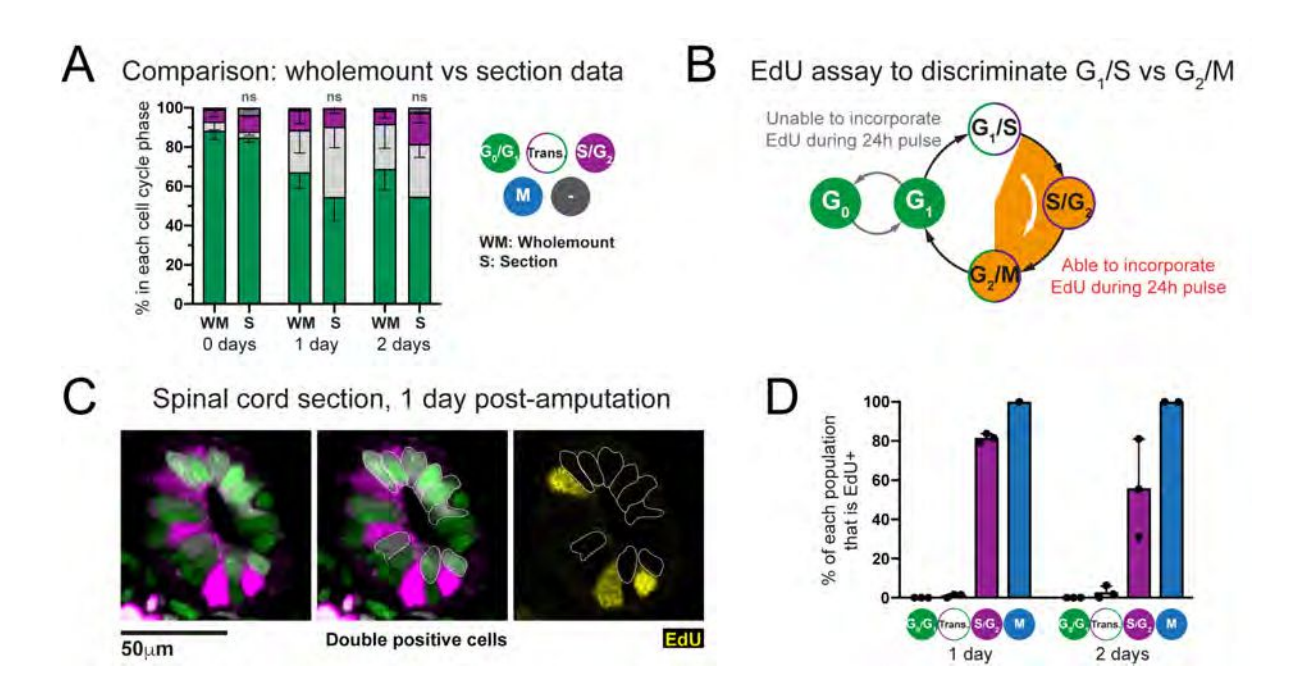


Figura B.6: Las células Transición-AxFUCCI 1 y 2 días después de la amputación se encuentran en la transición G1/S. A) Comparación de las cuantificaciones de AxFUCCI realizadas a partir de muestras completas (completas) o de secciones de tejido (Sección). No se observaron diferencias entre las cuantificaciones basadas en montajes completos y las basadas en secciones (ANOVA de una vía).n = 3 colas por punto de tiempo, aproximadamente 400 células contadas en cada una, correspondientes a aproximadamente 750µm de la médula espinal. Las barras de error indican la desviación estándar. B) Ensavo basado en EdU para distinguir células G1/S v células G2/M. C) Imagen confocal de sección única de $10\mu m$ de médula espinal 1 día después de la amputación, pulsada durante 24 horas con EdU antes de la cosecha. Las células AxFUCCI de transición (doble positivo, delineadas) no han incorporado EdU (amarillo). Las células vecinas S/G2-AxFUCCI (magenta) han incorporado EdU (control interno). D) El porcentaje de cada población de células AxFUCCI y células mitóticas que incorporaron EdU en el ensayo en B. Como se esperaba, ninguna de las células GO/G1-AxFUCCI incorporaron EdU y todas las células mitóticas habían incorporado EdU. La mayoría de las células S/G2-AxFUCCI incorporó EdU. Por el contrario, casi ninguna de las células Transition-AxFUCCI 1 y 2 días después de la amputación incorporado EdU, lo que indica que residen en la transición G1/S. n=3 colas por punto de tiempo. Total de células contadas por punto de tiempo: 1 día después de la amputación [671 G0/G1-AxFUCCI, 115 S/G2-AxFUCCI, 442 Transición-AxFUCCI, 1 célula mitótica], 2 días después de la amputación [643 G0/G1-AxFUCCI, 191 S/G2-AxFUCCI, 315 Transición-AxFUCCI, 3 células mitóticas].

 $\frac{1}{2}$ $\frac{1$